

**UNIVERSIDAD DE COSTA RICA**  
**Facultad de Ingeniería**  
**Escuela de Ingeniería Eléctrica**

**IE0499 – Proyecto Eléctrico**

**Implementación y simulación de algoritmos de evasión de  
obstáculos y seguimiento de trayectorias para un robot  
autónomo terrestre**

por

**Daniel Díaz Molina**

**Ciudad Universitaria Rodrigo Facio**

Agosto de 2017



# **Implementación y simulación de algoritmos de evasión de obstáculos y seguimiento de trayectorias para un robot autónomo terrestre**

por

**Daniel Díaz Molina**

B22245

**IE0499 – Proyecto Eléctrico**

Aprobado por

---

Ing. Leonardo Marín Paniagua, Ph. D.  
*Profesor guía*

---

Ing. José David Rojas Fernández, Ph. D.  
*Profesor lector*

---

Ricardo Román Brenes, M. Sc.  
*Profesor lector*

Agosto de 2017



## Resumen

# Implementación y simulación de algoritmos de evasión de obstáculos y seguimiento de trayectorias para un robot autónomo terrestre

por

**Daniel Díaz Molina**

Universidad de Costa Rica

Escuela de Ingeniería Eléctrica

Profesor guía: Ing. Leonardo Marín Paniagua, Ph. D.

Agosto de 2017

Este trabajo detalla la implementación de varios algoritmos de evasión de obstáculos para robots móviles.

Se incluye una investigación bibliográfica de la teoría relevante al trabajo, en donde se menciona la clasificación y modelado de robots móviles, y el efecto de la configuración de las ruedas en la cinemática del robot. Se explica de manera general el funcionamiento de algunos sensores que se pueden usar para la detección de obstáculos. Además se incluye una descripción teórica de 3 algoritmos de evasión: vehículos de Braitenberg, *Vector Field Histogram* (VFH) y VFH+.

El objetivo principal del proyecto fue la implementación de los algoritmos, misma que se hizo en el lenguaje de programación Python. Se hizo una implementación funcional de un algoritmo basado en los vehículos de Braitenberg, el algoritmo VFH original y el VFH+. El código completo se incluye como un anexo al trabajo.

Los algoritmos luego fueron probados mediante el uso de una herramienta de simulación: V-REP. La comunicación con V-REP mediante la API Remota, que provee V-REP para el control de la simulación con aplicaciones externas, fue una parte considerable del trabajo desarrollado. El código y las escenas de simulación también se incluyen como parte de los resultados.

Como resultado principal se incluyen las trayectorias seguidas por el robot usando los algoritmos implementados, para tres cursos de obstáculos diferentes, además de una tabla comparativa que resume el desempeño de cada algoritmo en cada pista. El algoritmo VFH+ fue el que mostró el mejor desempeño.

**Palabras claves:** *Robótica, robots autónomos, evasión de obstáculos, planeamiento local, V-REP, Python, AI, Inteligencia artificial, Vehículo de Braitenberg, VFH, VFH+.*

---

### Acerca de IE0499 – Proyecto Eléctrico

El Proyecto Eléctrico es un curso semestral bajo la modalidad de trabajo individual supervisado, con el propósito de aplicar estrategias de diseño y análisis a un problema de temática abierta de la ingeniería eléctrica. Es un requisito de graduación para el grado de bachiller en Ingeniería Eléctrica de la Universidad de Costa Rica.



## Abstract

# Implementación y simulación de algoritmos de evasión de obstáculos y seguimiento de trayectorias para un robot autónomo terrestre

Original in Spanish. Translated as: “Implementation and Simulation of Obstacle Avoidance Algorithms with Trajectory Tracking for Autonomous Indoor Vehicles”

by

**Daniel Díaz Molina**

University of Costa Rica

Department of Electrical Engineering

Tutor: Ing. Leonardo Marín Paniagua, Ph. D.

August of 2017

This report details the implementation of several obstacle avoidance algorithms for mobile robots.

A bibliographical research was conducted in relevant areas of robotics, covering the topics of robot classification and modeling, as well as the effect of wheel configuration on the robot’s kinematics. A general explanation of several sensors that could be used for obstacle detection is included. Last, a theoretical description of 3 algorithms is presented: one based on Braitenberg’s vehicles, the *Vector Field Histogram* (VFH), and VFH+.

The primary focus of the project was to implement the algorithms, this implementation was done in the Python Programming Language. Functional implementations of an algorithm based on Braitenberg vehicles, the original VFH algorithm, and the VFH+ algorithm were developed. The complete source code is available as an appendix.

The algorithms were put to test on a simulation, for this the software V-REP was used. Communication between the implemented code and V-REP was done using the Remote API provided by V-REP for control of the simulation by external applications. This was a big chunk of the work done, all code and files used are included as part of the results.

The main results presented in this report are the trajectories followed by the robot while using the algorithms on three different obstacle courses, as well as summary table that compares all three algorithms on all three courses. VFH+ achieved a better overall performance.

**Keywords:** *Robotics, Autonomous robots, Obstacle Avoidance, Local Path Planning, V-REP, Python, AI, Artificial Intelligence, Braitenberg Vehicle, VFH, VFH+.*

---

## About IE0499 – Proyecto Eléctrico (“Electrical Project”)

The “Electrical Project” is a course of supervised individual work of one semester, with the purpose of applying design and analysis strategies to a problem in an open topic in electrical engineering. It is a requisite of graduation for the Bachelor of Science in Electrical Engineering, granted by the University of Costa Rica.





*Dedicado a mi mamá y a mis amigos*

## **Agradecimientos**

Quiero agradecer de todo corazón a mi mamá porque gracias a ella es que estoy ahora a punto de graduarme. Su ayuda y consejo me han servido durante toda la carrera, en los buenos y malos momentos, en las decisiones importantes, en poder entender lo que quiero de mi carrera y en poder balancear mi vida y ser feliz. Espero que este trabajo demuestre tener la calidad y atención a los detalles que mi mamá siempre demostró y me inculcó.

También quiero agradecer a mis amigos y al DS, por ser una fuente constante de alegría en especial en los momentos de más estrés. Quiero agradecer especialmente a Ricardo Quirós y Michelle Cersósimo por su apoyo incondicional. Por último me gustaría agradecer a mi profesor tutor, por aguantarme todo el semestre y más, por exigirme excelencia y hacer de este proyecto algo de lo que me pueda sentir orgulloso de haber completado. Además quiero agradecer a todas las personas que me ayudaron con la corrección del trabajo, y a todos los compañeros de carrera que ayudaron de alguna forma u otra a llegar a este punto de mi carrera.



# Índice general

<b>Índice general</b>	<b>xi</b>
<b>Índice de figuras</b>	<b>xiii</b>
<b>Índice de tablas</b>	<b>xiv</b>
<b>Índice de algoritmos</b>	<b>xv</b>
<b>1 Introducción</b>	<b>1</b>
1.1. Motivación . . . . .	1
1.2. Alcances y Delimitación . . . . .	2
1.3. Justificación . . . . .	2
1.4. Objetivos . . . . .	3
1.4.1. Objetivo General . . . . .	3
1.4.2. Objetivos Específicos . . . . .	3
1.5. Metodología . . . . .	3
<b>2 Marco Teórico</b>	<b>5</b>
2.1. Robots autónomos y definición del problema . . . . .	5
2.1.1. Problema . . . . .	7
2.2. Modelado . . . . .	8
2.2.1. Marcos de referencia y transformaciones . . . . .	8
2.2.2. Restricciones al movimiento impuestas por las ruedas . . . . .	9
2.2.3. Robot Diferencial . . . . .	11
2.3. Sensores . . . . .	12
2.3.1. Sonar . . . . .	13
2.3.2. Lidar . . . . .	13
2.3.3. Sensores infrarrojos de triangulación . . . . .	14
2.4. Algoritmos de Evasión . . . . .	14
2.4.1. Vehículos de Braitenberg . . . . .	14
2.4.2. Vector Field Histogram . . . . .	18
2.4.3. VFH+ . . . . .	21

<b>3</b>	<b>Implementación de los algoritmos seleccionados</b>	<b>27</b>
3.1.	Generalidades . . . . .	27
3.2.	Algoritmos de Braitenberg . . . . .	28
3.2.1.	Elección de parámetros . . . . .	34
3.3.	Algoritmo VFH . . . . .	37
3.3.1.	Elección de parámetros . . . . .	39
3.4.	Algoritmo VFH+ . . . . .	40
3.4.1.	Elección de parámetros . . . . .	40
<b>4</b>	<b>Simulación de los algoritmos implementados</b>	<b>45</b>
4.1.	Software de simulación V-REP . . . . .	45
4.1.1.	Modelos de programación . . . . .	46
4.2.	El robot e-Puck . . . . .	48
4.3.	Integración del simulador con los algoritmos implementados . . . . .	49
4.4.	Cursos de obstáculos . . . . .	51
4.5.	Resultados Obtenidos . . . . .	51
4.5.1.	Pista 1 . . . . .	51
4.5.2.	Pista 2 . . . . .	54
4.5.3.	Pista 3 . . . . .	54
4.5.4.	Análisis comparativo . . . . .	60
<b>5</b>	<b>Conclusiones y recomendaciones</b>	<b>63</b>
5.1.	Conclusiones . . . . .	63
5.2.	Recomendaciones . . . . .	64
<b>A</b>	<b>Código</b>	<b>65</b>
A.1.	Implementación del algoritmo Braitenberg . . . . .	65
A.2.	Implementación del algoritmo VFH . . . . .	76
A.3.	Implementación del algoritmo VFH+ . . . . .	89
A.4.	Modelo Robot Diferencial . . . . .	106
A.5.	Controlador PID sencillo . . . . .	114
A.6.	Pograma de enlace con V-REP . . . . .	115
<b>B</b>	<b>Parámetros usados</b>	<b>125</b>

# Índice de figuras

2.1. Problema que pretende resolver el proyecto. Un robot móvil detecta un obstáculo y modifica su trayectoria. . . . .	7
2.2. Diferentes tipos de ruedas usadas en AIVs, tomado de [?]. . . . .	9
2.3. Diagrama básico de un robot diferencial, tomado de [?]. . . . .	11
2.4. Medición de distancia a partir del cambio de fase, tomado de [?]. . . . .	13
2.5. Sensor infrarrojo de distancia, tomado de [?]. . . . .	14
2.6. Vehículo 2b con conexión cruzada, tomado de [?]. . . . .	15
2.7. Vehículo 3a con acción inhibitoria de los sensores, tomado de [?]. . . . .	16
2.8. Ventana activa $C^*$ . Los colores más amarillentos representan valores más altos de certidumbre, el robot ocupa la celda morada. Obtenida en las simulaciones realizadas. . . . .	19
2.9. Histogramas polares obtenido a partir de la ventana activa de la figura 2.8. . . . .	20
(a). Histograma polar. . . . .	20
(b). Histograma polar filtrado. . . . .	20
2.10. La celda A bloquea las direcciones a su izquierda. . . . .	23
3.1. Diagrama de clases. . . . .	29
4.1. Infraestructura de V-REP, tomado de [?]. . . . .	47
4.2. El robot diferencial e-Puck. . . . .	48
(a). Diagrama mecánico del e-Puck. . . . .	48
(b). Modelo del e-Puck en V-REP. . . . .	48
4.3. Estructura del sistema de simulado. . . . .	50
4.4. Pistas de obstáculos usadas en la simulación. . . . .	52
(a). Primera pista. . . . .	52
(b). Segunda pista. . . . .	52
(c). Tercera pista. . . . .	52
4.5. Pista 1, resultados de simulación. . . . .	53
(a). Trayectoria del robot, objetivo = (0, 0.5). Círculo verde inicio, rojo objetivo. . . . .	53
(b). Distancia al objetivo respecto al tiempo. . . . .	53
4.6. Pista 2, resultados de simulación. . . . .	55
(a). Trayectoria del robot, objetivo = (0.1, 0.6). Círculo verde inicio, rojo objetivo. . . . .	55

(b).	Distancia al objetivo respecto al tiempo. . . . .	55
4.7.	Pista 3, resultados de simulación. . . . .	56
(a).	Trayectoria del robot, objetivo = (0.25, 1.0). Círculo verde inicio, rojo objetivo. . .	56
(b).	Distancia al objetivo respecto al tiempo. . . . .	56
4.8.	Pista 3, estado final del algoritmo VFH. . . . .	58
(a).	Ventana activa VFH. . . . .	58
(b).	Histograma polar VFH. . . . .	58
(c).	Histograma polar filtrado VFH. . . . .	58
4.9.	Pista 3, estado final del algoritmo VFH+. . . . .	59
(a).	Ventana activa VFH+. . . . .	59
(b).	Histograma polar VFH+. . . . .	59
(c).	Histograma polar binario VFH+. . . . .	59
(d).	Histograma polar mascarado VFH+. . . . .	59

## Índice de tablas

2.1.	Los 5 tipos genéricos de vehículos con ruedas [?]. . . . .	10
3.1.	Parámetros del algoritmo de Braitenberg. . . . .	30
3.2.	Modos de operación del sensor. . . . .	32
3.3.	Parámetros de la implementación de VFH. . . . .	37
3.4.	Variables miembro de la clase VFHModel. . . . .	39
3.5.	Parámetros de la implementación de VFH+. . . . .	42
3.6.	Variables miembro de la clase VFHPModel. . . . .	43
4.1.	Comparación del desempeño de los algoritmos. El error se calculó con base en la distancia al objetivo. . . . .	60
B.1.	Parámetros usados para el algoritmo de Braitenberg. . . . .	125
B.2.	Parámetros usados para el algoritmo VFH. . . . .	126
B.3.	Parámetros usados para el algoritmo VFH+. . . . .	127

# Índice de algoritmos

2.1.	Algoritmo de vehículo 2b. . . . .	16
2.2.	Algoritmo de vehículo 3a. . . . .	17
2.3.	Algoritmo de evasión VFH . . . . .	21
2.4.	Algoritmo para determinar $\phi_l$ y $\phi_r$ . . . . .	25
2.5.	Algoritmo de evasión VFH+ . . . . .	26
3.1.	Algoritmo de evasión según vehículos de Braitenberg. . . . .	30
3.2.	Obtención de estímulos a partir de las medidas del sensor . . . . .	31
3.3.	Evasión con vehículo 2b . . . . .	33
3.4.	Evasión con vehículo 3a . . . . .	33
3.5.	Evasión con vehículo 2b y seguimiento con vehículo 3a. . . . .	35
3.6.	Evasión con vehículo 3a y seguimiento con vehículo 2b. . . . .	36
3.7.	Algoritmo de evasión VFH implementado. . . . .	38
3.8.	Algoritmo de evasión VFH+ implementado. . . . .	41





# Introducción

## 1.1. Motivación

La evasión de obstáculos en tiempo real es un aspecto clave para el éxito de aplicaciones de robótica móvil. Este es parte de un problema de más alto nivel, la navegación autónoma, que involucra simultáneamente dirigir al robot a un objetivo predeterminado y evadir obstáculos que se presenten en tiempo real, y de los cuales no necesariamente se tiene información de antemano. Así, hay un aspecto de planeamiento de rutas global para alcanzar el objetivo, y un planeamiento local para la evasión en tiempo real [?]. Este planeamiento local será el problema que se abordará en el desarrollo del proyecto.

Se pretende hacer un estudio comparativo de posibles soluciones al problema de la evasión de obstáculos en robots autónomos. Se hará un enfoque del problema aplicado a *Autonomous Indoor Vehicles* o AIV. Estos son robots móviles autónomos diseñados para ambientes interiores [?]. Este tipo de robots móviles tiene aplicaciones en industria, seguridad, salud, e incluso en el mercado de consumidores, como es el caso de los Roomba®. En general son robots que utilizan diferentes configuraciones de ruedas motorizadas para el control de su postura y traslación, en capítulos posteriores se hará una descripción más detallada de los mismos.

Se plantea una situación en la que un AIV, al momento de trasladarse mientras sigue una trayectoria dada, se encuentra con uno o más obstáculos que le impiden seguir el camino original, y debe recalcular o modificar su trayectoria a partir de la información suministrada por los sensores que disponga para la detección de estos obstáculos.

El proyecto constará de una investigación bibliográfica, en la que se elaborará un marco teórico del problema y se describirán al menos tres algoritmos de evasión de obstáculos, además se estudiará la forma en que estos pueden acoplarse a los algoritmos de seguimiento de trayectorias, y si la naturaleza de cada algoritmo permite esta posibilidad, esto corresponde al contenido del Capítulo 2.

Una vez se haya desarrollado el marco teórico sólido del problema, se procederá a implementar los tres algoritmos seleccionados en un lenguaje de programación de alto nivel. La documentación y detalles de la implementación se elaborarán en el Capítulo 3.

Posteriormente se usará un software de simulación para observar el funcionamiento de los algoritmos, se definirán los aspectos a evaluar y las diferentes pistas de prueba, se presentará el procedimiento y los datos obtenidos en el Capítulo 4.

Finalmente, en el Capítulo 5 se hará una comparación de los algoritmos a partir de los datos obtenidos, desempeño, ventajas y desventajas de cada algoritmo, y se presentarán las conclusiones del proyecto. Se pretende que los resultados de este proyecto, y en especial las implementaciones propuestas, eventualmente se puedan usar de base para manejar la evasión de obstáculos en un sistema complejo que incluya además otros aspectos relevantes a la navegación autónoma.

Como anexos se incluirá el texto completo del código desarrollado, así como un manual de instalación para repetir las simulaciones propuestas.

## 1.2. Alcances y Delimitación

Está dentro del alcance del proyecto:

- Descripción teórica del problema de la evasión de obstáculos en el contexto de un AIV.
- Descripción teórica de 3 o más algoritmos de evasión.
- Implementación de los algoritmos de evasión.
- Uso de la herramienta de simulación y conexión del ambiente de simulación con los algoritmos implementados.

Está fuera del alcance:

- Modelado de los actuadores del robot.
- Elaboración del sistema de control para los actuadores del robot.
- Implementación de algoritmos de planeamiento de trayectorias en un robot real.
- Construcción de los sistemas propuestos.

## 1.3. Justificación

El presente trabajo de investigación tiene relevancia en muchas áreas dentro y fuera de la robótica, en especial para aplicaciones que requieren de automatización. Los algoritmos desarrollados en este proyecto se podrían usar en todo tipo de aplicaciones: cualquier dispositivo que requiera moverse sin control humano ocupa ser capaz de evadir obstáculos. Se podrían usar los algoritmos desarrollados en ambientes industriales por ejemplo para bodegaje, para desarrollar un sistema de robots que sean capaces de mover cargas pesadas sin intervención humana. La evasión de obstáculos también es necesaria en sistemas de piloto automático, por ejemplo en el desarrollo de carros inteligentes.

En cuanto al valor de esta investigación para la Escuela de Ingeniería Eléctrica, hay varios laboratorios con investigaciones en el área de robótica y autonomía. Implementar al menos un algoritmo de evasión sería casi un requerimiento para cualquier robot verdaderamente autónomo que se pretenda desarrollar. Así el desarrollo de este proyecto es de utilidad para todos los laboratorios relacionados con esta área de investigación.

## 1.4. Objetivos

### 1.4.1. Objetivo General

- Realizar un estudio comparativo de distintos algoritmos de evasión de obstáculos con seguimiento de trayectorias para el control de la evolución de la postura en robots móviles navegando en un plano horizontal, destacando sus distintas ventajas y desventajas al realizar la implementación de los mismos en un software de simulación de robots móviles.

### 1.4.2. Objetivos Específicos

1. Realizar una investigación bibliográfica detallada sobre los distintos algoritmos de evasión de obstáculos con y sin seguimiento de trayectorias para el control de la evolución de la postura en robots móviles navegando en un plano horizontal.
2. Describir los algoritmos investigados y analizados mediante el uso de pseudocódigos para facilitar su comprensión e implementación.
3. Implementar al menos tres algoritmos de evasión de obstáculos en un lenguaje de programación de alto nivel.
4. Simular el sistema de evasión de obstáculos, usando los algoritmos mencionados, mediante un software de simulación.
5. Validar los algoritmos investigados mediante la simulación del movimiento del robot móvil en distintos entornos virtuales para medir la evolución de su postura en múltiples pruebas navegación con diversos obstáculos.
6. Realizar un estudio comparativo de las ventajas y desventajas de los distintos algoritmos estudiados, según las pruebas realizadas.
7. Documentar la implementación de los algoritmos y el uso del simulador, así como el código utilizado en las diversas pruebas de navegación, para su uso en trabajos futuros.

## 1.5. Metodología

Para el desarrollo del proyecto se considerarán cuatro áreas de enfoque en las que se dividirá el trabajo a realizar. Estas son el aspecto teórico, la implementación de los algoritmos, la simulación y el análisis de los resultados. A continuación se listan las actividades que se llevarán a cabo para cada una de estas áreas, entre paréntesis se indican los objetivos específicos con los que están directamente relacionadas.

- **Investigación bibliográfica y teórica:**

- Reseña histórica de los robots terrestres autónomos. (1)
- Descripción del robot y los sensores relevantes a la detección de obstáculos. (1)

- Resumen del modelo matemático del sistema robot-obstáculo pertinente al desarrollo del proyecto, definición formal del problema. (1)
- Reseña histórica y descripción teórica de los algoritmos de evasión de obstáculos (2).
- Descripción en pseudocódigo de los algoritmos. (2)
- Análisis teórico de la complejidad temporal y espacial de los algoritmos. (1, 2)

- **Implementación de los algoritmos:**

- Definición de la representación de los datos de entrada y salida. (2, 3)
- Implementación, en C++ o Python. (3)
- Uso de librerías externas. (3)
- Documentación del código. (7)
- *Debugging*, unit tests. (3)
- Integración con la herramienta de simulación. (3, 4, 5)

- **Simulación y recolección de datos**

- Reseña de la herramienta de simulación. (7)
- Integración del modelo del robot con el sensor y los algoritmos de evasión. (4, 5)
- Definir los entornos de las pruebas. (4, 5)
- Definir cantidad de pruebas a realizar por algoritmo y entorno. (5)
- Definir criterios de evaluación y metodología de comparación. (5, 6)
- Definir cantidad de pruebas a realizar por algoritmo y entorno. (5, 6)

- **Análisis de resultados**

- Análisis del desempeño de los algoritmos, eficacia y desempeño. (6)
- Comparación cuantitativa: elaboración de tablas y gráficos comparativos a partir de los indicadores seleccionados en la definición de las pruebas. (6)
- Comparación cualitativa: ventajas y desventajas, facilidad de implementación, requerimientos, limitantes, uso del software de simulación. (6, 7)
- Elaboración de una guía de usuario. (7)

## Marco Teórico

### 2.1. Robots autónomos y definición del problema

Primero es relevante definir qué es un robot autónomo terrestre.

Se puede empezar aclarando que los robots móviles son aquellos diseñados con la capacidad de moverse por cierto ambiente. Estos en contraposición a los brazos robóticos que dominan las aplicaciones industriales, un robot móvil ofrece una flexibilidad mucho mayor en comparación, pues en dado caso sería capaz de aplicar sus habilidades en toda la planta de producción, y no solo en el lugar en donde fue instalado [?]. Por supuesto, la movilidad también aumenta considerablemente la complejidad del robot. En este aspecto, se pueden clasificar según el ambiente para el que fueron diseñados como se hace en [?]:

- Vehículos terrestres o *UGVs*. A su vez se pueden subdividir según el mecanismo de traslación:
  - Robots con piernas.
  - Robots con ruedas.
  - Robots con orugas.
- Vehículos aéreos o *UAVs*.
- Vehículos submarinos o *AUVs*.

Este trabajo se enfoca en los robots terrestres que usan ruedas como mecanismo de traslación, llamados *WMR* por sus siglas en inglés (*Wheeled Mobile Robots*).

Los robots también se pueden clasificar según su grado de autonomía. Existen los **robots teleoperados**, estos son aquellos que son controlados por un ser humano de forma remota. Cualquier sistema “inteligente” en estos robots se limita a facilitar al operador humano el control del robot, ya sea suministrando información del ambiente o mejorando la respuesta de los controles [?]. Los **robots automatizados guiados** son capaces de seguir una ruta mediante el uso de sensores o por medios mecánicos, por ejemplo seguir un camino pintado en el piso. Estos son análogos a un tren que sigue la vía férrea, su autonomía está restringida al camino que deben seguir. Finalmente, los **robots autónomos**

o AMRs pueden detectar obstáculos en su camino hacia un objetivo y planear su propio camino [?], el presente proyecto se enfoca en WMRs que son a su vez AMRs.

Según [?], para cumplir los requisitos de autonomía un robot debe tener las siguientes características y habilidades:

- **Movilidad**
- **Adaptabilidad a situaciones desconocidas**
- **Percepción del ambiente**
- **Adquisición de conocimiento**
- **Interacción con un operario u otros agentes**
- **Seguridad**
- **Procesamiento en tiempo real**

El problema de evasión de obstáculos involucra varios de estos aspectos. Para lograr verdadera movilidad autónoma, un robot debe ser capaz de responder a las siguientes preguntas [?]:

- ¿Cómo me muevo? → Cinemática y control de los actuadores.
- ¿Cómo es el medio ambiente? → Percepción y construcción de mapas.
- ¿Dónde estoy? → Localización.
- ¿Cómo llego a mi objetivo? → Planificación de movimiento.

La evasión de obstáculos es entonces un subproblema del problema más general de la navegación autónoma. En el contexto de este proyecto, se asume que los problemas de localización y control de los actuadores están resueltos por algún módulo externo que es parte del sistema robótico. Además en cuanto a la planificación de movimiento se debe hacer la distinción entre **planeamiento global** y **planeamiento local**, [?].

El primero se encarga de encontrar un camino adecuado de un punto de inicio a un punto objetivo, tal que se cumplan ciertas restricciones u optimizaciones. Los algoritmos de planeamiento global suelen describir la ruta obtenida como una serie de puntos que el robot es capaz de seguir. Además, se suelen construir a partir de alguna representación global del ambiente del robot, es decir se dispone de al menos cierta información *a priori*.

El planeamiento local por otro lado se encarga de generar un ruta tomando en cuenta el ambiente inmediato alrededor del robot, ambiente que no necesariamente se conoce *a priori*, por lo que es parte de la solución construir una representación de la localidad del robot a partir de los datos suministrados por los sensores. Es claro que los algoritmos de evasión caen en este segundo tipo de planeamiento, y el proyecto se limita a estudiar este tipo de algoritmos. Una desventaja inherente de los algoritmos

locales es que tienden a quedarse atrapados en mínimos locales (por ejemplo en “calles sin salida”). Para atacar estos casos resulta conveniente poder combinar planeamiento local y global: el algoritmo global dirige al robot por una ruta que llegue al objetivo mientras el algoritmo local reacciona en tiempo real a cualquier obstáculo que se presente en el camino.

Finalmente, se puede definir formalmente las condiciones del problema que se desea resolver con los algoritmos que se desarrollan en secciones posteriores.

### 2.1.1. Problema

Dado un robot autónomo que no necesariamente tiene información<sup>1</sup> de su ambiente y detecta un obstáculo en su cercanía, este debe ser capaz de construir una representación interna del obstáculo para recalcular su trayectoria en tiempo real y evitar una colisión. Además en caso de que el robot se encontrara siguiendo una trayectoria, este debe ser capaz de evadirlo mientras se dirige hacia un punto objetivo, o bien retomar la trayectoria una vez que no haya obstáculos impidiendo directamente su camino.

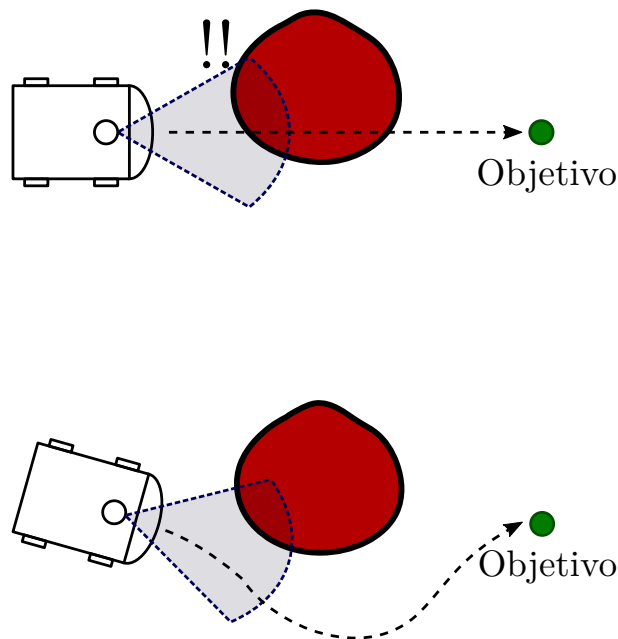


Figura 2.1: Problema que pretende resolver el proyecto. Un robot móvil detecta un obstáculo y modifica su trayectoria.

---

<sup>1</sup>Esta información puede ser por ejemplo un mapa que describa la ubicación de obstáculos, paredes, pasillos, etc.

## Supuestos

1. La postura del robot  $(x, y, \theta)$  respecto a un marco de referencia global es conocida con relativa certeza en todo momento.
2. El robot cuenta con sensores capaces de detectar obstáculos en la vecindad del robot en tiempo real.
3. Las lecturas de los sensores se representan como una serie de  $n$  puntos  $\mathbf{p} = (r, \theta)$  dados en coordenadas polares respecto al marco de referencia local del robot.
4. El objetivo hacia el cuál debe dirigirse el robot (si lo hubiese) se representa simplemente como un punto  $(x, y)$  en el marco de referencia global.
5. El algoritmo de evasión genera como salida comandos de movimiento a alto nivel, ya sea rapidez y dirección  $(v, \theta)$  o bien rapidez y velocidad angular  $(v, \omega)$ .
6. A partir de estos comandos, el robot es capaz de generar las respuestas apropiadas para sus motores mediante otros módulos.

## 2.2. Modelado

### 2.2.1. Marcos de referencia y transformaciones

En general la *postura* de un robot en un marco de referencia cartesiano tridimensional se puede describir con una séxtupla  $(x, y, z, \alpha, \beta, \theta)$ , que describe la posición y orientación del robot respecto a un marco de referencia absoluto [?]. En general, un vector de posición respecto a un marco de referencia arbitrario  $O$  se puede expresar respecto al marco de referencia absoluto  $B$  mediante la ecuación (2.2), donde  ${}^O_B R(\alpha, \beta, \theta)$  es la matriz de rotación de  $O$  a  $B$ . La distinción entre marco de referencia local y absoluto del robot se puede apreciar en la figura 2.3.

$$\vec{\mathbf{u}}_r = (x_r, y_r, z_r, \alpha_r, \beta_r, \theta_r) \quad (2.1)$$

$${}^B \vec{\mathbf{u}} = \begin{pmatrix} x \\ y \\ z \end{pmatrix} + {}^O_B R(\alpha, \beta, \theta) {}^O \vec{\mathbf{u}} \quad (2.2)$$

Para un robot que se mueve sobre un plano bidimensional se puede simplificar la descripción de la postura a  $(x, y, \theta)$  en el caso de coordenadas Eulerianas ( $z, \alpha$ , y  $\beta$  son constantes). En este caso la matriz de rotación tridimensional respecto a  $\theta$  es:

$$R_z(\theta) = \begin{bmatrix} \cos \theta & -\sin \theta & 0 \\ \sin \theta & \cos \theta & 0 \\ 0 & 0 & 1 \end{bmatrix} \quad (2.3)$$



$$\vec{u}_{r2D} = (x_r, y_r, \theta_r) \quad (2.4)$$

Una transformación relevante al posterior desarrollo de los algoritmos es la que se describe en la ecuación (2.5). Para un punto  $\vec{p}_r = (r, \phi)$  expresado en coordenadas polares respecto al marco de referencia del robot, obtener el mismo punto  $\vec{p}_0 = (x, y)$  en el marco de referencia absoluto conociendo  $\vec{u}_{r2D}$ .

$$\begin{pmatrix} x \\ y \end{pmatrix} = \begin{pmatrix} x_r \\ y_r \end{pmatrix} + r \begin{pmatrix} \cos(\theta_r + \phi) \\ \sin(\theta_r + \phi) \end{pmatrix} \quad (2.5)$$

El estudio de transformaciones es muy extenso, en esta sección se presentan únicamente las ecuaciones más relevantes al desarrollo e implementación del proyecto. Para más información de cómo se obtienen estas ecuaciones se recomienda consultar [?].

### 2.2.2. Restricciones al movimiento impuestas por las ruedas

Uno de los principales aspectos a considerar al modelar un robot es la configuración y tipo de ruedas que utiliza. En general se habla de 4 o 5 tipos diferentes de rueda en la literatura de AIVs: ruedas comunes fijas u orientables (giratorias), ruedas tipo *castor*, ruedas *Mecanum* o Suecas y ruedas esféricas ([?], [?], [?]). La figura 2.2 muestra estos diferentes tipos de ruedas.

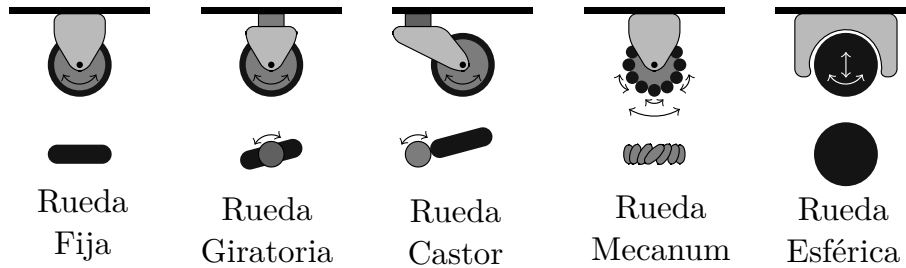


Figura 2.2: Diferentes tipos de ruedas usadas en AIVs, tomado de [?]

La configuración de las ruedas de un robot impone restricciones a su movimiento. Estas restricciones suelen estar directamente relacionadas al deslizamiento de las ruedas, por ejemplo una rueda fija no se puede deslizar lateralmente respecto a su eje de rotación. En [?] se describen con detalle las restricciones que impone cada tipo de rueda en el movimiento del robot. A partir de estas restricciones se puede desarrollar el modelo cinemático de un AIV, a su vez también se pueden calcular el *grado de movilidad*  $\delta_m$  y el *grado de direccionalidad*  $\delta_s$ . Finalmente, el *grado de maniobrabilidad*  $\delta_M$  se define como la suma de los dos anteriores, ecuación (2.6). La tabla 2.1 resume la clasificación de los diferentes tipos de robots según sus grados de movilidad y direccionalidad ( $\delta_m, \delta_s$ ), nótese que solo es relevante la cantidad de ruedas fijas y orientables, esto se deduce del hecho que los otros tipos de ruedas no imponen restricciones sobre el movimiento del robot (son omnidireccionales).

$$\delta_M = \delta_m + \delta_s \quad (2.6)$$

Tabla 2.1: Los 5 tipos genéricos de vehículos con ruedas [?].

Tipo ( $\delta_m, \delta_s$ )	Configuración de las ruedas	Ejemplo
(3, 0)	No hay ruedas comunes, tiene únicamente ruedas omnidireccionales (castor, mecanum o esféricas).	Robot Mecanum
(2, 0)	No hay ruedas orientables, y hay al menos una rueda fija. Si hay más de una rueda fija estas tienen el mismo eje de rotación.	Robot diferencial
(2, 1)	No hay ruedas fijas y hay al menos una rueda orientable. Si hay más de una rueda orientable estas están coordinadas tal que $\delta_s = 1$ .	<i>Synchronous Drive</i>
(1, 1)	Hay al menos una rueda fija y al menos una rueda orientable. Si hay más de una rueda orientable estas están coordinadas tal que $\delta_s = 1$ .	Vehículo Ackerman, triciclo
(1, 2)	No hay ruedas fijas y hay al menos dos ruedas orientables independientes. Si hay más de dos ruedas orientables estas están coordinadas tal que $\delta_s = 2$ .	Configuración poco común en la práctica

Las restricciones cinemáticas descritas por estos grados son importantes por la forma en que describen la facilidad con que un robot se puede mover en su ambiente. Físicamente, el grado de movilidad indica los grados de libertad instantáneos en el movimiento de un robot, es decir un robot con  $\delta_m = 3$  puede modificar sus  $x$ ,  $y$ , y  $\gamma$  instantáneamente y de manera independiente. El grado de direccionabilidad indica grados de libertad adicionales no instantáneos, que el robot puede controlar mediante la velocidad de rotación de sus ruedas orientables [?]. El ejemplo más ilustrativo probablemente es el vehículo Ackerman (la configuración usada en la mayoría de automóviles). Este solo se puede mover en una dirección en dado momento, hacia adelante o hacia atrás. Sin embargo, al cambiar la orientación de sus ruedas giratorias con el tiempo, obtiene un segundo grado de libertad en su movimiento que le permite modificar su orientación y moverse “lateralmente” (de manera dependiente una de la otra).

Entendiendo los conceptos de movilidad, direccionabilidad y maniobrabilidad, se puede explicar la distinción que se hace en robótica de robots holonómicos y omnidireccionales. Un robot (3, 0) no tiene ninguna restricción en su movimiento debido a sus ruedas, es capaz de moverse en cualquier dirección independientemente de su orientación  $\gamma$ , se dice que es un robot omnidireccional u *holonómico*. En robótica se entiende que un robot es holonómico si el total de grados de libertad de movimiento del robot es igual al número de grados de libertad controlables. Según esta definición un robot holonómico es aquel para el que  $\delta_M = \delta_m = 3$  en el caso de movimiento en un plano horizontal. Cabe resaltar que esto difiere del sentido estricto de holonomía geométrica, decir que un robot de este tipo es omnidirec-

cional sería más correcto, pero los términos se suelen usar indistintamente [?]. En general los robots holonómicos suelen ser más complejos que los no-holonómicos, en especial por los controladores que requieren las ruedas omnidireccionales.

### 2.2.3. Robot Diferencial

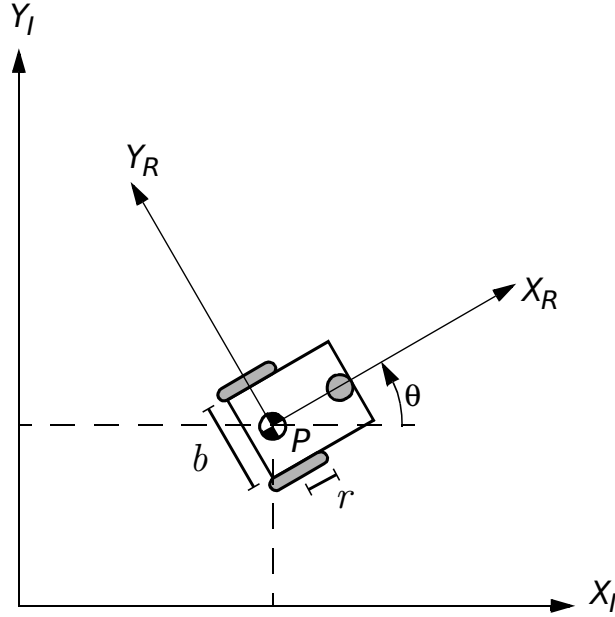


Figura 2.3: Diagrama básico de un robot diferencial, tomado de [?].

Para el desarrollo de este proyecto se decidió usar un robot diferencial en las simulaciones. A pesar de que los algoritmos son generales y no dependen directamente del tipo de robot, era necesario escoger algún modelo para las pruebas y el robot diferencial es probablemente el más sencillo. La Figura 2.3 muestra la geometría del robot, consta de dos ruedas comunes fijas de radio  $r$  separadas una distancia  $b$ . Cada rueda es controlada por un motor que la hace girar a una cierta velocidad angular. Además, suele tener una o más ruedas omnidireccionales que sirven como punto de apoyo para estabilizar el robot. Luego, el modelo cinemático del robot es:

$$\begin{bmatrix} v \\ w \end{bmatrix} = \begin{bmatrix} \frac{1}{2} & \frac{1}{2} \\ -\frac{1}{2b} & \frac{1}{2b} \end{bmatrix} \begin{bmatrix} v_L \\ v_R \end{bmatrix} \quad (2.7)$$

El modelo cinemático inverso es:

$$\begin{bmatrix} v_L \\ v_R \end{bmatrix} = \begin{bmatrix} 1 & -b \\ 1 & b \end{bmatrix} \begin{bmatrix} v \\ w \end{bmatrix} \quad (2.8)$$

Donde

$$v_L = r \cdot \phi_L \quad (2.9a)$$

$$v_R = r \cdot \phi_R \quad (2.9b)$$

Para  $\phi_L$  y  $\phi_R$  las velocidades angulares de la rueda izquierda y derecha respectivamente.

Todas estas ecuaciones se presentan a manera de resultado, el modelado general de robots se sale del alcance del proyecto. Para una explicación detallada de cómo obtener estas ecuaciones a partir de las restricciones cinemáticas de la geometría y configuración de las ruedas del robot se puede consultar [?] y [?].

### 2.3. Sensores

Hay una gran cantidad de sensores disponibles en el mercado para aplicaciones robóticas, que difieren considerablemente en su funcionamiento, forma de medición e interfaz con el robot o controlador. Se suelen clasificar de la siguiente manera ( según [?] y [?] ):

1. **Internos o externos**, dependiendo de si miden un estado propio del robot o bien si la medición se basa en una señal de referencia externa obtenida del ambiente del robot. Se suelen llamar también **propioceptivos** y **exteroceptivos** o **locales** y **globales** respectivamente.
2. **Activos o pasivos**. Los sensores activos interactúan con el ambiente para obtener la medición, por ejemplo emitiendo un haz de luz infrarroja o un ultrasonido, y midiendo la respuesta del ambiente. Los pasivos por otro lado miden una señal que ya está presente, pueden ser por ejemplo cámaras o micrófonos.

Debido a la gran cantidad de sensores que existen, esta sección se limita a describir algunos sensores usados en la detección de obstáculos, en particular los llamados *sensores de distancia*. Este tipo de sensores suelen ser activos y en general están basados en la detección de un haz que es rebotado en el objeto u obstáculo.

La energía de la señal medida depende de:

- La superficie de sensado  $B$  en el receptor.
- La superficie  $A$  del objeto impactado por el haz.
- La reflexión  $\rho(\alpha)$  del haz sobre el objeto, que depende el ángulo de incidencia  $\alpha$  y la reflectividad del material.
- La intensidad del haz (ya sea de luz o ultrasonido) en el objeto  $f(R)$  que es una función de la distancia  $R$ .

### 2.3.1. Sonar

Los sensores de ultrasonido han sido históricamente de los más comunes en cuanto a detección de obstáculos [?]. Funcionan con el principio de “tiempo de vuelo”, el sensor emite un pulso ultrasónico y cuenta el tiempo que le toma reflejarse en un objeto y volver al receptor y con esto calcula la distancia, la velocidad del pulso es conocida y constante para el rango de funcionamiento. Las frecuencias ultrasónicas sufren una gran atenuación al pasar por el aire, el límite para una señal de 50 kHz es de 11 m [?]. La mayoría de sensores ultrasónicos usados en robots móviles tiene un rango de entre 12 cm y 5 m, y alcanzan una resolución de aproximadamente 2 cm [?]. Estos sensores sufren de varias desventajas en la detección: son susceptibles a efectos de eco y reflexiones con paredes, interferencia o *crosstalk* si se usan varios sensores a la vez, y fallan en la detección de materiales suaves que absorben el sonido [?].

### 2.3.2. Lidar

Los sensores láser funcionan con un principio de tiempo de vuelo similar a los ultrasónicos. Sin embargo, para poder medir directamente el tiempo de vuelo se requiere precisión de picosegundos, esto es relativamente costoso. Si bien hay sensores que hacen precisamente esto, otros sensores usan un método más sencillo de determinar el tiempo de vuelo a partir del cambio de fase de la luz reflejada, figura 2.4. El sensor transmite luz modulada a una frecuencia conocida, esta sigue la ecuación (2.10). Luego la distancia al objeto detectado está dada por la ecuación (2.11), donde  $\theta$  es la diferencia de fase entre el haz transmitido y el reflejado [?].

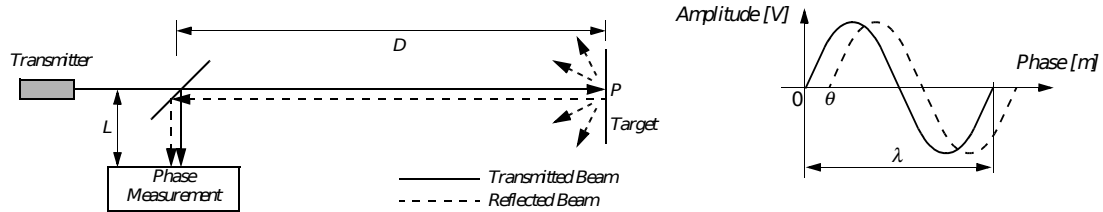


Figura 2.4: Medición de distancia a partir del cambio de fase, tomado de [?].

Si bien podría existir ambigüedad en la medición de distancia en caso de que la diferencia de fase fuera mayor a  $360^\circ$ , en la práctica la longitud de onda de la señal moduladora es mucho mayor que el rango del sensor debido a la atenuación del aire. Este tipo de sensores tiene un espejo giratorio que les permite escanear un plano, además tienen una resolución angular mucho mejor que el sonar. Se decidió usar este tipo de sensor en las simulaciones, pues por sus características se suele usar en la detección de obstáculos. Este tipo de sensores suele dar un conjunto de puntos de distancia ordenados  $(r_i, \phi_i)$  respecto al marco de referencia del vehículo ([?]), como se planteó en la sección 2.1.1.

$$c = f \cdot \lambda \quad (2.10)$$

$$D = \frac{\lambda}{4\pi} \theta \quad (2.11)$$

### 2.3.3. Sensores infrarrojos de triangulación

Este tipo de sensores funciona con un principio diferente al “tiempo de vuelo” de los sensores láser y ultrasónicos. Consta de un diodo que emite un haz colimado de luz infrarroja, pero en este caso el receptor consta de un lente que enfoca la luz reflejada sobre un dispositivo de carga acoplada o CCD. Sabiendo la geometría del arreglo emisor-receptor se puede calcular la distancia a la que se encuentra el objeto. La ecuación (2.12) describe la relación entre la distancia al objeto  $D$ , la distancia  $l$  entre el LED y el CCD, la posición  $x$  del haz medido en el CCD y la distancia focal  $f$  del lente del receptor, figura 2.5.

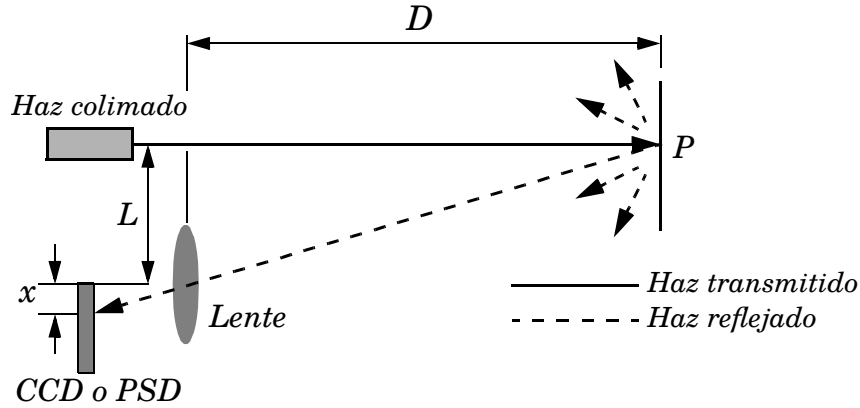


Figura 2.5: Sensor infrarrojo de distancia, tomado de [?].

$$d = f \frac{l}{x} \quad (2.12)$$

## 2.4. Algoritmos de Evasión

### 2.4.1. Vehículos de Braitenberg

Uno de los precursores de los robots autónomos móviles son los vehículos propuestos por Braitenberg en [?]. Estos no se exponen a manera de propuestas matemáticas o computacionales formales, sino más como un experimento mental, *ciencia ficticia* en palabras del autor, para demostrar cómo reacciones relativamente sencillas a estímulos pueden dar la impresión de un comportamiento inteligente. Incluso, Braitenberg llega a clasificar los vehículos según la “emoción” que parecen sentir en su respuesta al ambiente.

El vehículo más sencillo, llamado simplemente vehículo 1, cuenta con un sensor y un motor, conectados de forma muy rudimentaria: el motor irá más rápido entre mayor sea la lectura del sensor (independientemente de lo que se esté sensando). El vehículo puede moverse únicamente hacia delante y su movimiento será errático, dependerá en gran parte de las perturbaciones causadas por el ambiente en el que se mueva. Sin embargo, este vehículo demuestra la idea detrás de un vehículo de Braitenberg, una serie de sensores y motores interconectados, de modo que un sensor modifica el comportamiento de un motor, ya sea que vaya más rápido entre mayor sea la excitación del sensor, o por el contrario, una

mayor excitación del sensor inhiba el movimiento del motor. A lo largo de la obra [?] se elaboran comportamientos cada vez más complejos a partir de estas conexiones relativamente simples. Este concepto es reminiscente a las redes neuronales.

El vehículo 2b cuenta con dos sensores y dos motores con una conexión cruzada como se muestra en la Figura 2.6. Supóngase que se tengan sensores de luz. Si una fuente de luz se coloca directamente frente al vehículo este se moverá hacia adelante, a mayor velocidad entre más cerca esté. Ahora supóngase que la fuente de luz se encuentra ligeramente a la izquierda. El sensor del lado izquierdo tendrá una lectura mayor, esto hará que el motor derecho se mueva a mayor velocidad que el izquierdo, y a su vez que el robot gire en dirección a la fuente de luz. Efectivamente, este vehículo tiende a moverse “agresivamente” hacia las fuentes del sensor [?]. Supóngase ahora que se sustituyen los sensores de luz por sensores infrarrojos, de modo que la excitación será la distancia en línea recta desde el sensor hasta el primer objeto. Este vehículo tendrá un comportamiento tal que se verá “atraído” al espacio libre, y tenderá a evitar obstáculos en su camino. Efectivamente, el algoritmo 2.1 que describe este comportamiento se podría implementar de manera sencilla mediante ecuaciones lineales, para obtener un comportamiento de evasión de obstáculos.

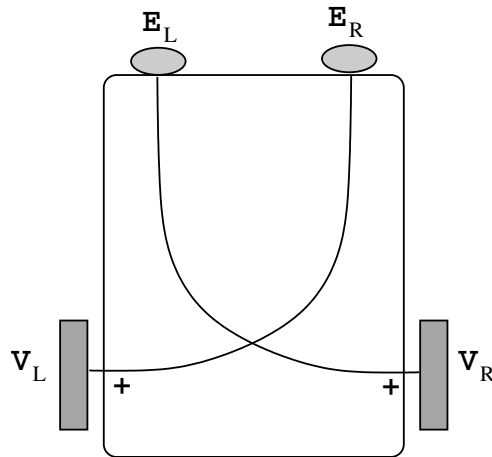


Figura 2.6: Vehículo 2b con conexión cruzada, tomado de [?].

El vehículo 3a tiene un comportamiento similar en cuanto al seguimiento, pero más bien tiende a disminuir su velocidad cuando se acerca a la fuente. La figura 2.7 muestra la conexión de sensores y motores, nótese que en este caso la lectura del sensor inhibe la acción del motor que se encuentra del mismo lado, como describe el algoritmo 2.2. Así, una diferencia en el nivel de estímulo de los sensores hace que el vehículo gire.

Si bien en [?] no se hace un análisis matemático formal de los vehículos propuestos, otros autores sí han hecho estudios matemáticamente rigurosos sobre el comportamiento de los diferentes vehículos. Por ejemplo, en [?] se hace un análisis de la convergencia de trayectorias de un vehículo 3a bajo la influencia de un estímulo parabólico. Este trabajo demuestra cómo se pueden obtener trayectorias estables, inestables y periódicas según las condiciones iniciales del robot.

**Algoritmo 2.1:** Algoritmo de vehículo 2b.

---

**Entrada:** Se tiene un robot como el de la figura 2.6, con un motor y un sensor del lado izquierdo, y otro motor y sensor del derecho.

**Salida:** La velocidad de ambos motores.

---

```

1 Si la lectura de un sensor aumenta, entonces:
2     aumentar la velocidad del motor del lado contrario
3
4 Si la lectura de un sensor disminuye, entonces:
5     disminuir la velocidad del motor del lado contrario

```

---

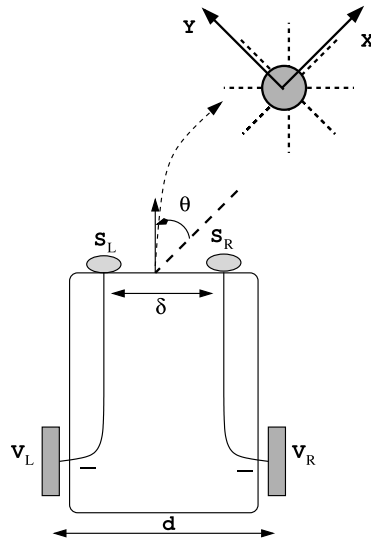


Figura 2.7: Vehículo 3a con acción inhibitoria de los sensores, tomado de [?].



**Algoritmo 2.2:** Algoritmo de vehículo 3a.

---

**Entrada:** Se tiene un robot como el de la figura 2.7, con un motor y un sensor del lado izquierdo, y otro motor y sensor del derecho.

**Salida:** La velocidad de ambos motores.

---

```
1 Si la lectura de un sensor aumenta, entonces:  
2     disminuir la velocidad del motor del mismo lado.  
3  
4 Si la lectura de un sensor disminuye, entonces:  
5     aumentar la velocidad del motor del mismo lado.
```

---

### 2.4.2. Vector Field Histogram

El algoritmo *VFH* fue desarrollado por Johann Borenstein en colaboración con otros autores. La versión original del algoritmo se presenta en [?]. Este desarrolla el concepto de histograma de obstáculos para representar la densidad probabilística de obstáculos alrededor del robot. A partir de este se construye un histograma polar de obstáculos que en última instancia se usa para determinar la dirección en la que debe dirigirse el robot. Borenstein presentó varias mejoras posteriores al algoritmo original. Primero el *VFH+* [?], en este se presentan 4 modificaciones puntuales que mejoran la respuesta del algoritmo considerablemente al tomar en cuenta las dimensiones y la dinámica del robot, reduciendo en gran medida la necesidad de ajustar parámetros. Estas se presentan más adelante en la sección 2.4.3. Posteriormente el *VFH\** [?] añade características de planeamiento global al algoritmo.

A continuación se elaboran los elementos más importantes del algoritmo según se plantean en [?].

#### Cuadrícula de Certeza

La primera representación de datos que usa *VFH* es una cuadrícula  $C$  (llamada *Certainty Grid* en inglés), que se usa como modelo del medio ambiente del robot. En esta se construye una pseudo representación probabilística de los obstáculos que el *AIV* va sensando. Cada espacio  $c_{i,j}$  guarda un valor entero que representa la certeza de que algún objeto se encuentre realmente en ese espacio de la cuadrícula. La forma en que se actualizan los valores de  $C$  es muy sencilla: cada lectura de un sensor aumenta el valor de una única celda en uno. La ventaja de este método es que si los sensores realizan mediciones continuamente a una alta tasa de muestreo, se logra una representación bastante certera de los obstáculos mientras el robot se traslada, y a un muy bajo coste computacional.

Una ventana que se mueve con el *AIV* define la región activa  $C^*$  de la cuadrícula  $C$  sobre la cual se realizan los cálculos. Esta ventana encuadra una región de  $w_s \times w_s$  celdas centrada en la posición del robot, en la que cada celda  $c_{i,j}$  ahora representa un vector de obstáculos, donde su dirección  $\beta$  se determina de la celda al centro del vehículo

$$\beta_{i,j} = \tan^{-1} \frac{y_j - y_0}{x_i - x_0} \quad (2.13)$$

y la magnitud está dada por

$$m_{i,j} = c_{i,j}^2 (a - b d_{i,j}^2) \quad (2.14)$$

donde

- $x_0, y_0$  son las coordenadas del centro del robot
- $x_i, y_j$  son las coordenadas de la celda activa  $c_{i,j}$
- $c_{i,j}$  es el valor de certidumbre de la celda activa  $c_{i,j}$
- $d_{i,j}$  es la distancia del centro del robot a la celda activa  $c_{i,j}$
- $a, b$  son constantes positivas

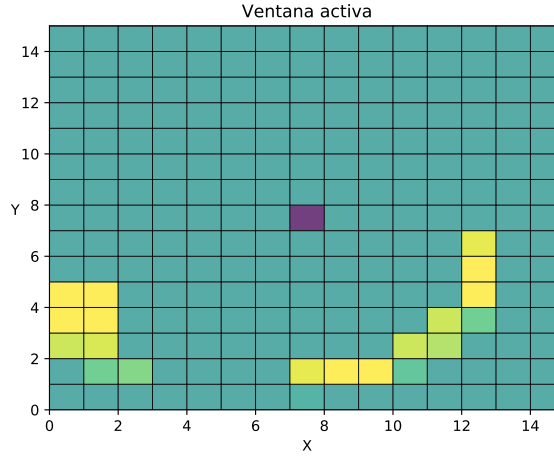


Figura 2.8: Ventana activa  $C^*$ . Los colores más amarillentos representan valores más altos de certidumbre, el robot ocupa la celda morada. Obtenida en las simulaciones realizadas.

Las constantes  $a$  y  $b$  se eligen de tal forma que la celda activa más lejana tenga una magnitud de  $c_{i,j}^2$ . Es decir

$$a - b \frac{(w_s - 1)^2}{2} = 1 \quad (2.15)$$

### Histograma Polar

Una vez se tiene el ángulo y la magnitud de todos los vectores de la ventana activa, estos se mapean al histograma polar  $H$ . Este tiene una resolución arbitraria  $\alpha$  tal que  $360/\alpha$  resulta en un número entero de sectores. Se establece una correspondencia entre cada sector  $k$  y vector a partir su ángulo  $\beta$

$$k = \text{int}(\beta_{i,j}/\alpha) \quad (2.16)$$

Luego, para cada sector  $k$  de  $H$ , se define la densidad  $h_k$

$$h_k = \sum m_{i,j} \quad (2.17)$$

Finalmente, se aplica un filtro a  $H$  tal que

$$h'_k = \frac{h_{k-l} + 2h_{k-l+1} + \dots + lh_k + \dots + 2h_{k+l-1} + h_{k+l}}{2l + 1} \quad (2.18)$$

La figura muestra la representación de un histograma polar filtrado que se podría obtener a partir de un curso de obstáculos sencillo.

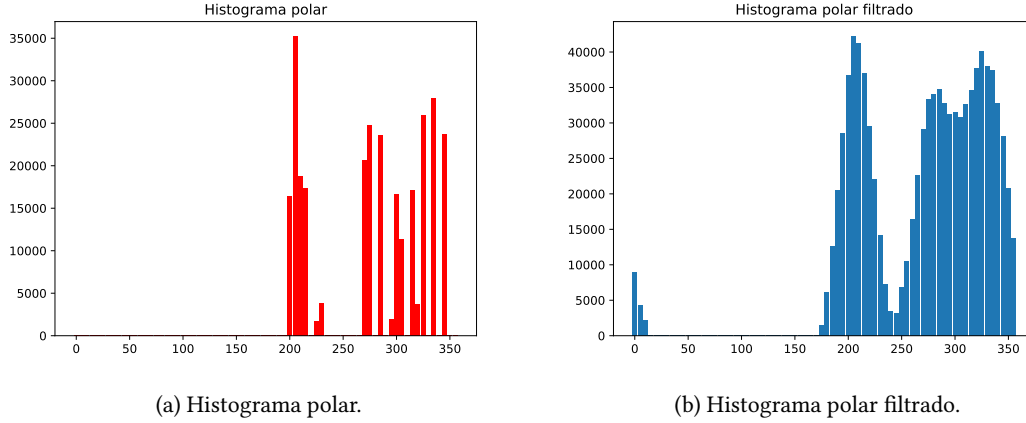


Figura 2.9: Histogramas polares obtenido a partir de la ventana activa de la figura 2.8.

### Control de la dirección

La dirección de giro del robot se obtiene a partir de un histograma polar como podría ser el de la figura 2.9. El histograma se divide en “valles” y “picos”, que son respectivamente las secciones de menor y mayor densidad de obstáculos. La distinción se hace respecto a un cierto valor de umbral que se determina como un parámetro. Los grupos de sectores que se encuentren por debajo este umbral son los valles candidatos a ser la nueva dirección del movimiento. El algoritmo selecciona el valle que sea más cercano a la dirección del punto objetivo.

Borenstein además hace una distinción entre valles anchos y angostos, dependiendo de si constan de más de  $s_{max}$  sectores consecutivos. Sin embargo, la dirección se calcula de igual manera para ambos tipos. Sea  $k_{targ}$  el sector de la dirección al punto objetivo, se define  $k_n$  como el sector del valle más cercano a  $k_{targ}$  y  $k_f$  como el sector más lejano. Luego la dirección del robot es

$$\theta = \alpha \frac{(k_n + k_f)}{2} \quad (2.19)$$

De esta forma el robot sigue una trayectoria centrada entre los obstáculos. El algoritmo es poco sensible a la elección de  $\alpha$  y  $s_{max}$ , estos tienen poco efecto sobre el correcto funcionamiento del algoritmo excepto en casos de extremo desajuste [?].

### Control de velocidad

Para determinar la velocidad del robot se toma en consideración la densidad de obstáculos  $h'_c$  en la dirección actual del movimiento del robot. Se define la velocidad máxima  $V_{max}$ , a partir de esta la densidad se calcula la velocidad deseada.

$$V' = V_{max} \left( 1 - \frac{h'_c}{h_m} \right) \quad (2.20)$$

donde

$$h'_c = \min(h'_c, h_m) \quad (2.21)$$

Esto garantiza que el robot desacelere cuando tenga un obstáculo muy grande o muy cercano al frente. La constante  $h_m$  se debe determinar de manera empírica para la aplicación, de modo que ocasione una reducción suficiente de la velocidad.

Además del control de velocidad dado por (2.20) y (2.21), se puede hacer una reducción adicional tomando en consideración la tasa de viraje  $\Omega$  del robot.

$$V = V' \left( 1 - \frac{\Omega}{\Omega_{max}} \right) + V_{min} \quad (2.22)$$

donde  $\Omega_{max}$  es la máxima velocidad angular permitida para el robot. Además  $V_{min}$  evita que el robot se detenga por completo.

El algoritmo 2.3 resume el planteamiento teórico de VFH, más adelante se verá que la implementación realizada difiere ligeramente de la teoría.

#### Algoritmo 2.3: Algoritmo de evasión VFH

---

**Entrada:** Lectura de los sensores , postura del robot, posición del objetivo.

**Salida:** Velocidad y dirección  $(v, \theta)$

---

- 1 Obtener la posición y dirección actual.
  - 2 Leer los datos de los sensores.
  - 3 Actualizar la cuadrícula de certeza  $C$
  - 4 Calcular los vectores de obstáculo de la ventana activa  $C^*$ , según las ecuaciones (2.13) y (2.14).
  - 5 Actualizar el histograma polar  $H$  según las ecuaciones (2.16) y (2.17).
  - 6 Actualizar el histograma polar filtrado  $H'$  según la ecuación (2.18).
  - 7 Determinar los valles a partir del valor de  $s_{max}$ .
  - 8 Determinar la dirección del robot  $\theta$  a partir de la ecuación (2.19).
  - 9 Calcular la velocidad  $v$  según las ecuaciones (2.20), (2.21) y (2.22).
  - 10 Modificar la dirección del robot según  $(v, \theta)$ .
- 

#### 2.4.3. VFH+

El algoritmo VFH+ es una mejora del algoritmo VFH original propuesta por Borenstein en [?]. Al igual que en VFH se parte de una cuadrícula de certeza  $C$  con una ventana activa  $C_a$  que se mueve con el robot y contiene vectores de obstáculo, las ecuaciones (2.13), (2.14) y (2.15) se mantienen.

### Histograma polar principal

El primer cambio en el algoritmo es la definición de un radio de ensanchamiento para las celdas de  $C_a$ , que viene a compensar el ancho del robot. Este radio está definido por la ecuación (2.23), donde  $r_r$  es el radio del robot (que se define como la distancia del centro del robot al punto más alejado de su perímetro) y  $d_s$  es la distancia mínima entre el robot y un obstáculo. Este método de compensación viene a sustituir el filtro usado en VFH, ecuación (2.18), que de por sí era difícil de sintonizar para un funcionamiento óptimo. Luego, para cada celda se define el ángulo de ensanchamiento  $\gamma_{ij}$  en la ecuación (2.24).

$$r_{r+s} = r_r + d_s \quad (2.23)$$

$$\gamma_{ij} = \arcsin \frac{r_{r+s}}{d_{ij}} \quad (2.24)$$

Para cada sector  $k$  del histograma polar, la densidad de obstáculos se calcula como:

$$H_k^p = \sum_{i,j \in C_a} m_{ij} \cdot h'_{ij} \quad (2.25)$$

donde

$$\begin{cases} h'_{ij} = 1 & \text{si } k \cdot \alpha \in [\beta_{ij} - \gamma_{ij}, \beta_{ij} + \gamma_{ij}] \\ h'_{ij} = 0 & \text{de lo contrario} \end{cases} \quad (2.26)$$

La función  $h'$  sirve de filtro pasabajo y elimina la necesidad de filtrar el histograma polar  $H^p$ , con la ventaja de que  $h'$  se determina analíticamente a partir de las dimensiones del robot y no empíricamente por prueba y error como era el caso en VFH.

### Histograma polar binario

El algoritmo VFH original por lo general resultaba en trayectorias suaves. Sin embargo, a veces el valor de umbral  $T$  causaba problemas en ambientes con varios valles angostos. En este tipo de situación, sucedía a veces que el robot alternaba constantemente entre dos de estos valles, resultando en un comportamiento indeciso. Este problema se reduce fácilmente si se aplica una histéresis basada en dos valores de umbral  $\tau_{low}$  y  $\tau_{high}$ . A partir de  $H^p$  y estos valores de umbral, se construye un *histograma polar binario*  $H^b$ , en vez de guardar valores de densidad de obstáculos, los sectores de  $H^b$  se encuentran simplemente *libres* (0) u *ocupados* (1). En cualquier instante de tiempo discreto  $n$ , el histograma binario se actualiza según las reglas de la ecuación (2.27).

$$\begin{cases} H_{k,n}^b = 1 & \text{si } H_{k,n}^p > \tau_{high} \\ H_{k,n}^b = 0 & \text{si } H_{k,n}^p < \tau_{low} \\ H_{k,n}^b = H_{k,n-1}^b & \text{en otro caso} \end{cases} \quad (2.27)$$

### Histograma polar mascarado

El algoritmo VFH original obvia la dinámica del robot al asumir implícitamente que este puede cambiar de dirección de manera instantánea. Este no es el caso en la práctica, por esta razón se aproxima la trayectoria del robot mediante curvaturas  $\kappa = 1/r$ . La máxima curvatura suele ser una función de la velocidad del robot. Los radios de curvatura mínimos en función de la velocidad del robot serán  $r_r = 1/\kappa_r$  y  $r_l = 1/\kappa_l$ . Con estos parámetros y la ventana activa se pueden determinar sectores adicionales que están bloqueados por la trayectoria del robot. Nuevamente las celdas con obstáculos se ensanchan un radio  $r_{r+s}$ , si un círculo de una celda ocupada traslapa con un círculo de trayectoria todas las direcciones desde el obstáculo hacia la dirección contraria al movimiento actual son bloqueadas.

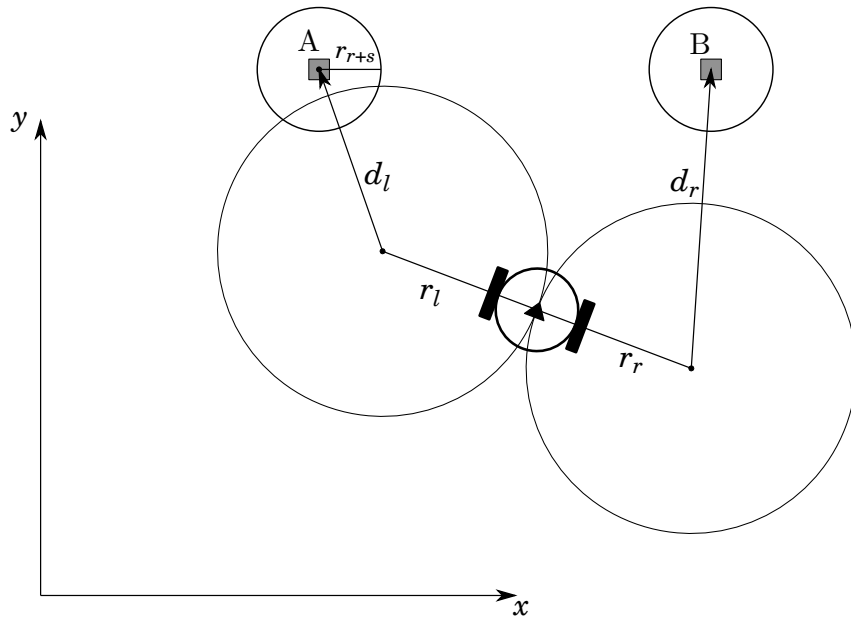


Figura 2.10: La celda A bloquea las direcciones a su izquierda.

La figura 2.10 ilustra esta situación. Para una celda que se encuentra ocupada se calcula la distancia desde el centro del mínimo radio de giro hasta la celda. Si esta distancia es menor a la suma del radio de giro y  $r_{r+s}$ , entonces la celda bloquea todas las direcciones posteriores. La posición del centro del círculo de giro respecto al marco de referencia de la ventana activa se puede calcular según la ecuación (2.28) ó (2.29), donde  $w_s$  es el tamaño de la ventana activa.

$$x_r = \frac{w_s}{2} + r_r \cdot \cos(\theta - 90) \quad y_r = \frac{w_s}{2} + r_r \cdot \sin(\theta - 90) \quad (2.28)$$

$$x_l = \frac{w_s}{2} + r_l \cdot \cos(\theta + 90) \quad y_l = \frac{w_s}{2} + r_l \cdot \sin(\theta + 90) \quad (2.29)$$

$$d_r^2 = (c_x - x_r)^2 + (c_y - y_r)^2 \quad (2.30)$$

$$d_l^2 = (c_x - x_l)^2 + (c_y - y_l)^2 \quad (2.31)$$

Una celda de  $C_a$  bloquea las direcciones a su derecha si:

$$d_r^2 < (r_r + r_{r+s})^2 \quad (2.32)$$

Una celda de  $C_a$  bloquea las direcciones a su izquierda si:

$$d_l^2 < (r_l + r_{r+s})^2 \quad (2.33)$$

Verificando estas condiciones para todas las celdas de la ventana activa se obtienen dos ángulos límite:  $\phi_r$  y  $\phi_l$  para ángulos a la derecha e izquierda respectivamente. Además se define  $\phi_b = \theta + 180^\circ$  como la dirección opuesta al movimiento actual. Esta etapa se puede implementar eficientemente con un algoritmo que verifique únicamente las celdas que puedan cambiar  $\phi_l$  y  $\phi_r$ . El fragmento de código 2.4 describe un algoritmo así.

Finalmente se puede construir el *diagrama polar mascarado*  $H^m$ :

$$\begin{cases} H_k^m = 0 & \text{si } H_k^b = 0 \text{ y } (k \cdot \alpha) \in \{[\phi_r, \theta], [\theta, \phi_l]\} \\ H_k^m = 1 & \text{en caso contrario} \end{cases} \quad (2.34)$$

### Control de la dirección

Al igual que en VFH original se hace una distinción entre valles angostos y anchos, si ocupan más de  $s_{max}$  sectores consecutivos. En el caso de valles angostos solo hay una dirección candidata que lleva la robot por el espacio en medio de los obstáculos.

$$c_d = \frac{k_r + k_l}{2} \quad (2.35)$$

Para valles anchos hay al menos dos direcciones candidatas,  $c_r$  a la derecha y  $c_l$  a la izquierda de la apertura. La dirección del objetivo también puede ser una dirección candidata si se encuentra entre las dos anteriores.

$$c_r = k_r + \frac{s_{max}}{2} \quad (2.36)$$

$$c_l = k_l - \frac{s_{max}}{2} \quad (2.37)$$

$$c_t = k_t \quad \text{si } k_t \in [c_r, c_l] \quad (2.38)$$

Luego, para elegir la nueva dirección de entre las direcciones candidatas se aplica una función de costo, ecuación (2.39):

$$g(c) = \mu_1 \cdot \Delta(c, k_t) + \mu_2 \cdot \Delta(c, \theta_n) + \mu_3 \cdot \Delta(c, k_{d,n-1}) \quad (2.39)$$



**Algoritmo 2.4:** Algoritmo para determinar  $\phi_l$  y  $\phi_r$ .

---

**Entrada:** Postura del robot  $(x, y, \theta)$ , ventana activa, histograma polar mascarado, histograma polar binario, radios de giro  $r_{der}$  y  $r_{izq}$ .

**Salida:** Histograma polar mascarado.

**Parámetros:**  $r_{r+s}$ .

---

```

1   $\phi_b = \theta + 180^\circ$ 
2   $\phi_r = \phi_b$ 
3   $\phi_l = \phi_b$ 
4
5  Para i de 0 a window_size:
6      Para j de 0 a window_size:
7          Si  $m_{i,j}$  está libre entonces:
8              Continuar a la siguiente celda.
9
10         Si  $\beta_{i,j} \in [\theta, \phi_l[$  entonces:
11             Calcular la distancia, ecuación (2.31).
12             Si la distancia es menor a  $r_{izq} + r_{r+s}$  entonces:
13                  $\phi_l = \beta_{i,j}$ 
14             Fin si
15         Si no, si  $\beta_{i,j} \in [\phi_r, \theta[$  entonces:
16             Calcular la distancia, ecuación (2.30).
17             Si la distancia es menor a  $r_{der} + r_{r+s}$  entonces:
18                  $\phi_r = \beta_{i,j}$ 
19             Fin si
20         Fin si
21     Fin para
22 Fin para
23
24 Retornar  $\phi_l$  y  $\phi_r$ 

```

---

donde

- $\Delta(\alpha, \beta)$  es una función que calcula el valor absoluto de la diferencia de ángulos entre  $\alpha$  y  $\beta$
- $c$  es la dirección candidata
- $k_t$  es la dirección del objetivo
- $\theta_n$  es la dirección actual del robot
- $k_{d,n-1}$  es la dirección de giro que fue seleccionada previamente
- $\mu_1 \mu_2 \mu_3$  son parámetros que le dan peso a cada término asociado. Para que el robot tenga un comportamiento de seguir el objetivo se debe cumplir que  $\mu_1 > \mu_2 + \mu_3$

Esta función de costo también permite alterar el comportamiento general del robot de forma más sutil, al cambiar los pesos de los parámetros. Finalmente, el algoritmo 2.5 resume el funcionamiento completo de VFH+, según se describió en esta sección.

#### Algoritmo 2.5: Algoritmo de evasión VFH+

---

**Entrada:** Lectura de los sensores , postura del robot, posición del objetivo, radios de giro.

**Salida:** Dirección  $(v, \theta)$

---

- 1 Obtener la posición y dirección actual.
  - 2 Leer los datos de los sensores.
  - 3 Actualizar la cuadrícula de certeza  $C$
  - 4 Calcular los vectores de obstáculo de la ventana activa  $C_a$ , según las ecuaciones (2.13) y (2.14).
  - 5 Actualizar el histograma polar  $H^p$  según las ecuaciones (2.25) y (2.26).
  - 6 Actualizar el histograma polar binario  $H^b$  según la ecuación (2.27).
  - 7 Actualizar el histograma polar mascarado  $H^m$  según la ecuación (2.34) y el algoritmo 2.4.
  - 8 Si todas las direcciones de  $H^m$  están bloqueadas, disminuir la velocidad
  - 9 Determinar los valles a partir de  $s_{max}$ .
  - 10 Determinar las direcciones candidatas, ecuaciones (2.35), (2.36), (2.37) y (2.38).
  - 11 Determinar la dirección de menor costo, ecuación (2.39).
-

## Implementación de los algoritmos seleccionados

### 3.1. Generalidades

Para la implementación de los algoritmos se tomó la decisión de usar el lenguaje de programación Python. Las siguientes fueron razones de peso en esta decisión:

- **Compatibilidad con el software de simulación:** El software de simulación que se usó para validar los algoritmos cuenta con soporte oficial de una API para Python.
- **Facilidad y rapidez de prototipado:** Python es un lenguaje interpretado de alto nivel, que permite una gran flexibilidad a la hora de programar, no requiere manejo explícito de memoria, además cuenta con un *shell* interactivo y está ampliamente documentado. Todo esto acelera considerablemente el proceso de desarrollo y reduce la cantidad de líneas de código necesarias, hasta la mitad de horas de desarrollo y líneas de código en comparación a lenguajes compilados como Java y C++ [?]. Este es un factor decisivo considerando el cronograma ajustado del proyecto eléctrico.
- **Disponibilidad de paquetes externos:** Python cuenta con varios paquetes para aplicaciones científicas y de robótica. En particular, en este proyecto se usaron extensivamente *NumPy* y *Matplotlib*.
- **Compatibilidad con ROS:** Python cuenta con una API oficial para ROS. A pesar de que ROS no se usó directamente en el desarrollo de este proyecto, sí es parte de los objetivos permitir compatibilidad e integración de los algoritmos a futuro en sistemas más complejos, y el CERLab y varios otros laboratorios de EIE hacen uso de ROS en los robots que desarrollan.

El código y la documentación del mismo se incluyen anexados al final del documento. La estructura del proyecto es la siguiente:

- **Py:** En esta carpeta se encuentran los módulos de los algoritmos de evasión y del modelo del robot diferencial, en general el código “reutilizable” o “abstraíble” en otros sistemas. Este compone el grueso de las implementaciones desarrolladas.

- `VFH.py`: Implementa el algoritmo de evasión VFH con la clase `VFHModel`.
- `VFHP.py`: Implementa el algoritmo de evasión VFH+ con la clase `VFHPModel`.
- `Braitenberg.py`: Implementa el algoritmo de evasión basado en Vehículos de Braitenberg con la clase `BraitModel`.
- `DiffRobot.py`: Modela un robot diferencial, sus sensores y actuadores relevantes a la evasión de obstáculos.
- `PID.py`: Una implementación sencilla de un controlador PID, se use dentro del modelo del robot diferencial para controlar la orientación  $\theta$  (ecuación (2.4)).
- **Vrep**: En esta carpeta se encuentran los *scripts* y el código usado para la simulación con V-REP. Es decir, los programas que se corren desde el simulador usando la API de V-REP, y que instancian los algoritmos y modelos definidos en Py. Estos se detallan como parte de la simulación en el capítulo 4.
  - `HokuyoRob.py`: Programa que instancia los algoritmos de evasión y se conecta al simulador.
  - `ePuck.lua`: Script del robot ePuck.
  - `Hokuyo.lua`: Script del sensor Hokuyo.
  - `Pista1.tttt`: Escena de simulación del primer curso de obstáculos.
  - `Pista2.tttt`: Escena de simulación del segundo curso de obstáculos.
  - `Pista3.tttt`: Escena de simulación del segundo curso de obstáculos.

Los tres algoritmos de evasión se implementaron como clases, siguiendo un paradigma de programación orientada a objetos. Además, una cuarta clase modela el robot diferencial, e instancia los algoritmos de evasión. La figura 3.1 muestra un diagrama de clases del conjunto.

La documentación del código se incluye anexada al final de reporte. La misma se generó mediante el uso de la herramienta Sphinx. Se incluye además en formato de página web, en la copia digital del proyecto.

## 3.2. Algoritmos de Braitenberg

Para la implementación del algoritmo de evasión basado en los vehículos de Braitenberg se usó una combinación de los vehículos 2b y 3a según se describen en [?]. El funcionamiento a alto nivel del controlador se describe en el algoritmo 3.1.

La tabla 3.1 resume los parámetros usados por el controlador, estos se implementaron como atributos de clase. El controlador puede funcionar con 3 modos diferentes de sensado, mismos se resumen en la tabla 3.2. Se asume que se usa un sensor de distancia tipo Lidar, tal que el estímulo para cada lado se obtiene a partir de las mediciones o puntos que se encuentren en cierto sector angular. El estímulo izquierdo se obtiene a partir de las mediciones en el rango  $[0, \alpha]$ , mientras que el derecho se obtiene de las mediciones en el sector  $[-\alpha, 0]$ , ambos rangos respecto al marco de referencia del robot. Esto se implementó mediante el algoritmo 3.2 con  $\alpha = \pi/6$  rad.

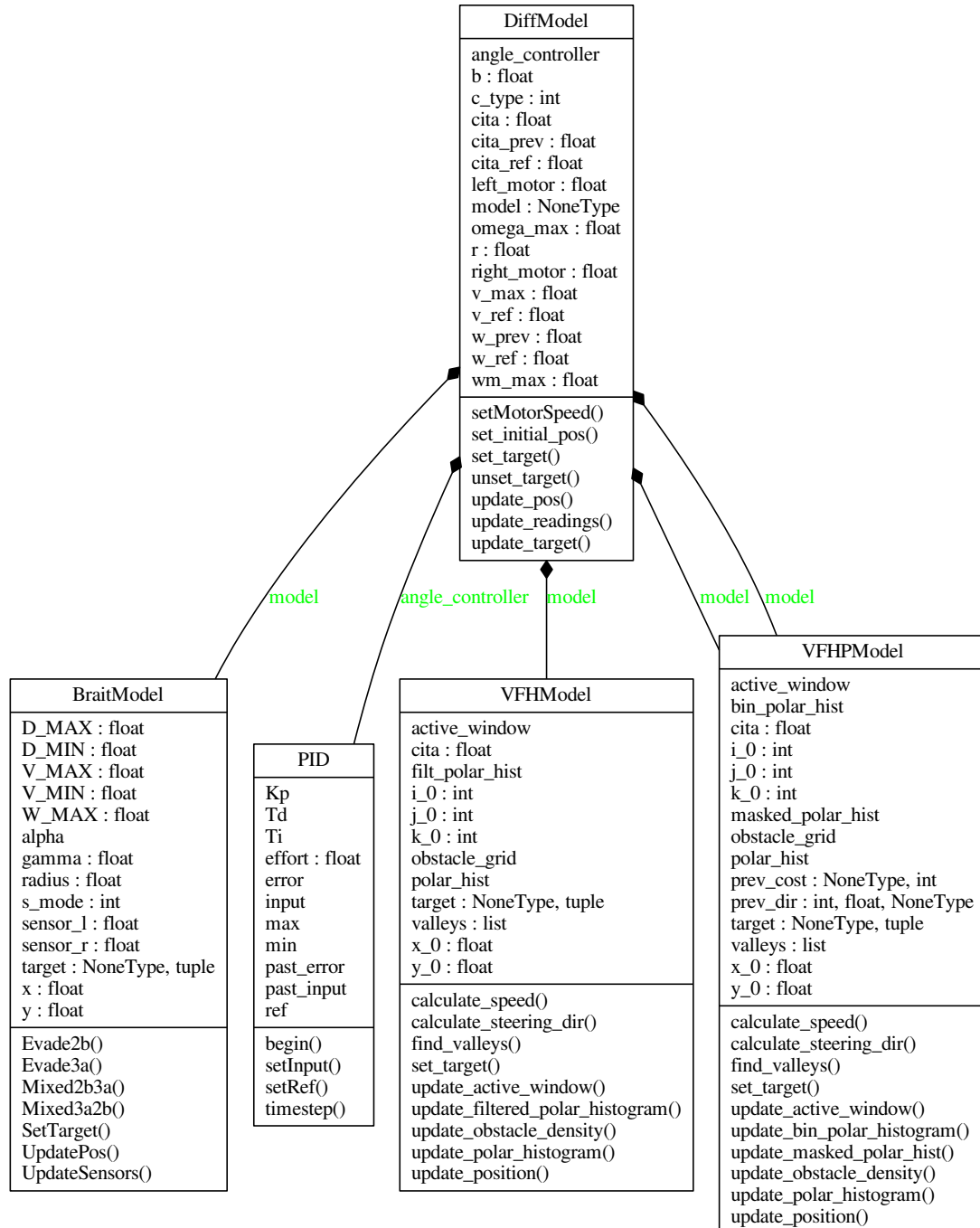


Figura 3.1: Diagrama de clases.

**Algoritmo 3.1:** Algoritmo de evasión según vehículos de Braitenberg.

---

**Entrada:** Datos del sensor, información de la posición del robot y el punto objetivo (si hay).

**Salida:** Una respuesta en forma de velocidad lineal y angular del robot ( $v, \omega$ ).

**Parámetros:** El tipo de evasión y seguimiento (2b o 3a).

---

```

1 Obtener las lecturas de los sensores
2 Calcular los estímulos para cada lado a partir de las lecturas
3 Obtener la respuesta de evasión según el vehículo 2b (o 3a)
4
5 si no hay objetivo entonces:
6     Calcular la respuesta del robot a partir de la evasión
7     retornar la respuesta total
8
9 si hay objetivo entonces:
10    Calcular la distancia al objetivo
11    Obtener la respuesta de seguimiento según el vehículo 3a (o 2b)
12    Calcular la respuesta total a partir de la evasión y el seguimiento
13    retornar la respuesta total

```

---

Tabla 3.1: Parámetros del algoritmo de Braitenberg.

Nombre	Descripción
radius	Radio del robot (en m).
D_MIN	Distancia mínima a los obstáculos (en m). Cualquier lectura menor de los sensores de distancia es equivalente a D_MIN.
D_MAX	Distancia máxima de detección de obstáculos (en m). Cualquier lectura mayor es ignorada.
V_MIN	Velocidad mínima del robot (en m/s).
V_MAX	Velocidad máxima del robot (en m/s).
W_MAX	Velocidad angular máxima del robot (en rad/s).
alpha	Rango angular de visión del robot (en radianes).
smode	Indica el modo de sensado según la tabla 3.2.
MIN_READ	Número mínimo lecturas en el modo S_MODE_FULL.

---

Para la evasión de obstáculos se hizo una implementación basada en transformaciones lineales. La idea es que mediante transformaciones lineales sencillas se relacionen los estímulos obtenidos de los sensores con la respuesta del robot siguiendo la lógica de los vehículos de Braitenberg. Para esto se define una función de *mapeo lineal*, según la ecuación (3.1), nótese que es la ecuación de una recta, pero con  $y$  acotado dentro de un cierto rango.

**Algoritmo 3.2:** Obtención de estímulos a partir de las medidas del sensor

---

**Entrada:** Los datos del sensor, una lista de puntos  $(r, \phi)$ .

**Salida:** Los estímulos  $sensor_l$  y  $sensor_r$

**Parámetros:** El modo de sensado  $s\_mode$ , el rango de visión  $\alpha$

---

```

1  funcion ObtenerEstimulos(datos):
2
3      definir dos arreglos vacíos: datos_izq, datos_der
4
5      para cada par  $(r, \phi)$  en datos hacer:
6          si  $r$  es 0 y  $\phi$  es 0 entonces:
7              continuar con el siguiente dato
8          si no, si  $-\alpha < \phi \leq 0$  entonces:
9              agregar  $r$  a datos_izq
10         si no, si  $0 < \phi < \alpha$  entonces:
11             agregar  $r$  a datos_der
12         fin si
13     fin para
14
15     si  $s\_mode$  es SMODE_MIN entonces:
16         sensor_l = mínimo valor en datos_izq o D_MAX si está vacío
17         sensor_r = mínimo valor en datos_der o D_MAX si está vacío
18
19     si no, si  $s\_mode$  es SMODE_AVG entonces:
20         sensor_l = promedio de valores en datos_izq o D_MAX si está vacío
21         sensor_r = promedio de valores en datos_der o D_MAX si está vacío
22
23     si no, si  $s\_mode$  es SMODE_FULL entonces:
24         definir un número mínimo de datos requerido por cada lado N (depende del
25             sensor)
26         agregar a datos_izq valores D_MAX hasta que tenga al menos N elementos
27         agregar a datos_der valores D_MAX hasta que tenga al menos N elementos
28         sensor_l = promedio de valores en datos_izq
29         sensor_r = promedio de valores en datos_der
30     fin si
31
32     retornar sensor_r, sensor_l

```

---

Tabla 3.2: Modos de operación del sensor.

Modo	Descripción
SMODE_MIN	El estímulo corresponde al mínimo valor de distancia detectado dentro del rango respectivo.
SMODE_AVG	El estímulo corresponde al promedio de los valores de distancia no nulos dentro del rango detectado. Si no hay ningún valor detectado, se asigna el valor máximo de distancia detectable.
SMODE_FULL	El estímulo corresponde al promedio de valores de distancia no nulos y se debe tener al menos $n$ cantidad de mediciones no nulas. Si no se alcanza este número, se suman mediciones con el máximo valor de distancia hasta alcanzar el mínimo número de puntos, y se calcula el promedio. El valor de $n$ está dado por el parámetro MIN_READ.

$$\text{Map}(x, x_1, x_2, y_1, y_2) = \begin{cases} y_2 & \text{si } x > x_2 \\ \frac{y_2 - y_1}{x_2 - x_1} (x - x_1) + y_1 & \text{si } x_1 \leq x \leq x_2 \\ y_1 & \text{si } x < x_1 \end{cases} \quad (3.1)$$

La clase define 4 métodos para la evasión:

- Evade2b: Evasión tipo 2b sin seguimiento de trayectoria algoritmo 3.3 .
- Evade3a: Evasión tipo 3a sin seguimiento de trayectoria algoritmo 3.4 .
- Mixed2b3a: Evasión tipo 2b con seguimiento de trayectoria tipo 3a algoritmo 3.5 .
- Mixed3a2b: Evasión tipo 3a con seguimiento de trayectoria tipo 2b algoritmo 3.6 .

Los algoritmos de evasión funcionan mediante transformaciones lineales. Se determina una rapidez y velocidad angular “normalizadas” en los rangos  $[0, 1]$  y  $[-0.5, 0.5]$  respectivamente a partir de los estímulos obtenidos de los sensores. Luego, estas se transforman linealmente al rango de operación del robot, dado por los parámetros  $v_{min}$ ,  $v_{max}$  y  $\omega_{max}$ . De este modo, la salida del controlador es un par  $(v, \omega)$  tal que  $v \in [v_{min}, v_{max}]$  y  $\omega \in [-\omega_{max}, \omega_{max}]$ .

El funcionamiento de los algoritmos mixtos es algo diferente, pues se debe definir también un estímulo para el comportamiento de dirigirse hacia el objetivo. Para esto se define un radio del robot  $r_R$ , y los puntos  $\vec{u}_r$   $\vec{u}_l$  a la derecha e izquierda del centro del robot. Estos son perpendiculares a la dirección del robot  $\theta$  y se encuentran a una distancia  $r_R$  del centro. La distancia  $(d_r, d_l)$  medida desde cada uno de estos puntos al objetivo será la base del estímulo de “cercanía”.

$$\begin{pmatrix} x_{left} \\ y_{left} \end{pmatrix} = \begin{pmatrix} x_r \\ y_r \end{pmatrix} + r_{ROB} \begin{pmatrix} \cos(\theta + \frac{\pi}{2}) \\ \sin(\theta + \frac{\pi}{2}) \end{pmatrix} \quad (3.2)$$



**Algoritmo 3.3:** Evasión con vehículo 2b**Entrada:** Estímulos  $s_l$  y  $s_r$ **Salida:** Acción de control  $v, \omega$ **Parámetros:**  $D_{\min}, D_{\max}, V_{\min}, V_{\max}, W_{\max}$ .

---

```

1 funcion Evasion2b(s_l, s_r):
2     v_izq = Map(s_r, D_MIN, D_MAX, 0, 1)
3     v_der = Map(s_l, D_MIN, D_MAX, 0, 1)
4
5     v_norm = (v_der + v_izq)/2
6     w_norm = (v_der - v_izq)/2
7
8     v = Map(v, 0, 1, V_MIN, V_MAX)
9     w = Map(w, -0.5, 0.5, -W_MAX, W_MAX)
10
11     retornar v, w

```

---

**Algoritmo 3.4:** Evasión con vehículo 3a**Entrada:** Lectura de los sensores  $s_l$  y  $s_r$ **Salida:** Acción de control  $v, \omega$ **Parámetros:**  $D_{\min}, D_{\max}, V_{\min}, V_{\max}, W_{\max}$ .

---

```

1 funcion Evasion3a(s_l, s_r):
2     v_izq = Map(s_l, D_MIN, D_MAX, 1, 0)
3     v_der = Map(s_r, D_MIN, D_MAX, 1, 0)
4
5     v_norm = (v_der + v_izq)/2
6     w_norm = (v_der - v_izq)/2
7
8     v = Map(v, 0, 1, V_MIN, V_MAX)
9     w = Map(w, -0.5, 0.5, -W_MAX, W_MAX)
10
11     return v, w

```

---

$$\begin{pmatrix} x_{right} \\ y_{right} \end{pmatrix} = \begin{pmatrix} x_r \\ y_r \end{pmatrix} + r_{ROB} \begin{pmatrix} \cos(\theta - \frac{\pi}{2}) \\ \sin(\theta - \frac{\pi}{2}) \end{pmatrix} \quad (3.3)$$

El algoritmo 3.5 usa una combinación de la evasión por 2b y seguimiento 3a. Para calcular el estímulo de seguimiento se define una cercanía proporcional al inverso de la distancia al objetivo para cada lado, según lo que se mencionó. para que el efecto se mantenga aún a distancias muy lejanas se acotan estos valores. Si la distancia del lado más alejado es mayor que  $2 \cdot r_{ROB}$  entonces se resta la diferencia a ambas distancias. A partir de la cercanía se calcula la velocidad normalizada para el algoritmo 3a, y luego se suman las respuestas de evasión y seguimiento, para obtener la respuesta final del robot. Un proceso análogo se sigue en el algoritmo 3.6

### 3.2.1. Elección de parámetros

Este controlador resultó muy fácil de parametrizar, tiene muy pocos parámetros y la mayoría simplemente son características físicas del robot. Los siguientes son algunos consejos para sintonizar los parámetros que quedan a criterio del usuario:

- D\_MIN y D\_MAX se pueden elegir según las limitaciones de distancia máxima y mínima de los sensores que use el robot. Sin embargo, también puede ayudar al desempeño limitarlos un poco más, en especial D\_MAX si la distancia máxima del sensor es muy grande, de modo que el robot solo considere los obstáculos más cercanos.
- El rango de visión alpha no debe ser muy angosto ni demasiado amplio, un valor de  $30^\circ$  ( $\frac{\pi}{6}$  rad) funciona bien.
- Los parámetros V\_MIN y V\_MAX afectan la velocidad promedio del robot. En las pruebas realizadas se observó que el principal limitante para el algortimo mixto 2b3a era V\_MAX, el robot tendía a desplazarse a una velocidad cercana la mayor parte del tiempo. Además, aumentar el valor de V\_MIN podía aumentar también la velocidad promedio (aunque en menor medida), principalmente en ambientes con gran cantidad de obstáculos, mas con la desventaja de que el robot vira hacia los espacios libres más lentamente. Por esta razón se recomienda que V\_MIN sea un valor cercano a cero.
- Probablemente el parámetro que más efecto tiene sobre el comportamiento del robot es el modo de sensado s\_mode, la elección depende enteramente de la naturaleza de los datos que provee el sensor. El modo que dio mejores resultados para el sensor Lidar usado en las simulaciones fue SMODE\_FULLL, con un valor de MIN\_READ tal que fuera aproximadamente el máximo número de mediciones posibles según la resolución del sensor, tomando en cuenta alpha.

**Algoritmo 3.5:** Evasión con vehículo 2b y seguimiento con vehículo 3a.

---

**Entrada:** Lectura de los sensores  $s_l$ ,  $s_r$ , postura del robot  $(x_r, y_r, \theta_r)$ , posición del objetivo  $(x_t, y_t)$  y radio del robot  $R_{ROB}$

**Salida:** Acción de control  $v, \omega$

**Parámetros:**  $D_{MIN}$ ,  $D_{MAX}$ ,  $V_{MIN}$ ,  $V_{MAX}$ ,  $W_{MAX}$ ,  $R_{ROB}$ .

---

```

1  funcion Mixta2b3a(s_l, s_r, x_r, y_r, cita, x_t, y_t):
2
3      calcular las velocidades normalizadas para la respuesta de
         evasión
4      v_izq_eva = Map(s_r, D_MIN, D_MAX, 0, 1)
5      v_der_eva = Map(s_l, D_MIN, D_MAX, 0, 1)
6
7
8      calcular las distancias d_l y d_r a partir de las ecuaciones
         (3.2) y (3.3)
9      d_max = 2*r_ROB
10     si d_l o d_r > d_max entonces:
11         dif = máximo(d_l, d_r) - d_max
12         d_l = d_l - dif
13         d_r = d_r - dif
14     fin si
15
16     stim_l = r_ROB/d_l
17     stim_r = r_ROB/d_r
18
19     v_izq_seg = Map(s_l, D_MIN, D_MAX, 1, 0)
20     v_der_seg = Map(s_r, D_MIN, D_MAX, 1, 0)
21
22     ratio = 0.8
23     v_izq = ratio*v_izq_eva + (1-ratio)*v_izq_seg
24     v_der = ratio*v_der_eva + (1-ratio)*v_der_seg
25
26     v_norm = (v_der + v_izq)/2
27     w_norm = (v_der - v_izq)/2
28
29     v = Map(v, 0, 1, V_MIN, V_MAX)
30     w = Map(w, -0.5, 0.5, -W_MAX, W_MAX)
31
32     return v, w

```

---

**Algoritmo 3.6:** Evasión con vehículo 3a y seguimiento con vehículo 2b.

---

**Entrada:** Lectura de los sensores  $s_l$ ,  $s_r$ , postura del robot  $(x_r, y_r, \theta_r)$ , posición del objetivo  $(x_t, y_t)$  y radio del robot  $R_{ROB}$

**Salida:** Acción de control  $v, \omega$

**Parámetros:**  $D_{MIN}$ ,  $D_{MAX}$ ,  $V_{MIN}$ ,  $V_{MAX}$ ,  $W_{MAX}$ ,  $R_{ROB}$ .

---

```

1  funcion Mixta3a2b(s_l, s_r, x_r, y_r, cita, x_t, y_t):
2
3      calcular las velocidades normalizadas para la respuesta de
        evasión
4      v_izq_eva = Map(s_l, D_MIN, D_MAX, 1, 0)
5      v_der_eva = Map(s_r, D_MIN, D_MAX, 1, 0)
6
7
8      calcular las distancias d_l y d_r a partir de las ecuaciones
        (3.2) y (3.3)
9      d_max = 2*r_ROB
10     si d_l o d_r > d_max entonces:
11         dif = máximo(d_l, d_r) - d_max
12         d_l = d_l - dif
13         d_r = d_r - dif
14     fin si
15
16     stim_l = r_ROB/d_l
17     stim_r = r_ROB/d_r
18
19     v_izq_seg = Map(s_l, D_MIN, D_MAX, 0, 1)
20     v_der_seg = Map(s_r, D_MIN, D_MAX, 0, 1)
21
22     ratio = 0.8
23     v_izq = ratio*v_izq_eva + (1-ratio)*v_izq_seg
24     v_der = ratio*v_der_eva + (1-ratio)*v_der_seg
25
26     v_norm = (v_der + v_izq)/2
27     w_norm = (v_der - v_izq)/2
28
29     v = Map(v, 0, 1, V_MIN, V_MAX)
30     w = Map(w, -0.5, 0.5, -W_MAX, W_MAX)
31
32     return v, w

```

---

### 3.3. Algoritmo VFH

El algoritmo VFH se implementó mediante el módulo `VFH.py` que contiene la clase `VFHModel`. La implementación se hizo con base en la teoría desarrollada en la sección 2.4.2. Las constantes definidas como parámetros del módulo en la implementación se indican en la tabla 3.3. La clase `VFHModel` utiliza las variables miembro que se indican en la tabla 3.4. Las estructuras de datos más importantes de la clase son: `obstacle_grid`, `active_window`, `polar_hist`, `filt_polar_hist` y `valleys`. Estas son la representación de los datos que usa el modelo. Nótese que la ubicación del robot en la ventana activa no cambia, por lo que solo es necesario calcular las constantes  $\beta_{ij}$  y  $d_{ij}$  una única vez para cada celda, luego estas se pueden guardar en la misma estructura de datos.

Tabla 3.3: Parámetros de la implementación de VFH.

Nombre	Descripción
GRID_SIZE	Tamaño $n$ de la cuadrícula de certeza $n \times n$ .
RESOLUTION	Longitud del lado de cada celda de la cuadrícula en metros.
WINDOW_SIZE	Tamaño $w_s$ de la ventana activa que viaja con el robot.
WINDOW_CENTER	Índice del centro de la ventana.
ALPHA	Resolución $\alpha$ del histograma polar en grados.
HIST_SIZE	Cantidad de sectores en el histograma polar.
THRESH	Valor umbral $T$ que determina la detección de un pico o valle en el histograma polar.
WIDE_V	Cantidad de sectores que califican como un “valle ancho” o $s_{max}$ .
V_MAX	Rapidez máxima del robot en metros por segundo.
V_MIN	Rapidez mínima del robot en metros por segundo.
OMEGA_MAX	Velocidad angular máxima del robot en radianes por segundo.
D_max2	Cuadrado de la distancia máxima de una celda en la ventana activa según las ecuaciones (2.14) y (2.15).
B	Constante $b$ de la ecuación (2.14).
A	Constante $a$ de la ecuación (2.14).

El algoritmo 3.7 es una descripción de la implementación a muy alto nivel de todo el controlador VFH. Un detalle importante es que el cálculo de la dirección a partir del valle más cercano para valles anchos difiere ligeramente del planteo original, y se asemeja más bien a las direcciones candidato que se exponen en VFH+. Esto se debe a que para valles muy anchos se tendía a seleccionar direcciones muy alejadas, pues efectivamente la mitad del sector se podría encontrar completamente al lado contrario de la dirección del objetivo. Esto se daba en varias situaciones muy comunes, como cuando solo hay un obstáculo pequeño en la cercanía del robot.

**Algoritmo 3.7:** Algoritmo de evasión VFH implementado.

---

**Entrada:** Lectura de los sensores , postura del robot, posición del objetivo.

**Salida:** Acción de control  $v, \theta$

**Parámetros:** Ver tabla 3.3.

---

```

1  Iniciar con todas las estructuras en cero:
2  Calcular constantes  $\beta_{ij}$  y  $d_{ij}$  de las ecuaciones (2.13) y (2.14), para cada
   celda (i,j) de la ventana activa
3
4  Mientras no se haya alcanzado el objetivo hacer:
5      Actualizar la posición actual.
6      Leer los datos de los sensores.
7      Para cada lectura aumentar el valor de la celda i,j correspondiente
        de obstacle_grid
8      Para cada celda de la ventana activa calcular  $m_{ij}$  según la ecuación
        (2.14).
9      Actualizar el histograma polar según las ecuaciones (2.16) y (2.17).
10     Actualizar el histograma polar filtrado según la ecuación (2.18)
11     Determinar los valles a partir de  $s_{max}$ .
12
13     Si hay un objetivo entonces:
14         Calcular la dirección del objetivo t_dir
15     Si no:
16         t_dir = dirección actual
17     Fin si
18
19     Obtener el valle v_dir más cercano a t_dir.
20     Si v_dir es un valle angosto ( $> s_{max}$ ) entonces:
21         Calcular la nueva dirección  $\theta_o$  según ecuación (2.19)
22     Si no, si t_dir está dentro del valle entonces:
23          $\theta_o = t\_dir$ 
24     Si no:
25         s = sector de v_dir más cercano a t_dir
26         Si s es el borde izquierdo entonces:
27              $\theta_o = \alpha \cdot (s - s_{max}) / 2$ 
28         Si no:
29              $\theta_o = \alpha \cdot (s + s_{max}) / 2$ 
30         Fin si
31     Fin si
32
33     Calcular la velocidad  $v_o$  según las ecuaciones (2.20) y (2.21)
34     Pasar la acción de control ( $v_o, \theta_o$ ) al controlador de los motores.
35 Fin mientras

```

---

Tabla 3.4: Variables miembro de la clase VFHModel.

Nombre	Descripción
x_0	Posición absoluta del robot sobre el eje x (en metros).
y_0	Posición absoluta del robot sobre el eje y (en metros).
cita	Orientación absoluta del robot $\theta$ respecto al eje z (en grados).
obstacle_grid	Arreglo bidimensional que representa la cuadrícula de certeza $C$ .
active_window	Arreglo bidimensional que representa la ventana activa $C^*$ .
polar_hist	Arreglo que representa el histograma polar $H$ .
filt_polar_hist	Arreglo que representa el histograma polar filtrado $H'$ .
valleys	Lista de valles candidatos, cada valle es un par de sectores $(s_1, s_2)$ que indican respectivamente el inicio y el final del valle en sentido horario.
i_0	Índice en la cuadrícula de certeza correspondiente a x_0.
j_0	Índice en la cuadrícula de certeza correspondiente a y_0.
k_0	Sector en el histograma polar correspondiente a cita.
target	Punto $(x, y)$ objetivo, o None si no se está siguiendo una trayectoria.

### 3.3.1. Elección de parámetros

El proceso de elección de parámetros fue bastante largo para este algoritmo. En la publicación original apenas se menciona de forma general el efecto de los parámetros, y solo hacen descripciones muy generales de algunos de los valores que fueron usados. En la investigación realizada, no se encontró ninguna publicación científica que describiera algún método para escoger los parámetros del controlador.

Así, fue necesario seguir una metodología de observación, prueba y error. De especial importancia fue el ajuste del valor de umbral para picos y valles THRESH. Éste se hizo observando diferentes histogramas producidos a partir de datos tanto fabricados directamente desde el ambiente de programación, como obtenidos de las simulaciones. Este algoritmo fue el que requirió más tiempo para ajustar sus parámetros antes de obtener el funcionamiento que se expone en los resultados del proyecto. Parte de esto se debe a que muchos de los parámetros no tienen un “significado o interpretación física” obvia, por lo que no hay forma de hacer un primer estimado confiable del valor que deberían tener varios de los parámetros. Por esta razón, y como se verá más adelante por el desempeño de los algoritmos, se recomienda usar VFH+ en la mayoría de casos.

A continuación algunos consejos:

- Ajustar RESOLUTION tal que sea del orden de magnitud del radio del robot (o más).
- WINDOW\_SIZE se recomiendan valores no mayores a 30 (dependiendo de RESOLUTION), pues tener un rango de visión muy “largo” puede confundir al robot a la hora de detectar valles, especialmente si hay “interferencia” de obstáculos muy lejanos.
- Los valores de los parámetros A, B, D\_max2 y THRESH están íntimamente relacionados entre sí. Hay que recordar que D\_max2 se define a partir de RESOLUTION y WINDOW\_SIZE, y que A se define

en términos de B y D\_max2, es decir que solo es necesario ajustar B y THRESH.

- Ajustar B y THRESH de manera conjunta. En general un B mayor disminuye el efecto de las celdas más lejanas, pero aumenta los valores absolutos de densidad que se observan en el histograma polar filtrado.
- En general, los consejos de ajuste para VFH+ dados en la sección 3.4.1 para los parámetros que comparten ambos algoritmos son válidos, aunque la correlación con las características físicas del robot y los sensores no parece ser tan directa.

### 3.4. Algoritmo VFH+

El algoritmo VFH+ comparte muchas similitudes en su interfaz con el VFH, como es de esperar. El controlador se implementó en el módulo VFHP.py, mediante la clase VFHPModel. La tabla 3.5 indica los parámetros del módulo, mientras la tabla 3.6 indica los miembros de la clase VFHPModel. A pesar de tener más parámetros que el controlador VFH, estos tienen un significado físico más obvio. El algoritmo 3.8 resume la implementación a alto nivel.

La implementación se hizo en base a la teoría y las ecuaciones descritas en la sección 2.4.3, con algunas modificaciones.

La descripción del algoritmo hecha en [?] no hace mención alguna al cálculo de la velocidad. Solo se menciona que si el histograma polar mascarado se encuentra totalmente bloqueado, es necesario disminuir la velocidad. Así, se decidió implementar el control de la velocidad a partir de la misma función de costo que se usa para seleccionar la dirección, ecuación (2.39). Nótese que la máxima diferencia entre cualesquiera dos ángulos es  $180^\circ$ , por lo que esta función tiene un valor máximo fácil de determinar, ecuación (3.4). La velocidad de control se obtiene según la ecuación (3.5), a partir del costo  $c_{dir}$  de la dirección seleccionada.

$$c_{max} = 180^\circ \cdot (\mu_1 + \mu_2 + \mu_3) \quad (3.4)$$

$$V = V_{max} \left( 1 - \frac{c_{dir}}{c_{max}} \right) + V_{min} \quad (3.5)$$

#### 3.4.1. Elección de parámetros

La elección de parámetros se hizo mediante prueba y error, observando el comportamiento del robot durante las simulaciones. Esto debido a que no se contaba con una fuente confiable que describiera una metodología formal de cómo parametrizar el controlador. Si bien los parámetros de VFH+ parecen tener un relación más directa con elementos físicos reales del robot y su ambiente en comparación a VFH, fue necesario un tiempo considerable para ajustar los parámetros y obtener el funcionamiento que se presenta en los resultados del trabajo.

Durante este proceso, se establecieron algunas relaciones que podrían ayudar de forma general al ajuste del controlador en diferentes situaciones, los siguientes son consejos prácticos obtenidos de esta experiencia. Se recomienda seguir este orden al hacer la sintonización de parámetros.



**Algoritmo 3.8:** Algoritmo de evasión VFH+ implementado.

---

**Entrada:** Lectura de los sensores , postura del robot, posición del objetivo, radios de giro.

**Salida:** Acción de control  $(v, \theta)$

**Parámetros:** Ver tabla 3.5.

---

```

1  Iniciar con todas las estructuras en cero:
2  Calcular constantes  $\beta_{ij}$ ,  $d_{ij}$  y  $\gamma_{ij}$  de las ecuaciones (2.13), (2.14) y (2.24),
   para cada celda (i,j) de la ventana activa
3
4  Mientras no se haya alcanzado el objetivo hacer:
5      Actualizar la posición actual.
6      Leer los datos de los sensores.
7      Para cada lectura aumentar el valor de la celda i,j correspondiente
        de obstacle_grid
8      Para cada celda de la ventana activa calcular  $m_{ij}$  según la ecuación
        (2.14).
9      Actualizar el histograma polar según la ecuación (2.25) y (2.26).
10     Actualizar el histograma polar binario según la ecuación (2.27).
11     Actualizar el histograma polar mascarado según la ecuación (2.34) y
        el algoritmo 2.4.
12     Determinar los valles a partir de  $s_{max}$ .
13
14     Si hay un objetivo entonces:
15         Calcular la dirección del objetivo t_dir
16     Si no:
17         t_dir = dirección actual
18     Fin si
19
20     Determinar las direcciones candidatas, ecuaciones (2.35), (2.36),
        (2.37) y (2.38).
21     Determinar la dirección de menor costo, ecuación (2.39).
22     Calcular la velocidad según la ecuación (3.5).
23     Pasar la acción de control  $(v, \theta)$  al controlador de los motores.
24 Fin mientras

```

---

Tabla 3.5: Parámetros de la implementación de VFH+.

Nombre	Descripción
GRID_SIZE	Tamaño $n$ de la cuadrícula de certeza $n \times n$ .
C_MAX	Valor máximo de certeza para cada celda de $C$ .
RESOLUTION	Longitud del lado de cada celda de la cuadrícula en metros.
WINDOW_SIZE	Tamaño $w_s$ de la ventana activa que viaja con el robot.
WINDOW_CENTER	Índice del centro de la ventana.
ALPHA	Resolución $\alpha$ del histograma polar en grados.
HIST_SIZE	Cantidad de sectores en el histograma polar.
D_max2	Cuadrado de la distancia máxima de una celda en la ventana activa según las ecuaciones (2.14) y (2.15).
B	Constante $b$ de la ecuación (2.14).
A	Constante $a$ de la ecuación (2.14).
R_ROB	Radio del robot.
D_S	Distancia mínima de obstáculo.
T_LO	Valor de umbral, límite inferior de histéresis.
T_HI	Valor de umbral, límite superior de histéresis.
WIDE_V	Cantidad de sectores que califican como un “valle ancho” o $s_{max}$ .
V_MAX	Rapidez máxima del robot en metros por segundo.
V_MIN	Rapidez mínima del robot en metros por segundo.
mu1	Constante $\mu_1$ de la ecuación (2.39).
mu2	Constante $\mu_2$ de la ecuación (2.39).
mu3	Constante $\mu_3$ de la ecuación (2.39).
MAX_COST	Costo máximo de la ecuación (2.39).

- Ajustar RESOLUTION tal que sea del orden del radio del robot. También se puede tomar en cuenta la resolución de los sensores, las celdas no deberían tener un tamaño mucho menor que la resolución de los sensores, pues podría darse una situación en la que celdas que parecen estar libres en realidad están ocupadas.
- GRID\_SIZE debe ser lo suficientemente grande como para abarcar todo el espacio que se espera que el robot recorra (tomando en cuenta el valor de RESOLUTION). Este parámetro no tiene mayor impacto en el tiempo de ejecución del algoritmo.
- WINDOW\_SIZE depende de la aplicación, la densidad esperada de obstáculos y la capacidad de procesamiento del robot. En general un número entre 15 y 35 suele funcionar bien. Si la densidad de obstáculos es muy alta puede ser conveniente reducir el tamaño o hacer la resolución más fina.
- C\_MAX dependerá de la frecuencia de muestreo de los sensores y la confiabilidad de las mediciones. Si las mediciones son muy confiables y/o el tiempo entre mediciones es muy grande, se

Tabla 3.6: Variables miembro de la clase VFHPModel.

Nombre	Descripción
x_0	Posición absoluta del robot sobre el eje x (en metros).
y_0	Posición absoluta del robot sobre el eje y (en metros).
cita	Orientación absoluta del robot $\theta$ respecto al eje z (en grados).
obstacle_grid	Arreglo bidimensional que representa la cuadrícula de certeza $C$ .
active_window	Arreglo bidimensional que representa la ventana activa $C_a$ .
polar_hist	Arreglo que representa el histograma polar $H^p$ .
bin_polar_hist	Arreglo que representa el histograma polar binario $H^b$ .
masked_polar_hist	Arreglo que representa el histograma polar mascarado $H^m$ .
valleys	Lista de valles candidatos, cada valle es un par de sectores ( $s_1, s_2$ ) que indican respectivamente el inicio y el final del valle en sentido horario.
i_0	Índice en la cuadrícula de certeza correspondiente a x_0.
j_0	Índice en la cuadrícula de certeza correspondiente a y_0.
k_0	Sector en el histograma polar correspondiente a cita.
target	Punto (x, y) objetivo, o None si no se está siguiendo una trayectoria.
prev_dir	Última dirección de control.
prev_cost	Costo de la última dirección de control.

puede bajar el valor de esta constante. Si por otro lado las mediciones tienen una gran varianza o incertidumbre se recomienda aumentar este valor, para compensar por posibles mediciones erróneas. Se recomiendan valores mayores a 15.

- Para la resolución angular ALPHA de los histogramas se recomienda un valor entre  $15^\circ$  y  $5^\circ$ , nuevamente esto depende principalmente de la resolución de los sensores, y la densidad esperada de obstáculos.
- El valor de WIDE\_V debería definirse en términos de HIST\_SIZE, se recomienda un valor cercano a  $90^\circ$  ( $HIST\_SIZE/4$ ). Valores mayores tienden a hacer que el robot mantenga una distancia mayor al rodear los obstáculos.
- Los valores de los parámetros A, B, D\_max2, T\_LO y T\_HI están íntimamente relacionados entre sí. Hay que recordar que D\_max2 se define a partir de RESOLUTION y WINDOW\_SIZE, y que A se define en términos de B y D\_max2, es decir que solo es necesario parametrizar B, T\_LO y T\_HI.
- La forma más confiable de asegurar la elección de estos valores es empíricamente, graficando el histograma polar en diferentes situaciones y ajustando los valores respecto a los valles y picos observados, tomando en cuenta el obstáculo del cual resultó cada pico. Sin embargo, se puede seguir el siguiente procedimiento como punto de partida.

- En general B se comporta como una pendiente que relaciona inversamente la magnitud de los vectores de obstáculo de la ventana activa con la distancia al robot. Entre mayor sea el valor de B, menor será la magnitud en las celdas más lejanas.
- Una vez determinados A y B se puede proceder a establecer los valores de umbral con histéresis, destacando que la magnitud máxima de cada celda varía en el rango  $[c_{max}^2, a \cdot c_{max}^2]$  según su distancia al robot. Se recomienda un valor de T\_LO mayor a  $a \cdot c_{max}^2$  y que la diferencia entre T\_LO y T\_HI sea mayor a  $c_{max}^2$ .
- Finalmente, D\_S afecta la distancia que el robot mantiene con los obstáculos, pero además tiene el efecto de suavizar el histograma polar. Se recomienda elegir un valor mayor al radio del robot, en general un valor del doble del radio del robot funciona bien.
- Las constantes de la ecuación de costo deben elegirse tal que  $\mu_1 > \mu_2 + \mu_3$ .

## Simulación de los algoritmos implementados

### 4.1. Software de simulación V-REP

V-REP es un software de simulación de robots con un ambiente de desarrollo integrado, desarrollado por Coppelia Robotics. Se ofrece como una alternativa flexible, portable y escalable a otras plataformas de simulación similares (como Gazebo, Open HRP y Webots). Provee al usuario de varias técnicas de programación para controlar los robots, además permite mezclarlas en una misma simulación, y permite al usuario ejecutar código de manera síncrona o asíncrona a la simulación según requiera la aplicación [?].

Algunas de las funciones y características de V-REP según se indican en el manual de usuario ([?]) son:

- Multiplataforma (Windows, MacOS, Linux).
- Soporta 6 enfoques de programación: scripts incrustados, *plugins*, *add-ons*, nodos ROS, APIs de clientes remotos o soluciones personalizadas.
- Siete lenguajes de programación: C/C++, Python, Java, Lua, Matlab, Octave o Urbi.
- Soporta cuatro diferentes motores físicos de simulación (*physics engines*): ODE, Bullet, Vortex y Newton.
- Cálculo completo de cinemática (directa e inversa).
- Detección de colisiones y obstáculos (*Meshes*, *octrees*, *point clouds*)
- Cálculo de distancia mínima entre *Meshes*, *octrees*, *point clouds*.
- Sensores de proximidad realistas.
- Registro y visualización de datos integrada.
- Navegador de modelos con función *drag and drop* y varios modelos predefinidos.

En [?] se presenta un estudio comparativo de diferentes herramientas de software que se usan para simular robots, entre ellas V-REP y otros simuladores como Gazebo, ARGoS, Webots, OpenRave, entre otros. Este estudio incluye una encuesta realizada a investigadores y profesores en el área de robótica de varias universidades del mundo. En esta encuesta V-REP obtuvo la calificación más positiva en cuanto a documentación, soporte y tutoriales disponibles. Además, obtuvo la calificación general más alta, y el 72 % de los encuestados que usan V-REP como herramienta principal de desarrollo indicaron que tomaron esta decisión por ser la mejor herramienta después de evaluar varias alternativas.

#### 4.1.1. Modelos de programación

Como se mencionó anteriormente V-REP permite usar hasta 6 técnicas diferentes de programación alrededor del motor de simulación.

1. *Script* embebido: escritos en Lua usando la API Regular. Este es el método “nativo” de V-REP, la mayoría de objetos del simulador tienen un script asociado. Es el método más sencillo de programación, permite modularizar fácilmente el control de un robot según la jerarquía de sus partes. Además se pueden usar para personalizar la escena e incluso la simulación en sí.
2. *Add-on*: escritos en Lua, pueden usar las funciones de la API Regular (con ciertas restricciones). Permiten extender la funcionalidad de V-REP con código escrito por el usuario. Su uso es más generico del simulador en sí, ya sea en forma de funciones o de scripts que se cargan automáticamente y corren en segundo plano.
3. *Plugins*: en general se usan para añadir funciones, pueden hacer uso de la API Regular ya sea en Lua o C/C++.
4. API de clientes remotos: permite enlazar aplicaciones externas directamente con V-REP mediante el uso de comandos de la API Remota, la cual está disponible en C/C++, Python, Java, Matlab, Octave, Lua y Urbi.
5. Nodo ROS: permite enlazar aplicaciones externas mediante el uso de la API de ROS.
6. Un cliente/servidor personalizados: V-REP permite hacer uso de *sockets* y *pipes*, esto en teoría permite enlazar con cualquier aplicación y cualquier lenguaje de programación, sin embargo es por mucho el método más complicado, en especial porque se debe implementar la forma de comunicación personalizada.

Para el desarrollo de este proyecto se hizo uso de la API Remota de Python y *scripts* embebidos. La Figura 4.1 muestra como los diferentes componentes del modelo de programación de V-REP se enlazan entre sí.

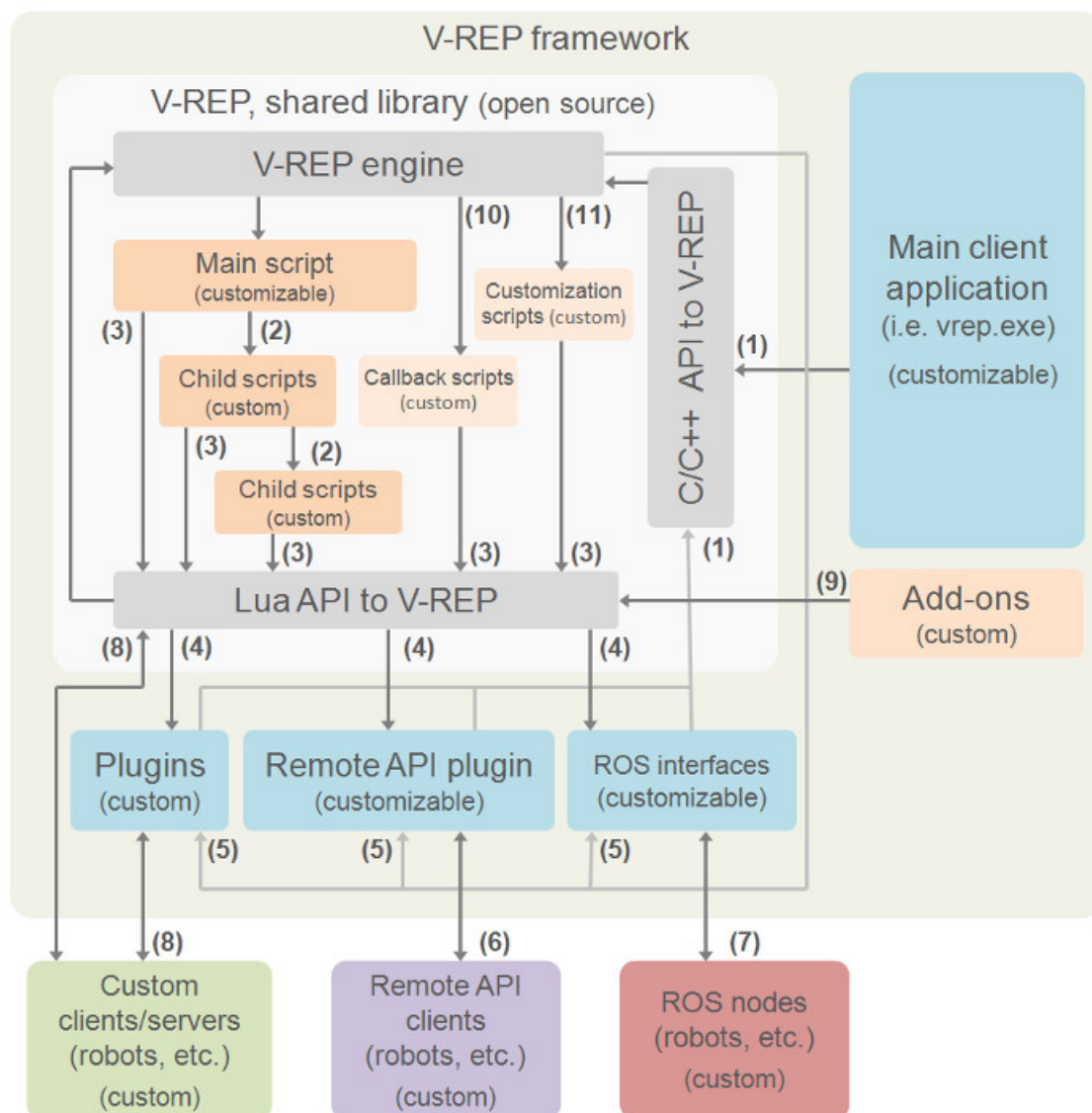


Figura 4.1: Infraestructura de V-REP, tomado de [?].

## 4.2. El robot e-Puck

Se usó el modelo del robot e-Puck que viene incluido en el simulador V-REP. Este es un robot diferencial de uso educativo, para más información se puede consultar el sitio web <http://www.e-puck.org/>. El robot tiene un diámetro de 75 mm, las ruedas tienen un diámetro de 41 mm y una separación de 53 mm [?]. La Figura 4.2 muestra un diagrama del robot y su apariencia en el simulador.

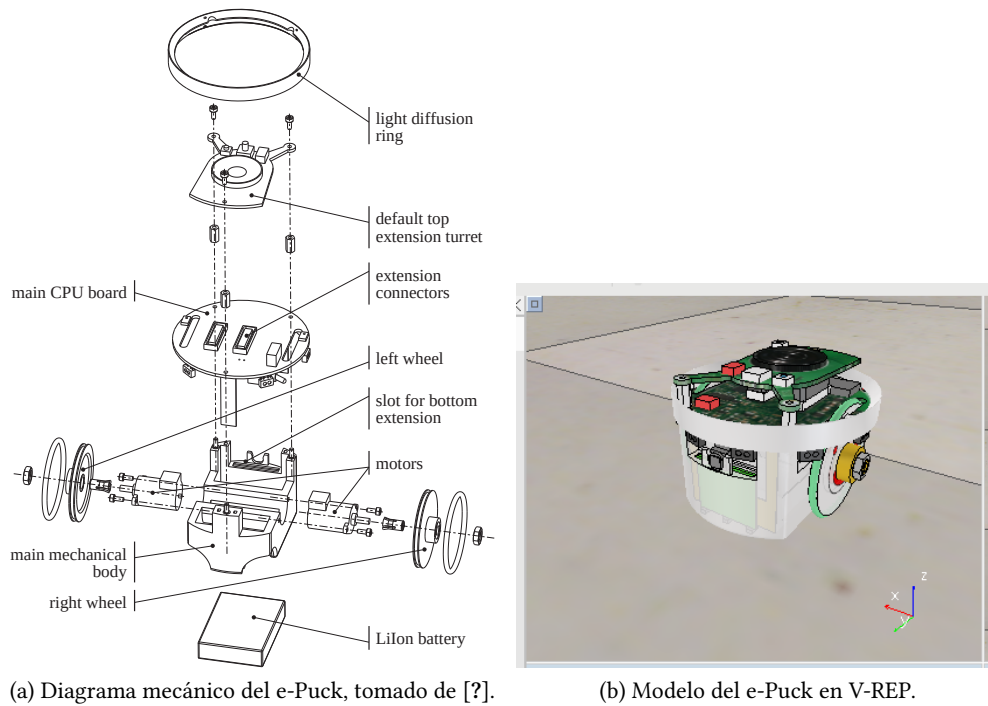


Figura 4.2: El robot diferencial e-Puck.

El e-Puck incluye varios sensores de ultrasonido para detección de obstáculos. Sin embargo se decidió agregar un sensor Hokuyo sobre la parte superior del robot. El Hokuyo es un sensor Lidar con un funcionamiento como el que se describe en la sección 2.3.2. El modelo del Hokuyo es parte de los modelos que incluye V-REP, además se hicieron algunas modificaciones al *script* de control.

Es necesario aclarar que el Hokuyo no se puede conectar físicamente a un e-Puck en la vida real. Sin embargo, como el propósito de usar el e-Puck es simplemente validar el funcionamiento de los algoritmos, esto se puede obviar para motivos de este trabajo. Una implementación real se podría hacer en alguna otra plataforma robótica que sí permita usar el Hokuyo. En este caso el sensor tiene mayor relevancia que el robot en sí, pues se supone que los algoritmos son generalizables a otros modelos de robots móviles.



### 4.3. Integración del simulador con los algoritmos implementados

La figura 4.3 muestra la jerarquía del sistema completo usado en las simulaciones. El *script* principal del robot está asociado a la base del modelo del e-Puck. Este script lo que hace es obtener *Object Handles* para las partes del robot, llamar al programa externo de Python `HokuyoRob.py` y pasarle los *handles* como argumento. Además, el modelo del Hokuyo se incluye como un objeto hijo del e-Puck. Este contiene su propio *script*, que hace un barrido sobre un sector angular de  $240^\circ$  y guarda los puntos detectados en un arreglo. Este arreglo está disponible al *script* principal (y por ende al programa externo) en forma de una señal. Los dos scripts son del tipo 1 mencionado anteriormente en la sección 4.1.1.

El programa externo `HokuyoRob.py` es un script de Python que se encarga de enlazar V-REP con los controladores descritos en el capítulo 3. Hace uso de la API externa de V-REP, es decir es del tipo 4 mencionado en la sección 4.1.1. El programa hace un control de entrada de datos para verificar que se hizo una conexión exitosa con el simulador y que cuenta con todos los *Object Handles* necesarios. Posteriormente inicializa variables y crea una instancia de la clase `DiffRobot` que modela el robot e-Puck. Luego el programa entra en el lazo principal de simulación. En este se lee el sensor Hokuyo y la posición del Robot, cada vez que hay datos nuevos estos se suministran a la clase `DiffRobot`. A su vez, esta clase contiene una instancia de los diferentes controladores de evasión de obstáculos. Internamente se ejecuta el control respectivo, se obtiene la velocidad requerida de los motores y se comunica a V-REP a través de las funciones de la API externa. La documentación completa de la API de Python se encuentra disponible en el sitio web de V-REP <http://www.coppeliarobotics.com/helpFiles/en/remoteApiFunctionsPython.htm>.

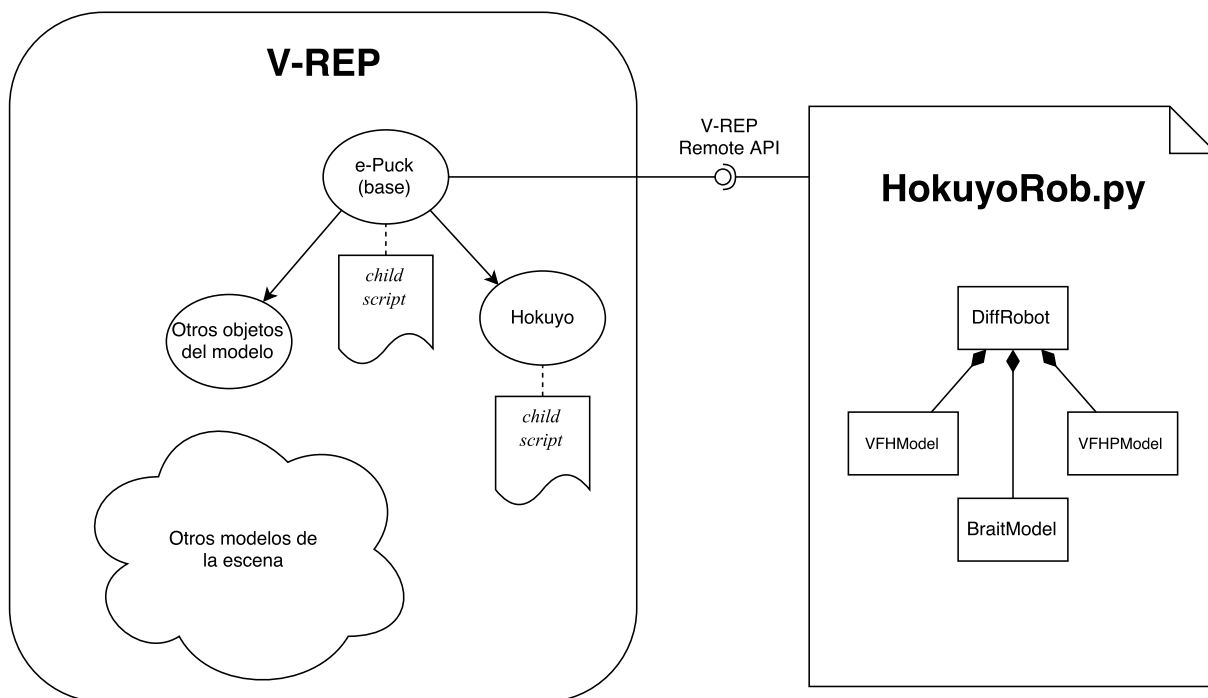


Figura 4.3: Estructura del sistema de simulado.

## 4.4. Cursos de obstáculos

Para validar los algoritmos se definieron tres entornos de prueba. Estos son:

1. Un obstáculo sencillo frente al robot.
2. Tres obstáculos sencillos frente al robot y ligeramente a ambos lados.
3. Obstáculos complejos en forma de “pasillo”.

La figura 4.4 muestra una vista aérea de los tres cursos. Además se hicieron dos pruebas por algoritmo, una prueba con seguimiento de un objetivo y otra sin seguimiento (movimiento “libre”). Se tomaron datos de la trayectoria seguida por el robot, la distancia recorrida y el tiempo en alcanzar el objetivo, para cada algoritmo, se usó un paso de integración de **25 ms**. Los parámetros usados en las pruebas se indican en el apéndice B. A continuación se presentan algunos resultados representativos.

## 4.5. Resultados Obtenidos

En esta sección se presentan resultados para las pruebas con seguimiento de trayectorias. Estas se prestan muy bien para comparar el desempeño de los algoritmos bajo los mismos requisitos (llegar de un punto A a un punto B). En las figuras que se encuentran más adelante, se indica el punto de partida en verde y la ubicación final del robot en rojo. Al robot se le ordena detenerse una vez se encuentre a una distancia menor a 30 mm del punto objetivo (recordar que el robot tiene un diámetro de 75 mm).

### 4.5.1. Pista 1

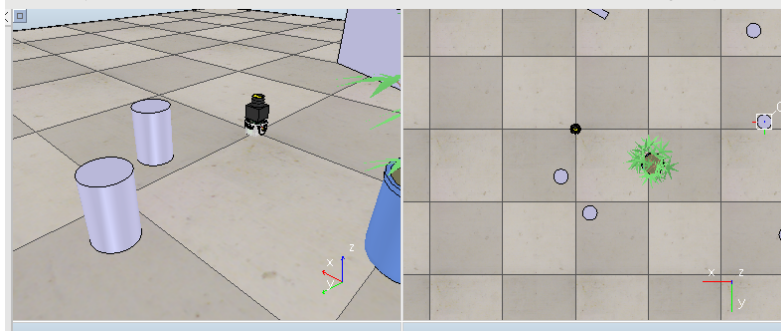
La figura 4.5a muestra la trayectoria seguida por el robot según el algoritmo usado. Por otro lado, la figura 4.5b gráfica la distancia al objetivo respecto al tiempo. Nótese que tanto para VFH como VFH+, el robot mantuvo una mayor distancia al obstáculo. Ambos algoritmos tomaron una ruta semicircular alrededor del cilindro que bloqueaba el camino del robot. Por otro lado, el algoritmo de Braitenberg tomó un camino apenas ligeramente curvo. En general el algoritmo de Braitenberg tiende a resultar en trayectorias más suaves.

En las primeras pruebas realizadas, el algoritmo de Braitenberg tuvo su peor comportamiento en esta pista, incluso llegando a rozar el obstáculo. Esto se puede explicar por el ambiente de simulación: el hecho de que el obstáculo se encuentra casi perfectamente alineado con el robot, además de tener un perímetro perfectamente circular. Por ésto y la forma en que se calculan los estímulos, estos tienden a tener valores casi idénticos, por lo que la diferencia entre ambos lados no es lo suficientemente significativa para hacer virar al robot hasta que este se encuentra casi tocando el cilindro. Sin embargo, al cambiar el modo de operación del sensor a `SMODE_FULL`, el desempeño mejoró hasta el mostrado en la figura 4.5b, superando a VFH y llegando a ser casi tan bueno como el VFH+.

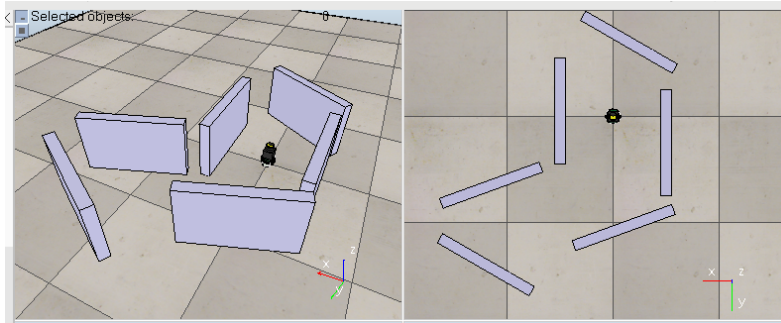
En esta pista se evidenció una de las mejoras de VFH+ respecto a VFH. Al iniciar la simulación, el Algoritmo VFH parece oscilar ligeramente entre evadir el obstáculo por la derecha o la izquierda. Al hacer esto el robot disminuye su velocidad considerablemente (pues aún tiene el obstáculo directamente



(a) Primera pista.

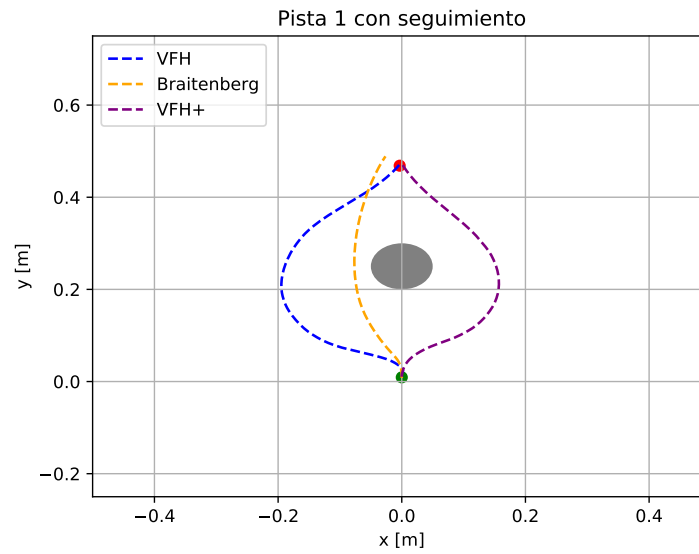


(b) Segunda pista.

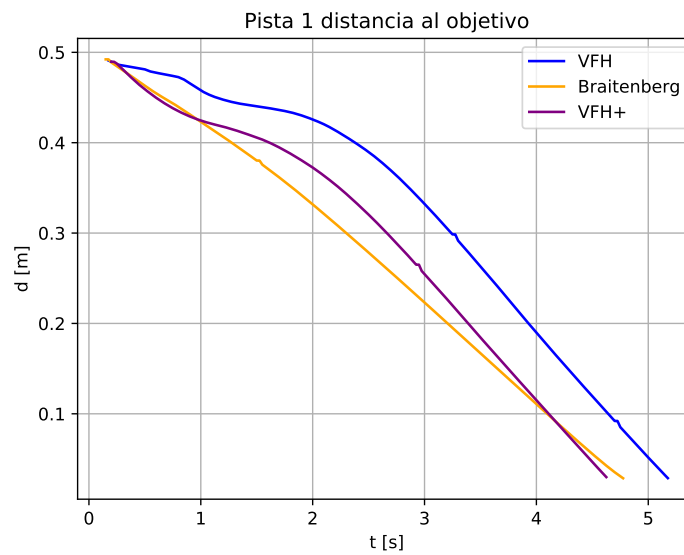


(c) Tercera pista.

Figura 4.4: Pistas de obstáculos usadas en la simulación.



(a) Trayectoria del robot, objetivo =  $(0, 0.5)$ . Círculo verde inicio, rojo objetivo.



(b) Distancia al objetivo respecto al tiempo.

Figura 4.5: Pista 1, resultados de simulación.

en frente), todo esto resulta en que le tome un tiempo empezar a acercarse al objetivo, como se ve alrededor de  $t = 1$  s en la figura 4.5b. Eventualmente el robot se decide por ir hacia la izquierda, y aumenta su velocidad. Esta “indecisión” a la hora de determinar la dirección del movimiento no se presenta en VFH+, gracias al uso de la función de costo. Recordando lo mencionado en la sección 2.4.3, hay un costo asociado a cambios respecto a la dirección seleccionada anteriormente. Esto hace que en situaciones como esta, en que hay dos direcciones que son casi igual de buenas, el robot no oscile entre las dos posibilidades y se “comprometa” a seguir una única dirección.

#### 4.5.2. Pista 2

La figura 4.6a muestra la trayectoria seguida por el robot, mientras la figura 4.6b muestra la distancia al objetivo. Nuevamente el algoritmo VFH+ tiene el mejor desempeño. Nótese además que el algoritmo VFH resulta en la trayectoria más segmentada y menos suave.

Además se evidencia como VFH+ tiene un mejor comportamiento respecto a obstáculos que se encuentran a mayor distancia. Es claro que VFH tarda más que VFH+ en notar el espacio libre entre los dos obstáculos más cercanos al objetivo. Esto se puede deber al efecto del ángulo de ensanchamiento en VFH+, que se reduce para celdas más alejadas del robot y cumple el rol del filtro que se aplica al histograma polar en el caso de VFH (filtro que no distingue cercanía de las celdas). VFH+ rápidamente mantiene una dirección circundante al obstáculo que se encuentra más cerca del robot.

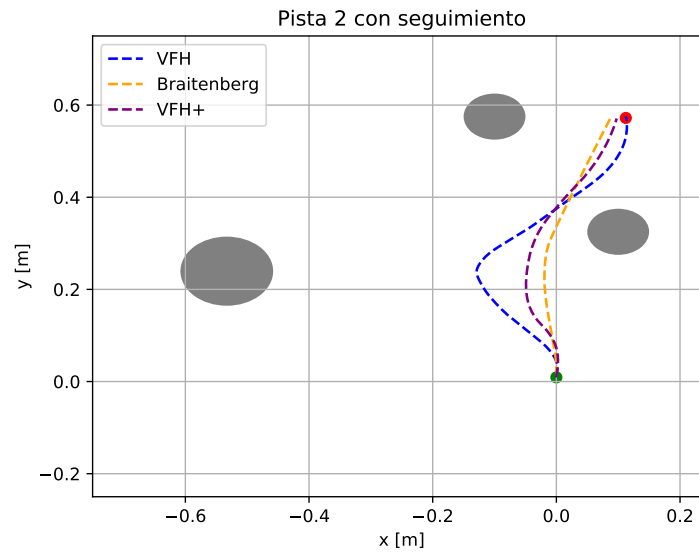
En cuanto al algoritmo de Braitenberg, se puede observar que nuevamente el robot sigue una trayectoria bastante directa al objetivo, con apenas unas pequeñas variaciones en la dirección del robot, y de hecho la trayectoria es bastante similar a la del algoritmo VFH+. El algoritmo de Braitenberg alcanza el objetivo en menos tiempo que el VFH, y pasa considerablemente más cerca de los obstáculos.

#### 4.5.3. Pista 3

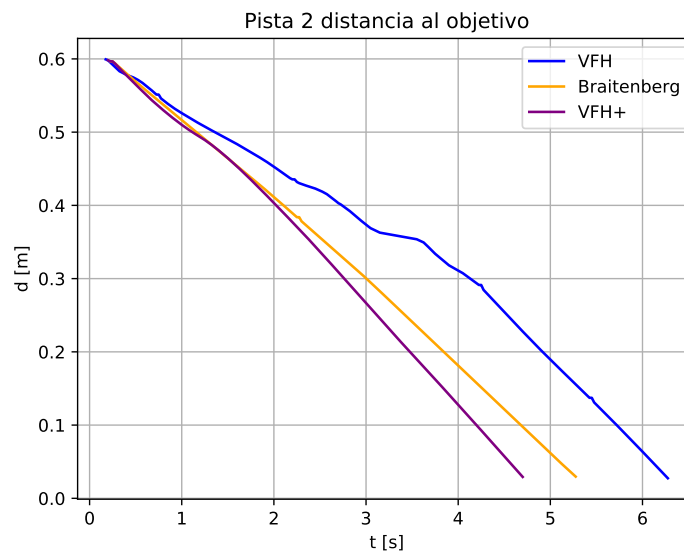
Esta es la pista con mayor densidad de obstáculos. En esta pista nuevamente VFH+ logró el menor tiempo de los tres algoritmos, y el algoritmo VFH logró llegar al objetivo más rápido que Braitenberg. Sin embargo, esta fue la pista en la que el algoritmo VFH tuvo mayores problemas, el robot se mantuvo peligrosamente cerca de una de las paredes. Durante el desarrollo de la investigación, esta pista evidenció la fragilidad del algoritmo VFH original, pues con tan solo aumentar ligeramente el tamaño de la ventana activa o cambiar en menos de un 10 % el valor de umbral de los valles, el algoritmo resulta en una ruta cíclica que no converge y queda encerrado dentro los obstáculos, incapaz de notar el pequeño espacio libre hacia el objetivo.

El problema de ajuste de parámetros no se dio con Braitenberg, siendo el caso que el robot llegó correctamente al objetivo desde la primer iteración de las pruebas. Además, modificar los parámetros tuvo poco efecto en la trayectoria general del robot, mas sí lo tuvo en el tiempo que tardó en llegar al objetivo. Al igual que en las pruebas anteriores, el algoritmo de Braitenberg resultó en una trayectoria poco curva. Una ventaja que quedó clara del algoritmo de Braitenberg, es que el robot parece responder mejor a la diferencia en distancia entre obstáculos en comparación al algoritmo VFH.

Por otro lado, el algoritmo VFH+ mostró un muy buen desempeño, manteniendo una velocidad alta a lo largo del trayecto y al mismo tiempo una distancia prudencial a los obstáculos en el camino.

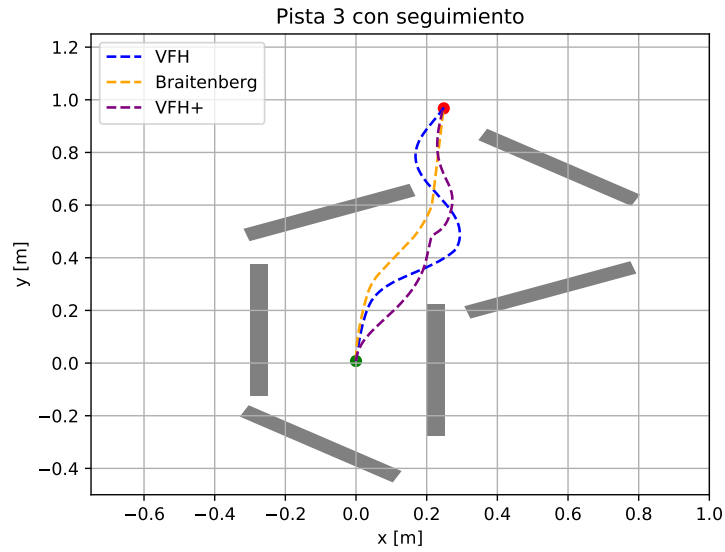


(a) Trayectoria del robot, objetivo = (0.1, 0.6). Círculo verde inicio, rojo objetivo.

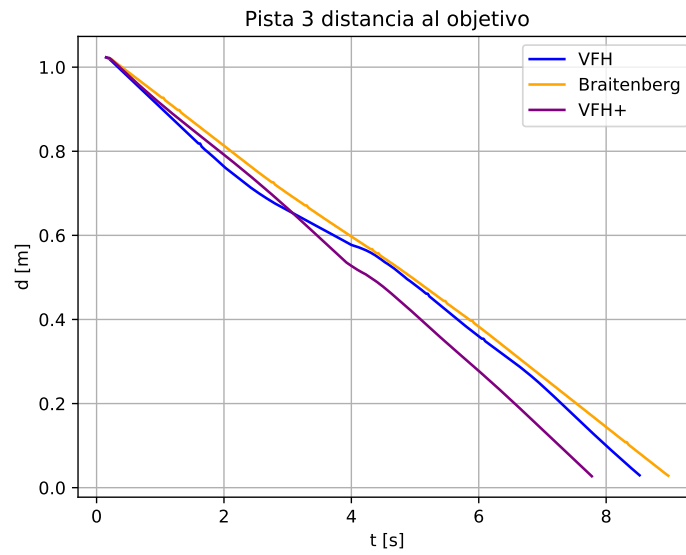


(b) Distancia al objetivo respecto al tiempo.

Figura 4.6: Pista 2, resultados de simulación.



(a) Trayectoria del robot, objetivo = (0.25, 1.0). Círculo verde inicio, rojo objetivo.



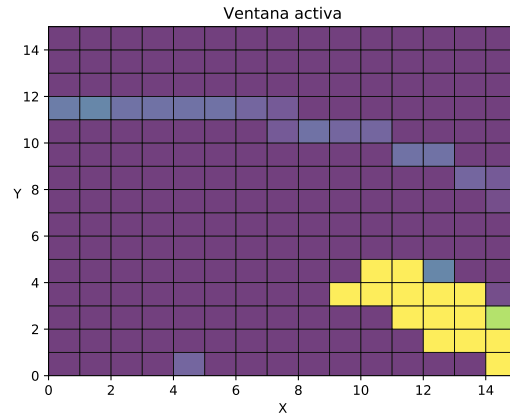
(b) Distancia al objetivo respecto al tiempo.

Figura 4.7: Pista 3, resultados de simulación.

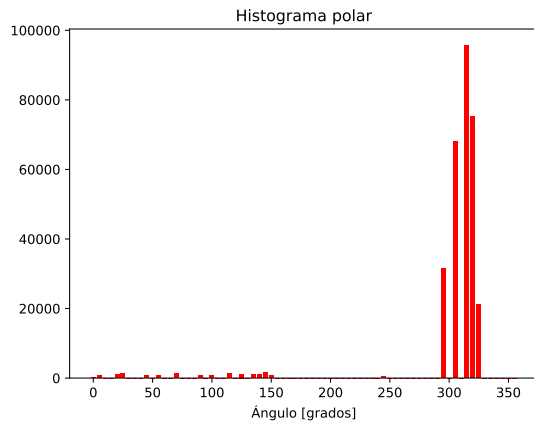


También, a pesar de que inicialmente la línea de visión del robot tiene obstáculos en casi todos los sectores en la dirección general del objetivo, el algoritmo no tuvo mayor problema en dirigirse hacia la dirección en la que no había obstáculos realmente cercanos al robot. VFH+ definitivamente mejora muchas de las carencias del algoritmo VFH original en este aspecto, además de que no requiere un ajuste tan minucioso de parámetros para lograr un desempeño consistentemente mejor al de un algoritmo más sencillo de implementar como el de Braitenberg.

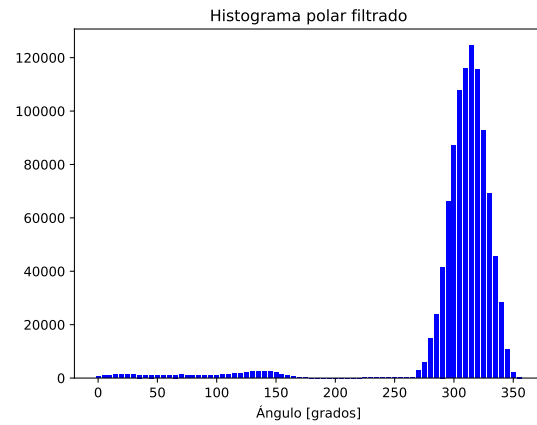
La figura 4.8 y la figura 4.9 muestran diagramas de los histogramas internos de los algoritmos VFH y VFH+ respectivamente. Nótese la forma en que ambos construyen una representación imperfecta de los obstáculos a su alrededor, sin embargo a pesar de esto logran la evasión. Una cosa que podrá notarse de estas imágenes es que en el algoritmo VFH+ se usó una ventana activa con más celdas, aunque también con un tamaño de celda ligeramente menor. Se podría pensar que VFH se beneficiaría de tener una ventana más grande, sin embargo este no es el caso. Esta es una diferencia clave en el desempeño de ambos algoritmos, pues por la forma de representar los obstáculos, VFH tiende a degradar su desempeño con ventanas muy grandes. En cambio, VFH+ suele manejar bien ventanas grandes, en especial por la forma en que las celdas más alejadas tienden a contribuir menos a la magnitud del vector de obstáculos en comparación a VFH.



(a) Ventana activa VFH.

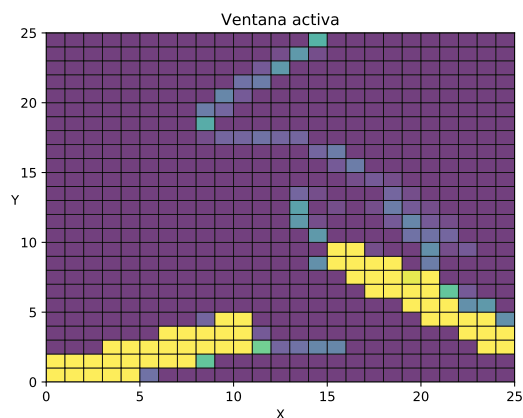


(b) Histograma polar VFH.

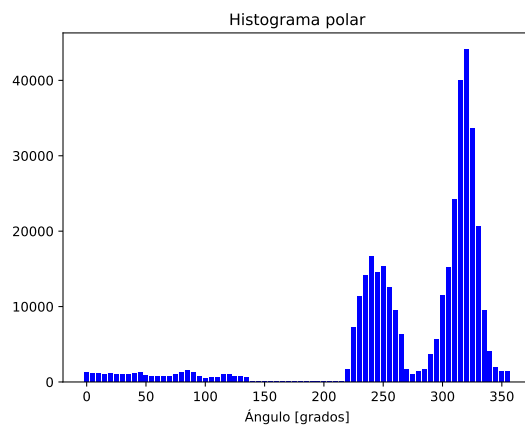


(c) Histograma polar filtrado VFH.

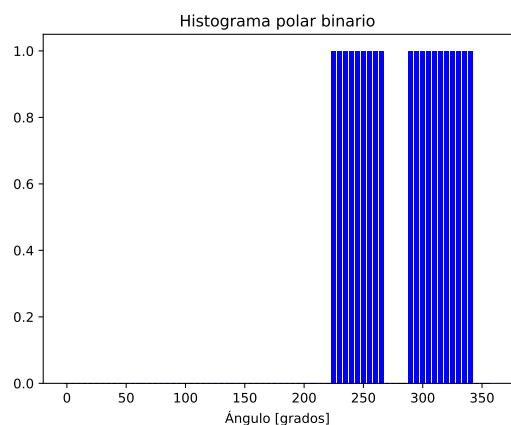
Figura 4.8: Pista 3, estado final del algoritmo VFH.



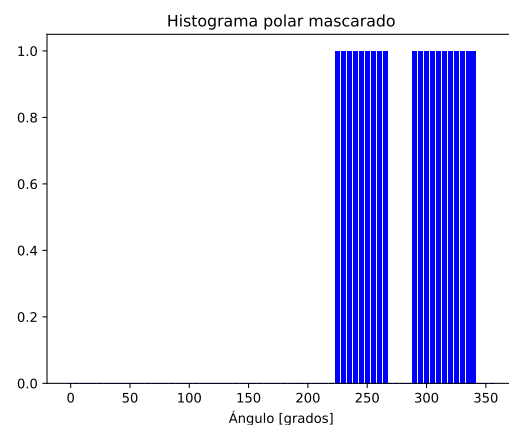
(a) Ventana activa VFH+.



(b) Histograma polar VFH+.



(c) Histograma polar binario VFH+.



(d) Histograma polar mascarado VFH+.

Figura 4.9: Pista 3, estado final del algoritmo VFH+.

#### 4.5.4. Análisis comparativo

Tabla 4.1: Comparación del desempeño de los algoritmos. El error se calculó con base en la distancia al objetivo.

Pista	Algoritmo	recorrido total [m]	tiempo [s]	IAE	ITAE
1	VFH	0.64	5.17	1.61	3.32
1	Brait	0.50	4.78	1.27	2.27
1	VFH+	0.58	4.62	1.31	2.43
2	VFH	0.70	6.28	2.11	5.14
2	Brait	0.58	5.28	1.63	3.26
2	VFH+	0.61	4.70	1.49	2.69
3	VFH	1.14	8.53	4.45	13.84
3	Brait	1.01	8.97	4.65	15.07
3	VFH+	1.05	7.78	4.09	11.44

La tabla 4.1 resume los resultados obtenidos para cada pista y algoritmo, en cuanto a desempeño. Se calculó la IAE e ITAE con base en la distancia al objetivo mostrada en las gráficas anteriores. Además se indica el tiempo total que le tomó a cada algoritmo alcanzar su objetivo y la distancia total recorrida.

En general se puede decir que VFH+ es el más eficiente de los tres algoritmos, y el robot tiende a llegar al objetivo más rápido. El algoritmo VFH también tiene un buen desempeño en la evasión, sin embargo para su funcionamiento correcto se requiere un gran trabajo previo de ajuste de parámetros. Comparativamente, el algoritmo de Braitenberg es mucho más sencillo y robusto en la elección de parámetros para obtener un comportamiento funcional.

Una cosa que llama inmediatamente la atención es que la diferencia en complejidad de implementación entre Braitenberg y ambos algoritmos VFH y VFH+, no se refleja de forma tan marcada en el desempeño. Cabe destacar que en etapas tempranas del desarrollo del proyecto esto no era así y el desempeño de Braitenberg era mucho peor, llegando a durar hasta el doble que VFH en alcanzar el objetivo. Varios cambios en la implementación mejoraron mucho el desempeño, puntualmente el modo de sensado SMODE\_FULL descrito en la sección 3.2 aumentó notablemente la habilidad del robot de evadir rápidamente los obstáculos.

En cuanto a la elección de parámetros que se hizo en las simulaciones, hay espacio para mejorar la eficiencia del algoritmo de Braitenberg, en particular en cuanto a la acción conjunta de evasión y seguimiento. Particularmente, se podría pensar en una función de estímulo para el seguimiento que fuera completamente diferente. En las simulaciones se puede notar que el robot parece pasar ligeramente de largo los puntos objetivos, en especial si no se encuentran directamente frente a él. Incluso para el algoritmo VFH, un análisis matemático más formal del efecto de los parámetros podría mejorar aún más el desempeño y facilitar la elección de parámetros. El algoritmo VFH tiene muchos más parámetros ajustables al de Braitenberg. Además, una ventaja marcada de VFH+ respecto a VFH, es que los parámetros del primero tienen un significado físico mucho más explícito, por lo que la elección de

parámetros se puede hacer “a ojo” sin tener que correr demasiadas pruebas.

Las fortalezas del algoritmo de Braitenberg se encuentran en su sencillez. Se desempeña mejor en situaciones en las que hay pocos obstáculos directamente frente al robot, en especial funciona muy bien para navegar en espacios como pasillos. Se puede argumentar de los resultados de las simulaciones que es tan eficaz en la evasión como el mucho más complejo VFH en la mayoría de situaciones.

Una desventaja considerable es que se puede ver afectado por la configuración y geometría de los obstáculos. Como la evasión depende de la diferencia entre las mediciones a la izquierda y derecha, si esta diferencia alcanza un mínimo local dentro de un obstáculo el robot podría quedar encerrado. El ejemplo más sencillo es que el robot se dirija hacia una esquina o algún otro obstáculo con forma de “embudo”.

El algoritmo VFH requiere más trabajo para ser funcional, pero compensa esto con una mayor flexibilidad. Se desempeña especialmente bien en la evasión de obstáculos que bloquean directamente el camino del robot, es robusto a la geometría de los obstáculos y es capaz de evadir obstáculos pequeños eficientemente. El algoritmo VFH+ además demuestra una mayor velocidad en la evasión, y mejora considerablemente la fragilidad del algoritmo VFH original.

El algoritmo VFH empieza a mostrar carencias en ambientes muy congestionados. Especialmente cuando se vuelve relevante una buena elección del valor de umbral  $T$  y las constantes  $a$  y  $b$  de la ecuación (2.14) para determinar qué considera el robot como un valle, y como se ve afectado por la cercanía de los obstáculos.



## Conclusiones y recomendaciones

### 5.1. Conclusiones

1. Se realizó una investigación bibliográfica que proporcionó un marco teórico adecuado sobre robots móviles autónomos para el este trabajo de investigación. Se describieron 3 algoritmos de evasión de obstáculos y se proporcionó una base teórica para su entendimiento.
2. Se hizo una descripción en pseudocódigo de la implementación del algoritmo de Braitenberg y VFH, para facilitar su comprensión. La implementación en Python se hizo en base a este pseudocódigo.
3. Se implementaron y probaron con éxito los algoritmos de Braitenberg, VFH y VFH+.
4. Se logró usar con éxito la herramienta de simulación V-REP para modelar una situación de evasión de obstáculos a la que se puede enfrentar un robot real. Se logró simular de manera realista la obtención de datos a partir de un sensor tipo Lidar.
5. A partir del uso de la herramienta de simulación, se logró validar la implementación de los algoritmos en 3 situaciones diferentes.
6. Se hizo un estudio comparativo de las fortalezas y debilidades de cada algoritmo a partir de los resultados de la simulación.
7. El código se documentó ampliamente, y se hizo un manual de usuario para facilitar el uso de los módulos en proyectos posteriores.
8. El algoritmo VFH+ tuvo consistentemente el mejor desempeño.
9. El algoritmo VFH fue el más difícil de parametrizar, mientras que el de Braitenberg fue el más fácil.
10. El algoritmo de Braitenberg y el VFH original tuvieron un desempeño similar, pero siendo el primero mucho más sencillo tanto en implementación como en parametrización.

11. Para el algoritmo de Braitenberg con seguimiento de trayectorias se recomienda usar el modo mixto 2b3a (2b para evasión y 3a para seguimiento). Además el modo de sensado `SMODE_FULL` dio los mejores resultados en la detección y evasión de obstáculos.

## 5.2. Recomendaciones

Teniendo los algoritmos implementados, sería relevante hacer un estudio más profundo de la sintonización de los parámetros. Hay muchas combinaciones que se podría probar, debido a que el enfoque de este proyecto estaba en la implementación no se exploraron muchas posibilidades en la elección de parámetros. Hay además varias pequeñas modificaciones que podrían mejorar considerablemente el funcionamiento de los algoritmos en la práctica. Por ejemplo, para los algoritmos mixtos de Braitenberg, se podría determinar formalmente una función de cercanía para cada lado que proporcione un comportamiento de seguimiento más robusto.

Además, sería de gran interés implementar los sistemas aquí propuestos en un robot real. Así se podría observar por ejemplo qué tanto puede degradarse el desempeño al considerar el ruido de las mediciones, la variabilidad de los sensores, el efecto de tener que procesar los datos en tiempo real, etc.

El cuanto al código implementado, se podría pensar en hacer una clase que encapsule los algoritmos y provea una interfaz unificada a un usuario. Además algunos de los parámetros de módulo se podrían redefinir como parámetros de clase que se pasan mediante el constructor, de modo que se puedan instanciar diferentes controladores con parámetros ajustados a diferentes situaciones o incluso a diferentes robots dentro de un mismo programa, esto actualmente no es posible para los controladores VFH y VFH+. Esto sin embargo añadiría cierta complejidad al uso de los módulos, también se podría pensar en separar la configuración de parámetros para no inflar el constructor de ,argumentos, por medio de la lectura de un archivo de configuración.

Otro aspecto que sería de bastante interés es el desempeño de los algoritmos en la evasión de obstáculos móviles, cosa que sería muy importante para que un robot pueda desempeñar sus funciones en presencia de otros agentes, ya sea humanos, animales o bien otros robots. Por la forma en que se implementan los algoritmos VFH y VFH+, se podría pensar que alguna modificación es necesaria para poder evadir obstáculos en movimiento, de modo que los valores de certeza disminuyan con el tiempo, o bien cuando una celda se encuentre fuera de la ventana activa, etc.



## Apéndice A

# Código

### A.1. Implementación del algoritmo Braitenberg

```
1  #!/ python
2  # coding=utf8
3
4  r"""
5  .. ::module Braitenberg
6
7  Este modulo define el controlador para evasión de obstáculos
8  por medio de vehículos de Braitenberg.
9
10 Note
11 ----
12 Como parte del módulo se definen las siguientes constantes
13 relevantes al modo de funcionamiento del controlador:
14
15     * 'SMODE_MIN'
16     * 'SMODE_AVG'
17     * 'SMODE_FULL'
18 """
19 import math
20 import numpy as np
21
22
23 SMODE_MIN = 0
24 SMODE_AVG = 1
25 SMODE_FULL = 2
26
27 class BraitModel(object):
28     r"""Clase para el modelo de vehículo de Braitenberg
29
30     Parameters
31     -----
32     s_mode : {SMODE_MIN, SMODE_AVG, SMODE_FULL}, opcional
33         Modo de sensado, define la forma de obtener los estímulos a partir
34         de las lecturas de los sensores
35     d_min : float, opcional
36         Distancia mínima de detección de obstáculos.
37     d_max : float, opcional
38         Distancia máxima de detección de obstáculos.
39     v_min : float, opcional
```

```

40         Velocidad lineal mínima del robot.
41     v_max : float, opcional
42         Velocidad lineal máxima del robot.
43     w_max : float, opcional
44         Velocidad angular máxima del robot (se asume que es la misma en ambas direcciones
45         ).
46     alpha : float, opcional
47         Rango angular de visión del robot, dado en radianes.
48
49     Attributes
50     -----
51     x : float
52         Posición del robot sobre el eje :math:'x'.
53     y : float
54         Posición del robot sobre el eje :math:'y'.
55     gamma : float
56         Orientación del robot respecto el eje :math:'z'.
57     radius : float
58         Radio del robot.
59     sensor_l : float
60         Estímulo de evasión del lado izquierdo.
61     sensor_r : float
62         Estímulo de evasión del lado derecho.
63     target : tuple
64         Punto :math:'\left(x,\,y\right)' objetivo o 'None' si
65         no se está siguiendo una trayectoria.
66     s_mode : {SMODE_MIN, SMODE_AVG, SMODE_FULL},
67         Modo de sensado, define la forma de obtener los estímulos a partir
68         de las lecturas de los sensores
69     D_MIN : float,
70         Distancia mínima de detección de obstáculos.
71     D_MAX : float,
72         Distancia máxima de detección de obstáculos.
73     V_MIN : float,
74         Velocidad lineal mínima del robot.
75     V_MAX : float,
76         Velocidad lineal máxima del robot.
77     W_MAX : float,
78         Velocidad angular máxima del robot (se asume que es la misma en ambas direcciones
79         ).
80     ALPHA : float,
81         Rango angular de visión del robot, dado en radianes.
82
83     Examples
84     -----
85
86     >>> import Braitenberg as Brait
87     >>> robot = Brait.BraitModel(s_mode=SMODE_FULL)
88     >>> pseudo_readings = np.float_([[0.41, np.radians(x)] for x in range(-5,90,1)])
89     >>> robot.UpdateSensors(pseudo_readings)
90     >>> robot.UpdatePos(0.0, 0.0, np.pi/2)
91     >>> robot.SetTarget(0.0, 0.20)
92     >>> v, w = robot.Mixed2b3a()
93     """
94
95     def __init__(self, s_mode=0, d_min=0.01, d_max=0.25, v_min=-0.3, v_max=0.3, w_max
96         =0.628, alpha = np.pi/6.0):
97
98         self.x = 0.

```

```

96         self.y = 0.
97         self.gamma = 0.
98         self.radius = 0.035
99
100        self.alpha = alpha
101        # Distancia minima y maxima de vision
102        # del algoritmo
103        self.D_MIN = d_min
104        self.D_MAX = d_max
105
106        self.V_MIN = v_min
107        self.V_MAX = v_max
108        self.W_MAX = w_max
109
110        self.sensor_l = d_max
111        self.sensor_r = d_max
112        self.s_mode = s_mode
113
114        self.target = None
115
116    def Evade2b(self, d_left=None, d_right=None):
117        """Obtiene la respuesta de evasión usando el algoritmo del vehículo 2b.
118
119        La respuesta se da en forma de velocidad lineal y
120        angular en los rangos definidos por :attr:'V_MIN',
121        :attr:'V_MAX' y :attr:'W_MAX'.
122
123        Parameters
124        -----
125        d_left : float, opcional
126            Estímulo de evasión del lado izquierdo, por defecto
127            toma el valor de :attr:'sensor_l'.
128        d_right : float, opcional
129            Estímulo de evasión del lado derecho, por defecto
130            toma el valor de :attr:'sensor_r'.
131
132        Returns
133        -----
134        v_rob : float
135            Velocidad lineal de respuesta.
136        w_rob : float
137            Velocidad angular de respuesta (rad/s).
138        """
139
140        # Defaults to the object instance's sensor stimuli
141        # this behaviour can be overridden by providing the
142        # distances values as parameters.
143        if d_left == None:
144            d_left = self.sensor_l
145        if d_right == None:
146            d_right = self.sensor_r
147
148        v_left = MapStimulus(d_right, self.D_MIN, self.D_MAX, 0.0, 1.0)
149        v_right = MapStimulus(d_left, self.D_MIN, self.D_MAX, 0.0, 1.0)
150
151        #print "v_left = %.3f" % v_left
152        #print "v_right = %.3f" % v_right
153
154        v_norm = (v_right + v_left)/2.0

```

```

155     w_norm = (v_right - v_left)/2.0
156
157     #print "v_norm = %.3f" % v_norm
158     #print "w_norm = %.3f" % w_norm
159
160     v_rob = MapStimulus(v_norm, 0.0, 1.0, self.V_MIN, self.V_MAX)
161     w_rob = MapStimulus(w_norm, -0.5, 0.5, -self.W_MAX, self.W_MAX)
162
163     #return v_left, v_right
164     return v_rob, w_rob
165
166 def Evade3a(self, d_left=None, d_right=None):
167     r"""Obtiene la respuesta de evasión usando el algoritmo del vehículo 3a.
168
169     La respuesta se da en forma de velocidad lineal y
170     angular en los rangos definidos por :attr:'V_MIN',
171     :attr:'V_MAX' y :attr:'W_MAX'.
172
173     Parameters
174     -----
175     d_left : float, opcional
176         Estímulo de evasión del lado izquierdo, por defecto
177         toma el valor de :attr:'sensor_l'.
178     d_right : float, opcional
179         Estímulo de evasión del lado derecho, por defecto
180         toma el valor de :attr:'sensor_r'.
181
182     Returns
183     -----
184     v_rob : float
185         Velocidad lineal de respuesta.
186     w_rob : float
187         Velocidad angular de respuesta (rad/s).
188     """
189
190     # Defaults to the object instance's sensor stimuli
191     # this behaviour can be overridden by providing the
192     # distances values as parameters.
193     if d_left == None:
194         d_left = self.sensor_l
195     if d_right == None:
196         d_right = self.sensor_r
197
198     v_left = MapStimulus(d_left, self.D_MIN, self.D_MAX, 1.0, 0.0)
199     v_right = MapStimulus(d_right, self.D_MIN, self.D_MAX, 1.0, 0.0)
200
201     v_norm = (v_right + v_left)/2.0
202     w_norm = (v_right - v_left)/2.0
203
204     v_rob = MapStimulus(v_norm, 0.0, 1.0, self.V_MIN, self.V_MAX)
205     w_rob = MapStimulus(w_norm, -0.5, 0.5, -self.W_MAX, self.W_MAX)
206
207     #return v_left, v_right
208     return v_rob, w_rob
209
210 def Mixed2b3a(self, d_left=None, d_right=None):
211     r"""Obtiene la respuesta conjunta de evasión y
212     seguimiento, usando el algoritmo 2b para evasión y el
213     3a para seguimiento.

```

```

214
215     La respuesta se da en forma de velocidad lineal y
216     angular en los rangos definidos por :attr:'vmin',
217     :attr:'V_MAX' y :attr:'W_MAX'.
218
219     Parameters
220     -----
221     d_left : float, opcional
222         Estímulo de evasión del lado izquierdo, por defecto
223         toma el valor de :attr:'sensor_l'.
224     d_right : float, opcional
225         Estímulo de evasión del lado derecho, por defecto
226         toma el valor de :attr:'sensor_r'.
227
228     Returns
229     -----
230     v_rob : float
231         Velocidad lineal de respuesta.
232     w_rob : float
233         Velocidad angular de respuesta (rad/s).
234
235
236     .. warning::
237         Debe haberse definido un punto objetivo antes de
238         llamar a esta función.
239
240     """
241
242     ### Target following logic
243
244     left_x = self.x + np.cos(self.gamma+np.pi/2)*self.radius
245     left_y = self.y + np.sin(self.gamma+np.pi/2)*self.radius
246     right_x = self.x + np.cos(self.gamma-np.pi/2)*self.radius
247     right_y = self.y + np.sin(self.gamma-np.pi/2)*self.radius
248
249     print "left is (%.3f, %.3f)" % (left_x, left_y)
250     print "right is (%.3f, %.3f)" % (right_x, right_y)
251
252     left_d2 = np.sqrt(np.square(self.target[0]-left_x) + np.square(self.target[1]-
253         left_y))
254     right_d2 = np.sqrt(np.square(self.target[0]-right_x) + np.square(self.target[1]-
255         right_y))
256     print "left = %.2f, right = %.2f" % (left_d2, right_d2)
257
258     thresh = (self.radius*2)
259     if left_d2 > thresh or right_d2 > thresh:
260         d_extra = max(left_d2, right_d2) - thresh
261
262         print "left = %.2f, right = %.2f, t=%.2f" % (left_d2, right_d2, thresh)
263         left_d2 = left_d2 - d_extra
264         right_d2 = right_d2 - d_extra
265         print "Triming distance by %.2f" % d_extra
266
267     left_s = (self.radius)/left_d2
268     right_s = (self.radius)/right_d2
269
270     close_min = 0.5
271     close_max = 1.3

```

```

271 v_left1 = MapStimulus(left_s, close_min, close_max, 1.0, 0.0)
272 v_right1 = MapStimulus(right_s, close_min, close_max, 1.0, 0.0)
273 print "v_left1 = %.3f" % v_left1
274 print "v_right1 = %.3f" % v_right1
275
276 ### Obstacle avoidance logic
277
278 if d_left == None:
279     d_left = self.sensor_l
280 if d_right == None:
281     d_right = self.sensor_r
282
283 v_left2 = MapStimulus(d_right, self.D_MIN, self.D_MAX, 0.0, 1.0)
284 v_right2 = MapStimulus(d_left, self.D_MIN, self.D_MAX, 0.0, 1.0)
285
286 ratio = 0.2
287 v_left = (v_left1*ratio + v_left2*(1-ratio))
288 v_right = (v_right1*ratio + v_right2*(1-ratio))
289 print "v_left = %.3f" % v_left
290 print "v_right = %.3f" % v_right
291
292 v_norm = (v_right + v_left)/2.0
293 w_norm = (v_right - v_left)/2.0
294
295 #print "v_norm = %.3f" % v_norm
296 #print "w_norm = %.3f" % w_norm
297
298 v_rob = MapStimulus(v_norm, 0.0, 1.0, self.V_MIN, self.V_MAX)
299 w_rob = MapStimulus(w_norm, -0.5, 0.5, -self.W_MAX, self.W_MAX)
300
301 #return v_left, v_right
302 return v_rob, w_rob
303
304 def Mixed3a2b(self, d_left=None, d_right=None):
305     r"""Obtiene la respuesta conjunta de evasión y
306     seguimiento, usando el algoritmo 3a para evasión y el
307     2b para seguimiento.
308
309     La respuesta se da en forma de velocidad lineal y
310     angular en los rangos definidos por :attr:'V_MIN',
311     :attr:'V_MAX' y :attr:'W_MAX'.
312
313     Parameters
314     -----
315     d_left : float, opcional
316         Estímulo de evasión del lado izquierdo, por defecto
317         toma el valor de :attr:'sensor_l'.
318     d_right : float, opcional
319         Estímulo de evasión del lado derecho, por defecto
320         toma el valor de :attr:'sensor_r'.
321
322     Returns
323     -----
324     v_rob : float
325         Velocidad lineal de respuesta.
326     w_rob : float
327         Velocidad angular de respuesta (rad/s).
328
329

```

```

330         .. warning::
331             Debe haberse definido un punto objetivo antes de
332             llamar a esta función.
333
334         """
335         ### Target following logic
336
337         left_x  = self.x + np.cos(self.gamma+np.pi/2)*self.radius
338         left_y  = self.y + np.sin(self.gamma+np.pi/2)*self.radius
339         right_x = self.x + np.cos(self.gamma-np.pi/2)*self.radius
340         right_y = self.y + np.sin(self.gamma-np.pi/2)*self.radius
341
342         print "left is (%.3f, %.3f)" % (left_x, left_y)
343         print "right is (%.3f, %.3f)" % (right_x, right_y)
344
345         left_d2 = np.sqrt(np.square(self.target[0]-left_x) + np.square(self.target[1]-
346             left_y))
347         right_d2 = np.sqrt(np.square(self.target[0]-right_x) + np.square(self.target[1]-
348             right_y))
349         print "left = %.2f, right = %.2f" % (left_d2, right_d2)
350
351         thresh = (self.radius*2)
352         if left_d2 > thresh or right_d2 > thresh:
353             d_extra = max(left_d2, right_d2) - thresh
354
355             print "left = %.2f, right = %.2f, t=%.2f" % (left_d2, right_d2, thresh)
356             left_d2 = left_d2 - d_extra
357             right_d2 = right_d2 - d_extra
358             print "Triming distance by %.2f" % d_extra
359             print "left = %.2f, right = %.2f, t=%.2f" % (left_d2, right_d2, thresh)
360
361         left_s  = (self.radius)/left_d2
362         right_s = (self.radius)/right_d2
363         print "left = %.2f, right = %.2f" % (left_s, right_s)
364
365         close_min = 0.25
366         close_max = 0.75
367
368         v_left1 = MapStimulus(right_s, close_min, close_max, 0.0, 1.0)
369         v_right1 = MapStimulus(left_s, close_min, close_max, 0.0, 1.0)
370         print "v_left1 = %.3f" % v_left1
371         print "v_right1 = %.3f" % v_right1
372
373         ### Obstacle avoidance logic
374
375         if d_left == None:
376             d_left = self.sensor_l
377         if d_right == None:
378             d_right = self.sensor_r
379
380         v_left2 = MapStimulus(d_left, self.D_MIN, self.D_MAX, 1.0, 0.0)
381         v_right2 = MapStimulus(d_right, self.D_MIN, self.D_MAX, 1.0, 0.0)
382
383         ratio = 0.8
384         v_left = (v_left1*ratio + v_left2*(1-ratio))
385         v_right = (v_right1*ratio + v_right2*(1-ratio))
386         print "v_left = %.3f" % v_left
387         print "v_right = %.3f" % v_right

```

```

387     v_norm = (v_right + v_left)/2.0
388     w_norm = (v_right - v_left)/2.0
389
390     #print "v_norm = %.3f" % v_norm
391     #print "w_norm = %.3f" % w_norm
392
393     v_rob = MapStimulus(v_norm, 0.0, 1.0, self.V_MIN, self.V_MAX)
394     w_rob = MapStimulus(w_norm, -0.5, 0.5, -self.W_MAX, self.W_MAX)
395
396     #return v_left, v_right
397     return v_rob, w_rob
398
399 def UpdatePos(self, x, y, gamma):
400     r"""Actualiza la postura actual del robot.
401
402     Parameters
403     -----
404     x : float
405         Posición del robot sobre el eje :math:'x'.
406     y : float
407         Posición del robot sobre el eje :math:'y'.
408     gamma : float
409         Orientación del robot respecto el eje :math:'z'
410         en radianes.
411
412     Note
413     ----
414     Solo es necesario usar esta función si se desea hacer
415     seguimiento de trayectorias.
416
417     """
418
419     self.x = x
420     self.y = y
421     self.gamma = gamma
422
423 def SetTarget(self, x, y, unset = False):
424     r"""Define el un punto objetivo para hacer seguimiento
425     de Trayectorias.
426
427     Permite definir un punto objetivo
428     :math:'\left(x,\right)'$. También se puede desactivar
429     el comportamiento por medio del parámetro 'unset'.
430
431     Parameters
432     -----
433     x : float
434         Posición sobre el eje :math:'x'.
435     y : float
436         Posición sobre el eje :math:'y'.
437     unset : bool, opcional
438         Si se indica como verdadero desactiva el seguimiento.
439
440     """
441     if unset:
442         self.target = None
443     else:
444         self.target = (x,y)
445

```



```

446 def UpdateSensors(self, sensor_readings):
447     r"""Procesa las lecturas de los sensores para la
448     detección de obstáculos.
449
450     Actualiza los valores de :attr:'sensor_r' y
451     :attr:'sensor_l' a partir de las lecturas de los
452     sensores. El comportamiento dependerá del atributo de
453     clase :attr:'s_mode' y el rango de visión :attr:'ALPHA'.
454
455     Parameters
456     -----
457     sensor_readings : ndarray of float
458         Lecturas del sensor, un arreglo tipo numpy.ndarray
459         que representa una nube de puntos
460         :math:(r, \theta) donde :math:'r' está dado en
461         metros y :math:'\theta' en radianes. Solo se toman
462         en cuenta puntos tal que
463         :math:'\theta \in [-\alpha, \alpha]'.
464
465     Raises
466     -----
467     TypeError
468         Si ''sensor_readings'' no es de tipo
469         'numpy.ndarray'.
470     ValueError
471         Si ''sensor_readings'' es de dimensión (2,N).
472
473     Note
474     ----
475     La forma en que se procesan los datos para definir el
476     estímulo de cada lado del robot cambia dependiendo
477     del valor de 's_mode', de la siguiente manera:
478
479     'SMODE_MIN'
480         El estímulo se define como el mínimo valor de
481         distancia en el rango.
482
483     'SMODE_AVG'
484         El estímulo se define como el promedio de los valores
485         de distancia dentro del rango.
486
487     'SMODE_FULL'
488         El estímulo se define como el promedio de los valores
489         de distancia dentro del rango. Además se define un
490         número mínimo de puntos por rango. Si hay menos de
491         esta cantidad, se agregan puntos con el máximo valor
492         de distancia :attr:'D_MAX' antes de calcular el
493         promedio.
494
495     """
496
497     if (type(sensor_readings) != np.ndarray):
498         raise TypeError("Expected numpy ndarray, received %s" % type(sensor_readings)
499         )
500     elif sensor_readings.ndim != 2 or sensor_readings.shape[1] != 2:
501         raise ValueError("Expected (n, 2) array, received %s" % str(sensor_readings.
502         shape))
503
504     left = []

```

```

503     right = []
504     for x in xrange(sensor_readings.shape[0]):
505         r, theta = sensor_readings[x,:]
506         if r == 0 and theta == 0:
507             continue
508         if -self.alpha < theta and theta < 0:
509             # right
510             right.append(r)
511         elif 0 < theta and theta < self.alpha:
512             left.append(r)
513             # left
514
515     if self.s_mode == SMODE_MIN:
516         if len(left) > 0:
517             self.sensor_l = min(left)
518         else:
519             self.sensor_l = self.D_MAX
520
521         if len(right) > 0:
522             self.sensor_r = min(right)
523         else:
524             self.sensor_r = self.D_MAX
525
526     elif self.s_mode == SMODE_AVG:
527         if len(left) == 0:
528             self.sensor_l = self.D_MAX
529         else:
530             self.sensor_l = sum(left)/float(len(left))
531
532         if len(right) == 0:
533             self.sensor_r = self.D_MAX
534         else:
535             self.sensor_r = sum(right)/float(len(right))
536
537     elif self.s_mode == SMODE_FULL:
538         num = 40
539
540         sum_l = sum(left)
541         if len(left) < num:
542             sum_l += (num-len(left))*self.D_MAX
543             self.sensor_l = sum_l/num
544         else:
545             self.sensor_l = sum_l/len(left)
546
547         sum_r = sum(right)
548         if len(right) < num:
549             sum_r += (num-len(right))*self.D_MAX
550             self.sensor_r = sum_r/num
551         else:
552             self.sensor_r = sum_r/len(right)
553
554
555     def MapStimulus(s, s_min, s_max, r_min, r_max):
556         r"""
557         Mapeo lineal de estímulos y respuesta. Aplica una
558         transformación lineal del rango de entrada al rango de
559         salida.
560
561         Parameters

```

```

562 -----
563 s : float
564     Valor del estímulo de entrada.
565 s_min : float
566     Cota inferior del valor de 's'.
567 s_max : float
568     Cota superior del valor de 's'.
569 r_min : float
570     Cota de la respuesta para un valor de entrada mínimo.
571 r_max : float
572     Cota de la respuesta para un valor de entrada máximo.
573
574 Returns
575 -----
576 float
577     Una respuesta en el rango dado por 'r_min' y 'r_max'.
578
579 Note
580 ----
581 La función de mapeo no es mas que la ecuación de una recta
582 que pasa por los puntos :math:(s\_min, r\_min)' y
583 :math:(s\_max, r\_max)', por lo que es perfectamente
584 aceptable que :math:r\_min > r\_max'. Esto corresponde a
585 una respuesta con acción inversa, es decir una recta con pendiente negativa.
586 """
587
588 if s >= s_max:
589     return r_max
590 elif s > s_min:
591     #y = mx + b
592     m = (r_max - r_min)/(s_max - s_min)
593     b = r_min - (m*s_min)
594     return (m*s) + b
595 else:
596     return r_min
597
598 def main():
599
600     robot = BraitModel(s_mode=SMODE_FULL)
601     pseudo_readings = np.float_([[0.41, np.radians(x)] for x in range(-5,90,1)])
602     robot.UpdateSensors(pseudo_readings)
603     robot.UpdatePos(0.0,0.0,np.pi/2)
604     robot.SetTarget(0.0000, 0.20)
605     print "Left sensor reading %.2f" % robot.sensor_l
606     print "Right sensor reading %.2f" % robot.sensor_r
607
608     print
609     print "Speed range: [%.2f, %.2f]" % (robot.V_MIN, robot.V_MAX)
610     print "Rotation range: [%.2f, %.2f]" % (-robot.W_MAX, robot.W_MAX)
611     v, w = robot.Mixed2b3a()
612     dire = "izq" if w > 0 else "der"
613     print "Result: v=%.2f , w=%.2f (%s)" % (v, w, dire)
614
615     return 0
616
617
618 if __name__ == "__main__":
619     main()

```

## A.2. Implementación del algoritmo VFH

```

1  #!/usr/bin/python
2  # coding=utf8
3
4  r"""
5
6  Este módulo define el controlador para evasión mediante el
7  algoritmo VFH, y constantes asociadas.
8
9  """
10
11 import numpy as np
12 import matplotlib.pyplot as plt
13 import copy
14
15
16 #####
17 ### Constantes ###
18 #####
19 ### ###
20 ### ###
21
22 # Size of the full Grid
23 GRID_SIZE = 125
24 r"""int: Tamaño de la cuadrícula de certeza.
25 """
26
27 # Resolution of each cell (in m)
28 RESOLUTION = np.float_(0.04)
29 r"""float: Resolución de cada celda (en m).
30 """
31
32 # Size of the active window that
33 # travels with the robot
34 WINDOW_SIZE = 15
35 r"""int: Tamaño de la ventana activa.
36
37 .. warning::
38     La ventana activa debe tener un número impar de celdas.
39 """
40 assert WINDOW_SIZE%2 == 1, "Window should have an odd number of cells for better results"
41
42 WINDOW_CENTER = WINDOW_SIZE/2
43 r"""int: Índice de la celda central en la ventana activa.
44
45 Se define automáticamente a partir de ‘WINDOW_SIZE’.
46 """
47
48 # Size of each polar sector
49 # in the polar histogram (in degrees)
50 ALPHA = 5
51 r"""int: Tamaño de cada sector del histograma polar (en grados).
52
53 .. warning::
54     ‘ALPHA’ debe ser un divisor de 360.
55 """
56 if np.mod(360, ALPHA) != 0:

```

```

57     raise ValueError("Alpha must define an int amount of sectors")
58
59 HIST_SIZE = 360/ALPHA
60 r"""int: Cantidad de sectores en el histograma polar.
61 Se define automáticamente a partir de 'ALPHA'.
62 """
63
64 # Valley/Peak threshold
65 THRESH = 20000.0
66 r"""float: Valor de umbral para valles y picos.
67 """
68
69 WIDE_V = HIST_SIZE/4
70 r"""int: Tamaño límite de un valle ancho y angosto.
71 """
72 V_MAX = 0.0628
73 r"""float: Velocidad máxima del robot (m/s).
74 """
75
76 V_MIN = 0.00628
77 r"""float: Velocidad mínima del robot (m/s).
78 """
79
80 OMEGA_MAX = 1.256
81 r"""float: Velocidad angular máxima del robot (rad/s)
82 """
83
84 # Constants for virtual vector magnitude calculations
85 # D_max^2 = 2*(ws-1/2)^2
86 # A - B*D_max^2 = 1
87 D_max2 = np.square(WINDOW_SIZE-1)/2.0
88 B = np.float_(1.0)
89 r"""float: Constante :math:'b' de la ecuación de la magnitud del
90 vector de obstáculos.
91 """
92
93 A = np.float_(1+B*D_max2)
94 r"""float: Constante :math:'a' de la ecuación de la magnitud del
95 vector de obstáculos. Se define a partir de 'B' de modo que
96 se cumpla :math:'a - b \cdot d_{\max}^2 = 1'.
97 """
98
99 # Active window array indexes
100 MAG = 0
101 BETA = 1
102 DIST2 = 2
103
104 ###                                     ###
105 ###                                     ###
106 #####
107
108 class VFHModel:
109     r"""Clase que define el controlador para evasión mediante
110     el algoritmo VFH.
111
112     Attributes
113     -----
114     obstacle_grid : ndarray of short
115         La cuadrícula de certeza. Cada celda tiene un valor entre

```

```

116         0 y 20 que indica que tan probable es que haya un
117         obstáculo ocupando la celda.
118
119     active_window : ndarray of float
120         La ventana activa que se mueve con el robot. Cada celda
121         contiene tres valores: la magnitud del vector de
122         obstaculos :math:'m_{i,j}'' , la dirección del vector
123         :math:'\beta_{i,j}'' , y la distancia al robot
124         :math:'d_{i,j}'' .
125
126     polar_hist : ndarray of float
127         El histograma polar. Indica la densidad de obstáculos
128         en cada sector alrededor de la vecindad del robot.
129
130     filt_polar_hist : ndarray of float
131         El histograma polar filtrado. Se construye a aplicando
132         un filtro al histograma polar.
133
134     valleys : list of tuples
135         Contiene una lista de los valles en el histograma polar.
136         Cada valle es un par :math:'(s_1,s_2)'' , donde :math:'s_1'' es
137         el sector donde inicia y :math:'s_2'' donde termina, en
138         sentido antihorario.
139
140     x_0 : float
141         Posición del robot sobre el eje :math:'x'' .
142     y_0 : float
143         Posición del robot sobre el eje :math:'y'' .
144     cita : float
145         Orientación del robot resepecto el eje :math:'z'' .
146
147     i_0 : float
148         Índice de la celda que ocupa el robot sobre la cuadrícula
149         de certeza en el eje :math:'x'' .
150     j_0 : float
151         Índice de la celda que ocupa el robot sobre la cuadrícula
152         de certeza en el eje :math:'y'' .
153     k_0 : float
154         Sector en el histograma polar de la dirección del robot
155         resepecto el eje :math:'z'' .
156
157     target : tuple
158         Punto :math:'\left(x, y\right)'' objetivo o ''None'' si
159         no se está siguiendo una trayectoria.
160
161     Examples
162     -----
163
164
165     >>> import VFH
166     >>> robot = VFH.VFHModel()
167     >>> robot.update_position(1.5,1.5,270.0)
168     >>> pseudo_readings = np.float_([[0.3, np.radians(x)] for x in range(0,90,1)])
169     >>> robot.update_obstacle_density(pseudo_readings)
170     >>> robot.update_active_window()
171     >>> robot.update_polar_histogram()
172     >>> robot.update_filtered_polar_histogram()
173     >>> robot.find_valleys()
174     >>> try:

```

```

175     >>> cita = robot.calculate_steering_dir()
176     >>> except:
177         >>> pass
178     >>> v = robot.calculate_speed(3.14/180)
179
180     """
181
182     def __init__(self):
183
184         # The Obstacle Grid keeps count of the certainty values
185         # for each cell in the grid
186         grid_dim = (GRID_SIZE, GRID_SIZE)
187         self.obstacle_grid = np.zeros( grid_dim, dtype = np.int8 )
188
189         # The Active Window has information (magnitude,
190         # direction, distance to robot) of an obstacle vector
191         # for each active cell in the grid [mij, citaij, dij]
192         window_dim = (WINDOW_SIZE, WINDOW_SIZE, 3)
193         self.active_window = np.zeros( window_dim, dtype = np.float_ )
194
195         # Initialize angles and distance (these don't change)
196
197         for i in xrange(WINDOW_SIZE):
198             for j in xrange(WINDOW_SIZE):
199                 if j == WINDOW_CENTER and i == WINDOW_CENTER:
200                     continue
201                 beta_p = np.degrees(np.arctan2(j-WINDOW_CENTER, i-WINDOW_CENTER))
202                 self.active_window[i,j,BETA] = beta_p + 360 if beta_p < 0 else beta_p
203                 # The distance is measured in terms of cells
204                 # (independent of scale/resolution of the grid)
205                 self.active_window[i,j,DIST2] = np.float_(np.square(i-WINDOW_CENTER) + np
206                     .square(j-WINDOW_CENTER))
207
208         # The Polar Histogram maps each cell in the active window
209         # to an angular sector
210         hist_dim = HIST_SIZE
211         self.polar_hist = np.zeros( hist_dim, dtype = np.float_ )
212
213         # The Filtered Polar Histogram holds the actual data to
214         # be analyzed
215         self.filt_polar_hist = np.zeros( hist_dim, dtype = np.float_ )
216
217         # The valleys are stored as start-end pairs of sectors
218         # in the filtered polar histogram
219         self.valleys = []
220
221         # Real position of the robot
222         self.x_0 = 0.0
223         self.y_0 = 0.0
224         self.cita = 0.0
225
226         # Cell of the robot
227         self.i_0 = 0
228         self.j_0 = 0
229         # Sector of the robot
230         self.k_0 = 0
231
232         # (x,y) pair representing the target, or

```

```

233     # None if there is no target
234     self.target = None
235
236 def update_position(self, x, y, cita):
237     r"""Actualiza la posición del robot.
238
239     Parameters
240     -----
241     x : float
242         Posición absoluta del robot sobre el eje :math:'x' .
243     y : float
244         Posición absoluta del robot sobre el eje :math:'y' .
245     cita : float
246         Orientación del robot respecto el eje :math:'z'
247         en grados.
248
249     Notes
250     ----
251
252     Modifica los siguientes atributos de clase:
253
254     .. hlist::
255
256         * :attr:'x_0'
257         * :attr:'y_0'
258         * :attr:'cita'
259         * :attr:'i_0'
260         * :attr:'j_0'
261         * :attr:'k_0'
262
263     """
264
265     self.x_0 = x
266     self.y_0 = y
267     self.cita = cita if cita >= 0 else cita + 360
268
269     self.i_0 = int(x / RESOLUTION)
270     self.j_0 = int(y / RESOLUTION)
271     self.k_0 = int(self.cita / ALPHA) % HIST_SIZE
272
273 def set_target(self, x=None, y=None):
274     r"""Define el punto objetivo o deshabilita el seguimiento
275     de trayectorias.
276
277     Define un punto objetivo :math:'(x,y)' para la evasión
278     con seguimiento de trayectorias, o deshabilita el
279     seguimiento si el método es invocado sin parámetros.
280
281     Parameters
282     -----
283     x : float, opcional
284         Posición absoluta del robot sobre el eje :math:'x' .
285     y : float, opcional
286         Posición absoluta del robot sobre el eje :math:'y' .
287
288     Returns
289     -----
290     int
291         Retorna 1 si se estableció un punto objetivo o 0

```



```

292         si inhabilitó el seguimiento.
293
294     Raises
295     -----
296     ValueError
297         Si el objetivo dado se sale de la cuadrícula de
298         certeza.
299
300     Notes
301     -----
302     Modifica los siguientes atributos de clase:
303
304     * :attr:'target'
305
306     """
307     if x != None and y != None:
308         if x >= 0 and y >= 0 and \
309             x < GRID_SIZE*RESOLUTION and \
310             y < GRID_SIZE*RESOLUTION:
311             self.target = (x,y)
312             return 1
313         else:
314             raise ValueError("Tried to set the target ({:d},{:d}) outside the
315                               obstacle grid".format(x,y))
316     else:
317         self.target = None
318         return 0
319
320 def update_obstacle_density(self, sensor_readings):
321     r"""Actualiza la cuadrícula de certeza a partir de las
322     lecturas de un sensor.
323
324     Para cada lectura aumenta el valor de una única celda
325     en 1, hasta un máximo de 20.
326
327     Parameters
328     -----
329     sensor_readings : ndarray
330         Una estructura de datos tipo 'numpy.ndarray' que
331         contiene las lecturas de un sensor de distancias.
332         Debe ser un arreglo de dimensiones
333         :math:(n \times 2)' para :math:'n' puntos o
334         lecturas, donde cada par representa una coordenada
335         polar :math:(r, \theta)' respecto al marco de
336         referencia del robot.
337
338     Raises
339     -----
340     TypeError
341         Si 'sensor_readings' no es de tipo
342         'numpy.ndarray'.
343     ValueError
344         Si 'sensor_readings' no tiene las dimensiones
345         correctas.
346
347     Notes
348     -----
349     Las coordenadas deben ser dadas en metros y radianes.

```

```

350     Modifica los siguientes atributos de clase:
351
352     * :attr:'obstacle_grid'
353
354     """
355     # Receives a numpy array of (r, theta) data points #
356     # r in meters, theta in radians
357     # 0,0 means no reading
358
359     if (type(sensor_readings) != np.ndarray):
360         raise TypeError("Expected numpy ndarray, received %s" % type(sensor_readings)
361                        )
362     elif sensor_readings.ndim != 2 or sensor_readings.shape[1] != 2:
363         raise ValueError("Expected (n, 2) array, received %s" % str(sensor_readings.
364                                shape))
365
366     for x in xrange(sensor_readings.shape[0]):
367         r, theta = sensor_readings[x,:]
368         if r == 0 and theta == 0:
369             continue
370         i = int( (self.x_0 + r*np.cos(theta + np.radians(self.cita)))/RESOLUTION )
371         j = int( (self.y_0 + r*np.sin(theta + np.radians(self.cita)))/RESOLUTION )
372         if self.obstacle_grid[i,j] < 20: self.obstacle_grid[i,j] += 1
373
374     def _active_grid(self):
375
376         i_window = max(self.i_0 - (WINDOW_CENTER), 0)
377         j_window = max(self.j_0 - (WINDOW_CENTER), 0)
378         i_max = min(i_window + WINDOW_SIZE, GRID_SIZE)
379         j_max = min(j_window + WINDOW_SIZE, GRID_SIZE)
380
381         return self.obstacle_grid[i_window:i_max, j_window:j_max]
382
383     def update_active_window(self):
384         r"""Calcula la magnitud de los vectores de obstáculo para
385         las celdas de la ventana activa.
386
387         El cálculo se hace a partir de los datos guardados en la
388         :attr:'cuadrícula de certeza<obstacle_grid>'.
389
390         Notes
391         -----
392         Modifica los siguientes atributos de clase:
393
394         * :attr:'active_window'
395
396         """
397
398         i_window = self.i_0 - (WINDOW_CENTER)
399         j_window = self.j_0 - (WINDOW_CENTER)
400         for i in xrange(WINDOW_SIZE):
401             for j in xrange(WINDOW_SIZE):
402                 if j == WINDOW_CENTER and i == WINDOW_CENTER:
403                     continue
404
405                 grid_i = i_window + i
406                 grid_j = j_window + j
407
408                 if grid_i < 0 or grid_i > GRID_SIZE or grid_j < 0 or grid_j > GRID_SIZE:

```

```

407         self.active_window[i,j,MAG] = 0.0
408     else :
409         cij = np.float_(self.obstacle_grid[grid_i, grid_j])
410         mij = np.square(cij)*(A - B*self.active_window[i, j, DIST2])
411         self.active_window[i,j,MAG] = mij
412
413     #return self.active_window
414
415 def update_polar_histogram(self):
416     r"""Actualiza el histograma polar de obstáculos.
417
418     El cálculo se hace a partir de los vectores de obstáculo
419     guardados en la :attr:'ventana activa<active_window>'.
420
421     Notes
422     -----
423     Modifica los siguientes atributos de clase:
424
425     * :attr:'polar_hist'
426
427     """
428
429     for i in xrange(HIST_SIZE):
430         self.polar_hist[i] = 0
431
432     for i in xrange(WINDOW_SIZE):
433         for j in xrange(WINDOW_SIZE):
434             if j == WINDOW_CENTER and i == WINDOW_CENTER:
435                 continue
436             k = int(self.active_window[i, j, BETA]/ALPHA) % HIST_SIZE
437             assert k < HIST_SIZE and k >= 0, "Error for polar histogram index: %d on
                i = %d, j = %d" % (k, i, j)
438             self.polar_hist[k] += self.active_window[i, j, MAG]
439
440     #return self.polar_hist
441
442 def update_filtered_polar_histogram(self):
443     r"""Calcula el histograma polar filtrado a partir de el
444     :attr:'histograma polar<polar_hist>'.
445
446     Notes
447     -----
448     Modifica los siguientes atributos de clase:
449
450     * :attr:'filt_polar_hist'
451
452     """
453
454     ## Amount of adjacent sectors to filter
455     L = 5
456     assert (2*L + 1) < HIST_SIZE
457     for i in xrange(HIST_SIZE):
458         coef = [[L - abs(L-j) + 1, (i + (j-L))%HIST_SIZE] for j in xrange(2*L+1)]
459         self.filt_polar_hist[i] = np.sum([c*self.polar_hist[k] for c, k in coef])/(2*
            L+1)
460
461 def find_valleys(self):
462     r"""Analiza el histograma polar filtrado y determina los
463     valles candidatos.

```

```

464     Los valles se obtienen a partir del
465     :attr:'histograma polar filtrado<filt_polar_hist>' y
466     el :const:'valor de umbral<THRESH>'.
467
468     Returns
469     -----
470     int
471         * '-1' si no se encuentra ningún sector con un valor
472           mayor a :const:'THRESH' en el hisotgrama filtrado.
473         * '0' de lo contrario.
474
475     """
476
477     start = None
478     for x in xrange(HIST_SIZE):
479         if self.filt_polar_hist[x] > THRESH:
480             start = copy.copy(x)
481             #print "Found start at {:d}".format(x)
482             break
483
484     # If no value was found over the threshold no action
485     # needs to be taken since there are no nearby obstacles
486     if start == None:
487         return -1
488
489     # Else, look for valleys after 'start'
490     #print "Looking for valleys after k={:d}, c={:.1f}".format(start, start*ALPHA)
491     self.valleys = []
492     valley_found = False
493     for i in xrange(HIST_SIZE+1):
494         index = (start + i)%HIST_SIZE
495         #print "Sector {:d}, h={:.2f}".format(index, self.filt_polar_hist[index])
496         if not valley_found:
497             if self.filt_polar_hist[index] < THRESH:
498                 v_start = index
499                 valley_found = True
500
501             else:
502                 if self.filt_polar_hist[index] > THRESH:
503                     self.valleys.append(tuple([v_start, index-1]))
504                     valley_found = False
505     return 0
506
507 def calculate_steering_dir(self):
508     r"""Calcula la dirección de movimiento para la evasión.
509
510     El cálculo de la dirección para el robot se hace a
511     partir de los valles candidato, la orientación actual
512     y el objetivo. Si no hay objetivo, se toma la dirección
513     actual de movimiento como objetivo.
514
515     Returns
516     -----
517     new_dir : float
518         La dirección del movimiento, dada en grados en el
519         rango :math: '[0^\circ, \setminus 360^\circ[ ' .
520
521     Raises
522     -----

```

```

523         Exception
524         Si :attr:'valleys' está vacío.
525
526     """
527
528     # Set the target sector. If there is a target point
529     # calculate the sector from that, else it's the
530     # current orientation
531     k_t = None
532     dir_t = None
533     if self.target == None:
534         k_t = self.k_0
535         dir_t = self.cita
536     else:
537         dx = self.target[0] - self.x_0
538         dy = self.target[1] - self.y_0
539         angle = np.degrees(np.arctan2(dy, dx))
540         angle = angle + 360 if angle < 0 else angle
541         print "target dir is %.1f" % angle
542         k_t = int(angle / ALPHA)%HIST_SIZE
543     dir_t = angle
544
545     # First we determine which valley is closest to the
546     # target or current robot orientation
547     closest_dist = None
548     closest_valley = None
549     closest_sect = None
550
551
552     if len(self.valleys) == 0:
553         raise Exception("No candidate valleys found to calculate a new direction")
554
555     for v in self.valleys:
556
557         d1, d2 = [self._dist(self.filt_polar_hist, k_t, sector) for sector in v]
558
559         if closest_dist != None:
560             min_dist = min(d1, d2)
561             if min_dist < closest_dist:
562                 closest_dist = min_dist
563                 closest_valley = v
564                 if d1 < d2:
565                     closest_sect = 0
566                 else:
567                     closest_sect = 1
568
569         else:
570             closest_dist = min(d1, d2)
571             closest_valley = v
572             if d1 < d2:
573                 closest_sect = 0
574             else:
575                 closest_sect = 1
576
577     print "Closest valley is %s" % str(closest_valley)
578     s1, s2 = closest_valley
579     v_size = (s2 - s1) if s2 >= s1 else HIST_SIZE - (s1-s2)
580
581     if v_size < WIDE_V :

```

```

582         # For narrow valleys move in the direction of the middle of
583         # the valley.
584         print "Crossing a narrow valley"
585         new_dir = ALPHA * (s1 + v_size/2.0)
586     else:
587         print "Crossing a wide valley"
588
589         # For wide valleys move in the direction of travel if
590         # the closest distance is bigger than WIDE_V/2 and its
591         # inside the valley
592         if closest_dist > WIDE_V/2.0:
593             k_inside = False
594             if s1 < s2:
595                 k_inside = s1 < k_t and k_t < s2
596             else:
597                 k_inside = not (s2 < k_t and k_t < s1)
598
599             if k_inside:
600                 print "Maintining current direction"
601                 new_dir = dir_t
602             else:
603                 print "Current direction is blocked!"
604
605         # If the target is closer to the edge then travel near
606         # the closer edge of the valley
607         elif closest_sect == 0:
608             print "Staying near right"
609             new_dir = ALPHA * (s1 + WIDE_V/2.0)
610         else:
611             print "Staying near left"
612             new_dir = ALPHA * (s2 - WIDE_V/2.0)
613
614     if new_dir >= 360:
615         new_dir = new_dir - 360
616     elif new_dir < 0:
617         new_dir = new_dir + 360
618
619     print "Setting course to target at %.2f" % new_dir
620     return new_dir
621
622 def calculate_speed(self, omega=0):
623     r"""Calcula la velocidad del robot.
624
625     Calcula la velocidad a partir de la densidad de
626     obstáculos en la dirección actual del movimiento.
627     El robot se mueve más despacio entre mayor sea la
628     densidad.
629
630     Opcionalmente recibe la velocidad angular del robot como
631     parámetro. En este caso, se hace una reducción adicional
632     de la velocidad dependiendo del valor de 'omega'
633     en comparación a :const:'OMEGA_MAX'.
634
635     Parameters
636     -----
637     omega : float, opcional
638             Velocidad angular del robot (rad/s).
639
640     Returns

```

```

641         -----
642         V : float
643             Velocidad lineal deseada del robot (m/s).
644         """
645
646         # Omega in [rad/s]
647         # Obstacle density in the current direction of travel
648         H_M = THRESH*1.8
649         h_cp = self.filt_polar_hist[self.k_0]
650         h_cpp = min(h_cp, H_M)
651
652         V_prime = V_MAX*(1 - h_cpp/H_M)
653
654         V = V_prime*(1 - omega/OMEGA_MAX) + V_MIN
655
656         return V
657
658     @staticmethod
659     def _dist(array,i,j):
660         n_dist = abs(i-j)
661         return min(n_dist, len(array) - n_dist)
662
663
664 def main():
665     np.set_printoptions(precision=2)
666     robot = VFHModel()
667     print "Obstacle grid"
668     print robot.obstacle_grid, "\n"
669     print "Active Window angles"
670     print robot.active_window[:, :, BETA], "\n"
671     print "Active Window squared distances"
672     print robot.active_window[:, :, DIST2], "\n"
673     print "Max distance squared: %f" % D_max2
674
675
676     print("Updating the obstacle grid and robot position")
677
678
679     #
680     # robot.obstacle_grid[1,6] = 1
681     # robot.obstacle_grid[1,5] = 2
682     # robot.obstacle_grid[1,4] = 2
683     # robot.obstacle_grid[1,3] = 5
684     # robot.obstacle_grid[1,2] = 13
685     # robot.obstacle_grid[2,2] = 3
686     # robot.obstacle_grid[3,2] = 3
687     # robot.obstacle_grid[4,2] = 3
688     #
689     # robot.obstacle_grid[9,2] = 4
690     # robot.obstacle_grid[9,3] = 5
691     # robot.obstacle_grid[9,4] = 6
692     # robot.obstacle_grid[9,5] = 5
693     # robot.obstacle_grid[9,6] = 4
694
695     print robot.i_0, robot.j_0
696     print robot._active_grid(), "\n"
697
698     print "Simulating a set of sensor readings"
699     pseudo_readings = np.float_([[0.3, np.radians(x)] for x in range(0,90,1)])

```

```

700 robot.update_obstacle_density(pseudo_readings)
701 robot.update_obstacle_density(pseudo_readings)
702 #print int(1.2/RESOLUTION), int(1.3/RESOLUTION)
703 robot.obstacle_grid[23, 26] = 20
704 robot.obstacle_grid[23, 27] = 20
705 robot.obstacle_grid[24, 26] = 20
706 robot.obstacle_grid[24, 27] = 20
707 robot.obstacle_grid[24, 25] = 17
708 robot.obstacle_grid[23, 25] = 16
709 robot.obstacle_grid[25, 24] = 10
710 robot.obstacle_grid[24, 24] = 8
711
712 #robot.obstacle_grid[30, 30] = -20
713
714 print "Updating the active window"
715 robot.update_active_window()
716 print robot.active_window[:, :, MAG], "\n"
717
718 print "Updating polar histogram"
719 robot.update_polar_histogram()
720 print robot.polar_hist, "\n"
721
722 print "Updating filtered histogram"
723 robot.update_filtered_polar_histogram()
724 print robot.filt_polar_hist, "\n"
725
726 print "Looking for valleys"
727 robot.find_valleys()
728 print robot.valleys, "\n"
729
730 try:
731     print "Setting steer direction"
732     cita = robot.calculate_steering_dir()
733     print cita, "\n"
734 except:
735     pass
736
737 ### Figuras y graficos ###
738 plt.figure(1)
739 x = [ALPHA*x for x in range(len(robot.filt_polar_hist))]
740 i = [a for a in range(len(robot.filt_polar_hist))]
741 plt.bar(x, robot.polar_hist, 4.0, 0, color='r')
742 plt.title("Histograma polar")
743
744 plt.figure(2)
745 plt.bar(x, robot.filt_polar_hist, 4.0 ) #, 0.1, 0, color='b')
746 plt.title("Histograma polar filtrado")
747
748 plt.figure(3)
749 plt.pcolor(robot._active_grid().T, alpha=0.75, edgecolors='k',vmin=0,vmax=20)
750 plt.xlabel("X")
751 plt.ylabel("Y", rotation='horizontal')
752 plt.title("Ventana activa")
753
754 plt.show()
755
756 if __name__ == "__main__":
757     main()

```



### A.3. Implementación del algoritmo VFH+

```

1  #!/usr/bin/python
2  # coding=utf8
3
4  r"""
5
6  Este módulo define el controlador para evasión mediante el
7  algoritmo VFH+, y constantes asociadas.
8
9  """
10
11 import numpy as np
12 import matplotlib.pyplot as plt
13
14
15
16 #####
17 ###           Constantes           ###
18 #####
19 ###           ###
20 ###           ###
21
22 # Size of the full Grid
23 GRID_SIZE = 125
24 r"""int: Tamaño de la cuadrícula de certeza.
25 """
26
27 # Maximum certantinty value
28 C_MAX = 20
29 r"""int: Valor máximo de certeza.
30 """
31
32 # Resolution of each cell (in m)
33 RESOLUTION = np.float_(0.04)
34 r"""float: Resolución de cada celda (en m).
35 """
36
37 # Size of the active window that
38 # travels with the robot
39 WINDOW_SIZE = 25
40 r"""int: Tamaño de la ventana activa.
41
42 .. warning::
43     La ventana activa debe tener un número impar de celdas.
44 """
45
46 assert WINDOW_SIZE%2 == 1, "Window should have an odd number of cells for better results"
47
48 WINDOW_CENTER = WINDOW_SIZE/2
49 r"""int: Índice de la celda central en la ventana activa.
50
51 Se define automáticamente a partir de ‘WINDOW_SIZE’.
52 """
53
54 # Size of each polar sector
55 # in the polar histogram (in degrees)
56 ALPHA = 5

```

```

57 r"""int: Tamaño de cada sector del histograma polar (en grados).
58
59 .. warning::
60     'ALPHA' debe ser un divisor de 360.
61 """
62 assert np.mod(360, ALPHA) == 0, "Alpha must define an int amount of sectors"
63
64 HIST_SIZE = 360/ALPHA
65 r"""int: Cantidad de sectores en el histograma polar.
66 Se define automáticamente a partir de 'ALPHA'.
67 """
68
69 # Constants for virtual vector magnitude calculations
70 #  $D_{max}^2 = 2*(ws-1/2)^2*R^2$ 
71 #  $A - B*D_{max}^2 = 1$ 
72 D_max2 = np.square((WINDOW_SIZE-1)*RESOLUTION)/2.0
73 B = np.float_(10.0)
74 r"""float: Constante :math:'b' de la ecuación de la magnitud del
75 vector de obstáculos.
76 """
77
78 A = np.float_(1+B*D_max2)
79 r"""float: Constante :math:'a' de la ecuación de la magnitud del
80 vector de obstáculos. Se define a partir de 'B' de modo que
81 se cumpla :math:'a - b \cdot d_{\{max\}}^2 = 1'.
82 """
83
84 # Constants for obstacle enlargement
85 # Robot radius
86 R_ROB = 0.02
87 r"""float: Radio del robot (en m).
88 """
89
90 # Minimum obstacle distance
91 D_S = 0.04
92 r"""float: Distancia mínima de obstáculo (en m).
93 """
94
95 R_RS = R_ROB + D_S
96 r"""float: Radio de compensación de obstáculos (en m).
97 """
98
99 # Valley/Peak threshold
100 T_LO = 3000.0
101 r"""float: Valor de umbral inferior para valles en el histograma polar.
102 """
103 T_HI = 3500.0
104 r"""float: Valor de umbral superior para valles en el histograma polar.
105 """
106 WIDE_V = HIST_SIZE/8
107 r"""int: Tamaño mínimo de valle ancho.
108 """
109 V_MAX = 0.0628
110 r"""float: Velocidad máxima del robot.
111 """
112 V_MIN = 0.0 #0.00628
113 r"""float: Velocidad mínima del robot.
114 """
115

```

```

116 # Cost function constants
117 # Recommended mu1 > m2 + m3
118 # mu1 = target following cost
119 # mu2 = sharp steering cost
120 # mu3 = direction committing cost
121 mu1 = 6.0
122 """float: Peso del costo de seguimiento.
123 """
124 mu2 = 2.0
125 """float: Peso del costo de cambios abruptos de dirección.
126 """
127 mu3 = 2.0
128 """float: Peso del costo de compromiso a una dirección.
129 """
130 MAX_COST = 180.0*(mu1+mu2+mu3)
131 """float: Máximo valor de la función de costo.
132 """
133
134 # Active window array indexes
135 MAG = 0
136 BETA = 1
137 DIST2 = 2
138 ABDIST = 3
139 GAMA = 4
140
141 ###                                     ###
142 ###                                     ###
143 #####
144
145 class VFHPModel:
146     r"""Clase que define el controlador para evasión mediante
147     el algoritmo VFH+.
148
149     Attributes
150     -----
151     obstacle_grid : ndarray of short
152         La cuadrícula de certeza. Cada celda tiene un valor entre
153         0 y :const:'C_MAX' que indica que tan probable es que
154         haya un obstáculo ocupando la celda.
155
156     active_window : ndarray of float
157         La ventana activa que se mueve con el robot. Cada celda
158         contiene cuatro valores: la magnitud del vector de
159         obstaculos :math:'m_{i,j}', la dirección del vector
160         :math:'\beta_{i,j}', la distancia al robot
161         :math:'d_{i,j}' y el ángulo de ensanchamiento
162         :math:'\gamma_{i,j}' .
163
164     polar_hist : ndarray of float
165         El histograma polar. Indica la densidad de obstáculos
166         en cada sector alrededor de la vecindad del robot.
167
168     bin_polar_hist : ndarray of bool
169         El histograma polar binario. Se construye a partir del
170         histograma polar. Un valor 'True' indica un sector
171         bloqueado.
172
173     masked_polar_hist : ndarray of bool
174         El histograma polar mascarado. Se contruye a partir del

```

```

175         histograma polar binario y los radios de giro
176         instantáneos. Un valor 'True' indica un sector
177         bloqueado.
178
179     valleys : list of 2-tuples
180         Contiene una lista de los valles en el histograma polar.
181         Cada es un par  $(s_1, s_2)$ , donde  $s_1$  es
182         el sector donde inicia y  $s_2$  donde termina, en
183         sentido antihorario.
184
185     x_0 : float
186         Posición del robot sobre el eje  $x$ .
187     y_0 : float
188         Posición del robot sobre el eje  $y$ .
189     cita : float
190         Orientación del robot respecto el eje  $z$ .
191
192     i_0 : float
193         Índice de la celda que ocupa el robot sobre la cuadrícula
194         de certeza en el eje  $x$ .
195     j_0 : float
196         Índice de la celda que ocupa el robot sobre la cuadrícula
197         de certeza en el eje  $y$ .
198     k_0 : float
199         Sector en el histograma polar de la dirección del robot
200         respecto el eje  $z$ .
201
202     target : tuple
203         Punto  $(x, y)$  objetivo o 'None' si
204         no se está siguiendo una trayectoria.
205
206     prev_dir : float
207         Última dirección de control.
208     prev_cost : cost
209         Costo de la última dirección de control.
210
211
212
213     Examples
214     -----
215
216     >>> import VFHP
217     >>> pseudo_readings = np.float_([[0.3, np.radians(x)] for x in range(0,90,1)])
218     >>> R_ROB = 0.01
219     >>> robot = VFHP.VFHPModel()
220     >>> robot.update_position(1.5,1.5,270.0)
221     >>> robot.update_obstacle_density(pseudo_readings)
222     >>> robot.update_active_window()
223     >>> robot.update_polar_histogram()
224     >>> robot.update_bin_polar_histogram()
225     >>> robot.update_masked_polar_hist(R_ROB,R_ROB)
226     >>> valles = robot.find_valleys()
227     >>> cita, v = robot.calculate_steering_dir(valles)
228
229     """
230
231     def __init__(self):
232
233         # The Obstacle Grid keeps count of the certainty values

```

```

234     # for each cell in the grid
235     grid_dim = (GRID_SIZE, GRID_SIZE)
236     self.obstacle_grid = np.zeros( grid_dim, dtype = np.int8 )
237
238     # The Active Window has information (magnitude,
239     # direction, distance to robot) of an obstacle vector
240     # for each active cell in the grid [mij, betaij, d^2, a-bd^2-ij, gij]
241     window_dim = (WINDOW_SIZE, WINDOW_SIZE, 5)
242     self.active_window = np.zeros( window_dim, dtype = np.float_ )
243
244     # Initialize angles and distance (these don't change)
245
246     print "INITIALIZING"
247     for i in xrange(WINDOW_SIZE):
248         for j in xrange(WINDOW_SIZE):
249             if j == WINDOW_CENTER and i == WINDOW_CENTER:
250                 continue
251             beta_p = np.degrees(np.arctan2(j-WINDOW_CENTER, i-WINDOW_CENTER))
252             self.active_window[i,j,BETA] = beta_p + 360 if beta_p < 0 else beta_p
253             # The distance is measured in terms of cells
254             # (independent of scale/resolution of the grid)
255             dist2 = np.square(RESOLUTION)*np.float_(np.square(i-WINDOW_CENTER) + np.
                square(j-WINDOW_CENTER))
256             self.active_window[i,j,DIST2] = dist2
257             self.active_window[i,j,ABDIST] = A - B*dist2
258             self.active_window[i,j,GAMA] = np.degrees(np.arcsin(np.float_(R_RS)/np.
                sqrt(dist2)))
259             if np.isnan(self.active_window[i,j,GAMA]):
260                 print "cell ({:d},{:d}) gamma = ".format(i,j), self.active_window[i,j,
                    GAMA]
261                 print "setting to 90.0"
262                 #print dist2, type(dist2)
263                 #print R_RS, type(R_RS)
264                 #print np.sqrt(dist2)
265                 #print np.float_(R_RS)/np.sqrt(dist2)
266                 #print "arcoseno ", np.arcsin(np.float_(R_RS)/np.sqrt(dist2))
267                 self.active_window[i,j,GAMA] = np.float_(90.0)
268
269     # The Polar Histogram maps each cell in the active window
270     # to one or more angular sector
271     hist_dim = HIST_SIZE
272     self.polar_hist = np.zeros( hist_dim, dtype = np.float_ )
273
274     # The Binary Polar Histogram defines free and blocked sectors
275     self.bin_polar_hist = np.zeros( hist_dim, dtype = np.bool_ )
276
277     # The Masked Polar Histogram further restricts the free sectors
278     # depending on vehicle dynamics
279     self.masked_polar_hist = np.zeros( hist_dim, dtype = np.bool_ )
280
281     # The valleys are stored as start-end pairs of sectors
282     # in the filtered polar histogram
283     self.valleys = []
284
285     # Real position of the robot
286     self.x_0 = 0.0
287     self.y_0 = 0.0
288     self.cita = 0.0
289

```

```

290     # Cell of the robot
291     self.i_0 = 0
292     self.j_0 = 0
293     # Sector of the robot
294     self.k_0 = 0
295
296     self.target = None
297     self.prev_dir = 0
298     self.prev_cost = 0
299
300 def set_target(self, x=None, y=None):
301     r"""Define el punto objetivo o deshabilita el seguimiento
302     de trayectorias.
303
304     Define un punto objetivo :math:(x,y) para la evasión
305     con seguimiento de trayectorias, o deshabilita el
306     seguimiento si el método es invocado sin parámetros.
307
308     Parameters
309     -----
310     x : float, opcional
311         Posición absoluta del objetivo sobre el eje :math:'x'.
312     y : float, opcional
313         Posición absoluta del objetivo sobre el eje :math:'y'.
314
315     Returns
316     -----
317     int
318         Retorna 1 si se estableció un punto objetivo o 0
319         si inhabilitó el seguimiento.
320
321     Raises
322     -----
323     ValueError
324         Si el objetivo dado se sale de la cuadrícula de
325         certeza.
326
327     Notes
328     -----
329
330     Modifica los siguientes atributos de clase:
331     * :attr:'target'
332
333     """
334     if x != None and y != None:
335         if x >= 0 and y >= 0 and \
336             x < GRID_SIZE*RESOLUTION and \
337             y < GRID_SIZE*RESOLUTION:
338             self.target = (x,y)
339             return 1
340         else:
341             raise ValueError("Tried to set the target ({:d},{:d}) outside the
342                             obstacle grid".format(x,y))
343     else:
344         self.target = None
345         return 0
346
347 def update_position(self, x, y, cita):
348     r"""Actualiza la posición del robot.

```

```

348
349     Parameters
350     -----
351     x : float
352         Posición absoluta del robot sobre el eje :math:'x'.
353     y : float
354         Posición absoluta del robot sobre el eje :math:'y'.
355     cita : float
356         Orientación del robot respecto el eje :math:'z'
357         en grados.
358
359     Notes
360     ----
361
362     Modifica los siguientes atributos de clase:
363
364     .. hlist::
365
366         * :attr:'x_0'
367         * :attr:'y_0'
368         * :attr:'cita'
369         * :attr:'i_0'
370         * :attr:'j_0'
371         * :attr:'k_0'
372
373     """
374     self.x_0 = x
375     self.y_0 = y
376     self.cita = cita if cita >= 0 else cita + 360
377
378     self.i_0 = int(x / RESOLUTION)
379     self.j_0 = int(y / RESOLUTION)
380     self.k_0 = int(self.cita / ALPHA)%HIST_SIZE
381
382
383     def update_obstacle_density(self, sensor_readings):
384         r"""Actualiza la cuadrícula de certeza a partir de las
385         lecturas de un sensor.
386
387         Para cada lectura aumenta el valor de una única celda
388         en 1, hasta un máximo de :const:'C_MAX'.
389
390     Parameters
391     -----
392     sensor_readings : ndarray
393         Una estructura de datos tipo ``numpy.ndarray`` que
394         contiene las lecturas de un sensor de distancias.
395         Debe ser un arreglo de dimensiones
396         :math:'(n\times 2)'' para :math:'n'' puntos o
397         lecturas, donde cada par representa una coordenada
398         polar :math:'(r,\theta)'' respecto al marco de
399         referencia del robot.
400
401     Raises
402     -----
403     TypeError
404         Si ``sensor_readings`` no es de tipo
405         ``numpy.ndarray``.
406     ValueError

```

```

407         Si 'sensor_readings' no tiene las dimensiones
408         correctas.
409
410     Notes
411     ----
412     Las coordenadas deben ser dadas en metros y radianes.
413
414     Modifica los siguientes atributos de clase:
415     * :attr:'obstacle_grid'
416
417     """
418     # Receives a numpy array of (r, theta) data points #
419     # r in meters, theta in radians
420     # 0,0 means no reading
421
422     if (type(sensor_readings) != np.ndarray):
423         raise TypeError("Expected numpy ndarray, received %s" % type(sensor_readings)
424                          )
425     elif sensor_readings.ndim != 2 or sensor_readings.shape[1] != 2:
426         raise ValueError("Expected (n, 2) array, received %s" % str(sensor_readings.
427                                shape))
428
429     for x in xrange(sensor_readings.shape[0]):
430         r, theta = sensor_readings[x,:]
431         if r == 0 and theta == 0:
432             continue
433         i = int( (self.x_0 + r*np.cos(theta + np.radians(self.cita)))/RESOLUTION )
434         j = int( (self.y_0 + r*np.sin(theta + np.radians(self.cita)))/RESOLUTION )
435         if self.obstacle_grid[i,j] < C_MAX: self.obstacle_grid[i,j] += 1
436
437     def _active_grid(self):
438
439         i_window = max(self.i_0 - (WINDOW_CENTER), 0)
440         j_window = max(self.j_0 - (WINDOW_CENTER), 0)
441         i_max = min(i_window + WINDOW_SIZE, GRID_SIZE)
442         j_max = min(j_window + WINDOW_SIZE, GRID_SIZE)
443
444         return self.obstacle_grid[i_window:i_max, j_window:j_max]
445
446     def update_active_window(self):
447         r"""Calcula la magnitud de los vectores de obstáculo para
448         las celdas de la ventana activa.
449
450         El cálculo se hace a partir de los datos guardados en la
451         :attr:'cuadrícula de certeza<obstacle_grid>'.
452
453     Notes
454     ----
455     Modifica los siguientes atributos de clase:
456     * :attr:'active_window'
457
458     """
459     i_window = self.i_0 - (WINDOW_CENTER)
460     j_window = self.j_0 - (WINDOW_CENTER)
461     for i in xrange(WINDOW_SIZE):
462         for j in xrange(WINDOW_SIZE):
463             if j == WINDOW_CENTER and i == WINDOW_CENTER:
464                 continue

```



```

464
465         grid_i = i_window + i
466         grid_j = j_window + j
467
468         if grid_i < 0 or grid_i > GRID_SIZE or grid_j < 0 or grid_j > GRID_SIZE:
469             self.active_window[i,j,MAG] = 0.0
470         else :
471             cij = np.float_(self.obstacle_grid[grid_i, grid_j])
472             self.active_window[i,j,MAG] = np.square(cij)*self.active_window[i,j,
                ABDIST]
473
474         #return self.active_window
475
476     def update_polar_histogram(self):
477         r"""Actualiza el histograma polar de obstáculos.
478
479         El cálculo se hace a partir de los vectores de obstáculo
480         guardados en la :attr:'ventana activa<active_window>'.
481         Cada celda puede afectar más de un sector angular,
482         esto se determina mediante el radio de compensación
483         :const:'R_RS'.
484
485         Notes
486         -----
487         Modifica los siguientes atributos de clase:
488         * :attr:'polar_hist'
489
490         """
491
492         for i in xrange(HIST_SIZE):
493             self.polar_hist[i] = 0
494
495         for i in xrange(WINDOW_SIZE):
496             for j in xrange(WINDOW_SIZE):
497                 if j == WINDOW_CENTER and i == WINDOW_CENTER:
498                     continue
499
500                 #print "Determine ranges for cell ({:d}, {:d})".format(i,j)
501                 beta = self.active_window[i,j,BETA]
502                 gama = self.active_window[i,j,GAMA]
503                 alfa = ALPHA
504                 #print beta, type(beta), gama, type(gama), alfa, type(alfa)
505
506                 # Determine the range of histogram sectors that needs to be updated
507                 low = int(np.ceil((self.active_window[i,j,BETA] - self.active_window[i,j,
                    GAMA])/ALPHA))
508                 #print low
509                 high = int(np.floor((self.active_window[i,j,BETA] + self.active_window[i,
                    j,GAMA])/ALPHA))
510                 #print high
511                 #print "Updating sectors [{:d} {:d}] for cell ({:d}, {:d})".format(low,
                    high, i, j)
512                 k_range = [x%HIST_SIZE for x in np.linspace(low, high, high-low+1, True,
                    dtype = int)]
513                 #print k_range
514                 for k in k_range:
515                     assert k < HIST_SIZE and k >= 0, "Error for polar histogram index: %d
                        on i = %d, j = %d" % (k, i, j)
516                     self.polar_hist[k] += self.active_window[i, j, MAG]

```

```

517         #return self.polar_hist
518
519
520     def update_bin_polar_histogram(self):
521         r"""Calcula el histograma polar binario.
522
523         El cálculo se hace a partir del
524         :attr:'histograma polar<polar_hist>' y los valores
525         de umbral :const:'T_HI' y :const:'T_L0'. Cada sector
526         se indica como bloqueado ('True') o libre ('False').
527
528         Modifica los siguientes atributos de clase:
529         * :attr:'bin_polar_hist'
530
531         """
532
533         for k in xrange(HIST_SIZE):
534             if self.polar_hist[k] > T_HI:
535                 blocked = True
536             elif self.polar_hist[k] < T_L0:
537                 blocked = False
538             else:
539                 blocked = self.bin_polar_hist[k]
540
541             self.bin_polar_hist[k] = blocked
542
543     def update_masked_polar_hist(self, steer_l, steer_r):
544         r"""Calcula el histograma polar mascarado.
545
546         El cálculo se hace a partir del
547         :attr:'histograma polar binario<bin_polar_hist>' y
548         el radio de giro mínimo en el momento del cálculo.
549         Las celdas ocupadas de la ventana activa bloquean
550         sectores adicionales dependiendo de la dirección actual
551         del robot y su capacidad de giro.
552
553         Parameters
554         -----
555         steer_l : float
556             Radio de giro mínimo del robot hacia la izquierda.
557         steer_r : float
558             Radio de giro mínimo del robot hacia la derecha.
559
560         Notes
561         ----
562         Modifica los siguientes atributos de clase:
563         * :attr:'masked_polar_hist'
564         """
565
566
567         phi_back = self.cita + 180.0
568         phi_back = phi_back - 360.0 if phi_back > 360.0 else phi_back
569
570         phi_left = phi_back
571         phi_right = phi_back
572
573         X_r = WINDOW_SIZE*RESOLUTION/2.0
574         Y_r = WINDOW_SIZE*RESOLUTION/2.0
575

```

```

576     print "INFO: Current dir is {:.3f}".format(self.cita)
577     print "INFO: phi_back is {:.3f}".format(phi_back)
578     for i in xrange(WINDOW_SIZE):
579         for j in xrange(WINDOW_SIZE):
580
581             if self.active_window[i,j,MAG] <= 2*(C_MAX**2) or (i == WINDOW_CENTER and
582                 j == WINDOW_CENTER):
583                 #print "Skipped cel ({}, {}) = {:.3f}".format(i,j,self.polar_hist[k])
584                 continue
585
586             if self.active_window[i,j,BETA] == self.cita:
587                 #print "Entering cell ({:d},{:d}) dead ahead".format(i,j)
588
589                 # position of the cell
590                 cij_x = (i+0.5)*RESOLUTION
591                 cij_y = (j+0.5)*RESOLUTION
592
593                 ##### Left steering radius
594                 r_robl_x = steer_l*np.cos(np.radians(self.cita+90.0))
595                 r_robl_y = steer_l*np.sin(np.radians(self.cita+90.0))
596                 # center of the steering radius in the active window
597                 r_steer_x = X_r + r_robl_x
598                 r_steer_y = Y_r + r_robl_y
599
600                 c_dist2 = np.square(cij_x - r_steer_x) + np.square(cij_y - r_steer_y)
601                 #print "Left dist {:.3f}".format(c_dist2)
602                 if c_dist2 < np.square(R_RS + steer_l):
603                     phi_left = self.active_window[i,j,BETA] + 0.1
604                     print "Setting left limit angle to {:.1f} on cell ({:d},{:d}) =
605                         {:.1f}".format(phi_left, i, j, self.active_window[i,j,MAG])
606
607                 ##### Right steering radius
608                 r_robr_x = steer_r*np.cos(np.radians(self.cita-90.0))
609                 r_robr_y = steer_r*np.sin(np.radians(self.cita-90.0))
610                 # center of the steering radius in the active window
611                 r_steer_x = X_r + r_robr_x
612                 r_steer_y = Y_r + r_robr_y
613
614                 c_dist2 = np.square(cij_x - r_steer_x) + np.square(cij_y - r_steer_y)
615                 #print "Right dist {:.3f}, limit {:.3f}".format(c_dist2,np.square(
616                     R_RS + steer_r))
617                 if c_dist2 < np.square(R_RS + steer_r):
618                     phi_right = self.active_window[i,j,BETA] - 0.1
619                     print "Setting right limit angle to {:.1f} on cell ({:d},{:d})".
620                         format(phi_right, i, j)
621
622             elif self._isInRange(self.cita, phi_left, self.active_window[i,j,BETA]):
623                 #left
624                 #print "Entering cell ({:d},{:d}) in left range".format(i,j)
625                 r_robl_x = steer_l*np.cos(np.radians(self.cita+90.0))
626                 r_robl_y = steer_l*np.sin(np.radians(self.cita+90.0))
627
628                 # center of the steering radius in the active window
629                 r_steer_x = X_r + r_robl_x
630                 r_steer_y = Y_r + r_robl_y
631
632                 # position of the cell
633                 cij_x = (i+0.5)*RESOLUTION

```

```

631         cij_y = (j+0.5)*RESOLUTION
632
633         # distance^2 from the cell to the steering center
634         c_dist2 = np.square(cij_x - r_steer_x) + np.square(cij_y - r_steer_y)
635
636         if c_dist2 < np.square(R_RS + steer_l):
637             phi_left = self.active_window[i,j,BETA]
638             print "Setting left limit angle to {:.1f} on cell ({:d},{:d}) =
        {:.1f}".format(phi_left, i, j, self.active_window[i,j,MAG])
639
640         elif self._isInRange(phi_right, self.cita, self.active_window[i,j,BETA]):
641             #right
642             #print "Entering cell ({:d},{:d}) in right range".format(i,j)
643             r_robr_x = steer_r*np.cos(np.radians(self.cita-90.0))
644             r_robr_y = steer_r*np.sin(np.radians(self.cita-90.0))
645
646             # center of the steering radius in the active window
647             r_steer_x = X_r + r_robr_x
648             r_steer_y = Y_r + r_robr_y
649
650             # position of the cell
651             cij_x = (i+0.5)*RESOLUTION
652             cij_y = (j+0.5)*RESOLUTION
653
654             # distance^2 from the cell to the steering center
655             c_dist2 = np.square(cij_x - r_steer_x) + np.square(cij_y - r_steer_y)
656
657             if c_dist2 < np.square(R_RS + steer_r):
658                 phi_right = self.active_window[i,j,BETA]
659                 print "Setting right limit angle to {:.1f} on cell ({:d},{:d})".
        format(phi_right, i, j)
660
661
662         print "Limit angles:"
663         print "Left:", phi_left
664         print "Right:", phi_right
665         print
666         for k in xrange(HIST_SIZE):
667             if self.bin_polar_hist[k] == False and self._isInRange(phi_right, phi_left, k*
        ALPHA):
668                 self.masked_polar_hist[k] = False
669             else:
670                 self.masked_polar_hist[k] = True
671
672         # This function determines if an angle in the range
673         # [0, 360[ is inside the sector given, from start to
674         # end (counter-clockwise), also angles in the range [0, 360[
675         @staticmethod
676         def _isInRange(start, end, angle):
677             if start < end:
678                 return (start <= angle and angle <= end)
679             else:
680                 return (start <= angle and angle <= 360) or (0 <= angle and angle <= end)
681
682
683         def find_valleys(self):
684             r"""Analiza el histograma polar mascarado y determina los
685             valles candidatos.
686

```

```

687     Los valles se obtienen a partir del
688     :attr:'histograma polar mascarado<masked_polar_hist>'.
689
690     Returns
691     -----
692     int
693         * '-1' si no se encuentra ningún sector
694           bloqueado en el hisotgrama polar mascarado.
695         * De lo contrario, el número de valles encontrados.
696     """
697
698     start = None
699     for x in xrange(HIST_SIZE):
700         if self.masked_polar_hist[x]:
701             start = x
702             break
703
704     # If no value was found over the threshold no action
705     # needs to be taken since there are no nearby obstacles
706     if start == None:
707         return -1
708
709     # Else, look for valleys after 'start'
710     # True means blocked in the masked histogram
711     # False means free
712     self.valleys = []
713     valley_found = False
714     for i in xrange(HIST_SIZE+1):
715         index = (start + i)%HIST_SIZE
716         if not valley_found:
717             if not self.masked_polar_hist[index]:
718                 v_start = index
719                 valley_found = True
720
721             else:
722                 if self.masked_polar_hist[index]:
723                     self.valleys.append(tuple([v_start, index-1]))
724                     valley_found = False
725     return len(self.valleys)
726
727 def calculate_steering_dir(self, valley_count):
728     r"""Calcula la dirección de movimiento para la evasión y
729     la rapidez del robot.
730
731     El cálculo de la dirección para el robot se hace a
732     partir de los valles candidato, la orientación actual
733     y el objetivo. Si no hay objetivo, se toma la dirección
734     actual de movimiento como objetivo.
735     Se usa una función de costo para seleccionar la dirección
736     de entre todas las candidatas. La rapidez se calcula del
737     costo de la dirección seleccionada, a mayor costo más
738     lento se moverá el robot.
739
740     Parameters
741     -----
742     valley_count : int
743         El resultado del llamado a :func:'find_valleys'.
744
745     Returns

```

```

746 -----
747 new_dir : float
748     La dirección del movimiento, dada en grados en el
749     rango :math:[0^\circ, \backslash:360^\circ[ ' .
750 V : float
751     La velocidad del robot.
752
753 Raises
754 -----
755 Exception
756     Si 'valley_count' es cero (todas las direcciones
757     están bloqueadas).
758
759 Notes
760 -----
761
762 Los valles angostos definen una única dirección
763 candidata, el medio del valle. Los anchos pueden definir
764 hasta tres: los bordes del valle y la dirección del
765 objetivo si esta se encuentra dentro del valle.
766
767 """
768
769 if valley_count == 0:
770     raise Exception("No candidate valleys found to calculate a new direction")
771
772 t_dir = None
773 if self.target != None:
774     # If there is a target for the robot we calculate the direction
775     t_dir = np.degrees(np.arctan2(self.target[1]-self.y_0, self.target[0]-self.
776                                 x_0))
777     t_dir = t_dir if t_dir >= 0 else t_dir + 360
778 else:
779     # Else set the current direction as the target
780     t_dir = self.cita
781
782 candidate_dirs = []
783
784 print self.valleys
785 if valley_count == -1:
786     print "No obstacles nearby, setting route to target at {:.1f}".format(t_dir)
787     candidate_dirs.append(t_dir)
788 else:
789     for v in self.valleys:
790         s1, s2 = v
791         v_size = (s2 - s1) if s2 >= s1 else HIST_SIZE - (s1-s2)
792
793         if v_size < WIDE_V:
794             # Narrow valley
795             # The only target dir is the middle of
796             # the opening
797             print "narrow valley"
798             c_center = ALPHA*(s1 + v_size/2.0)
799             c_center = c_center - 360.0 if c_center >= 360.0 else c_center
800             candidate_dirs.append(c_center)
801
802         else:
803             # Wide valley

```

```

804         # Target dirs are the left and right
805         # borders,
806         print "wide valley"
807         c_right = ALPHA*(s1 + WIDE_V/2.0)
808         c_right = c_right - 360.0 if c_right >= 360.0 else c_right
809
810         c_left = ALPHA*(s2 - WIDE_V/2.0)
811         c_left = c_left + 360.0 if c_left < 0.0 else c_left
812
813         candidate_dirs.append(c_left)
814         candidate_dirs.append(c_right)
815
816         if c_right != c_left and self._isInRange(c_right, c_left, t_dir):
817             candidate_dirs.append(t_dir)
818
819     print candidate_dirs
820     # Once all we know all possible candidate dirs
821     # choose the one with the lowest cost
822     new_dir = None
823     best_cost = None
824     for c in candidate_dirs:
825         cost = mu1*self._abs_angle_diff(c, t_dir) + \
826             mu2*self._abs_angle_diff(c, self.cita) + \
827             mu3*self._abs_angle_diff(c, self.prev_dir)
828         print "For candidate dir {:.1f}: {:.3f} cost".format(c, cost)
829
830         if best_cost == None:
831             new_dir = c
832             best_cost = cost
833         elif cost < best_cost:
834             new_dir = c
835             best_cost = cost
836
837     self.prev_dir = new_dir
838     self.prev_cost = best_cost
839
840     V = V_MAX*(1 - best_cost/MAX_COST) + V_MIN
841
842     print "Setting dir to {:.1f}".format(new_dir)
843     return new_dir, V
844
845     @staticmethod
846     def _abs_angle_diff(a1, a2):
847         return min(360.0 - abs(a1 - a2), abs(a1 - a2))
848
849     def calculate_speed(self):
850
851         V = V_MAX*(1 - self.prev_cost/MAX_COST) + V_MIN
852         return V
853
854     @staticmethod
855     def _dist(array, i, j):
856         n_dist = abs(i-j)
857         return min(n_dist, len(array) - n_dist)
858
859
860 def main():
861     np.set_printoptions(precision=2)
862     robot = VFHPModel()

```

```

863     print "Obstacle grid"
864     print robot.obstacle_grid, "\n"
865     print "Active Window angles"
866     print robot.active_window[:, :, BETA], "\n"
867     print "Active Window squared distances"
868     print robot.active_window[:, :, DIST2], "\n"
869     print "Active Window a-bd^2 constants"
870     print robot.active_window[:, :, ABDIST], "\n"
871     print "Max distance squared: %f" % D_max2
872
873
874     print("Updating the obstacle grid and robot position")
875
876     robot.update_position(1.5, 1.5, 90.0)
877
878     #robot.obstacle_grid[1,6] = 1
879     #robot.obstacle_grid[1,5] = 2
880     #robot.obstacle_grid[1,4] = 2
881     #robot.obstacle_grid[1,3] = 5
882     #robot.obstacle_grid[2,2] = 3
883     #robot.obstacle_grid[3,2] = 3
884     #robot.obstacle_grid[4,2] = 3
885 #
886 #     robot.obstacle_grid[9,2] = 4
887 #     robot.obstacle_grid[9,3] = 5
888 #     robot.obstacle_grid[9,4] = 6
889 #     robot.obstacle_grid[9,5] = 5
890 #     robot.obstacle_grid[9,6] = 4
891
892     robot.obstacle_grid[27,30] = 20
893     robot.obstacle_grid[27,31] = 20
894     robot.obstacle_grid[27,29] = 20
895     robot.obstacle_grid[28,30] = 20
896     robot.obstacle_grid[26,30] = 20
897
898     robot.obstacle_grid[30,37] = 20
899     robot.obstacle_grid[31,37] = 20
900     robot.obstacle_grid[29,37] = 20
901     robot.obstacle_grid[30,38] = 20
902     robot.obstacle_grid[30,36] = 20
903
904     robot.obstacle_grid[41,30] = 20
905     robot.obstacle_grid[40,30] = 20
906     robot.obstacle_grid[42,30] = 20
907     robot.obstacle_grid[41,31] = 20
908     robot.obstacle_grid[41,29] = 20
909
910     print "i , j , k "
911     print robot.i_0, robot.j_0, robot.k_0
912     print robot._active_grid(), "\n"
913
914     print "Simulating a set of sensor readings"
915     pseudo_readings = np.float_([[0.2, np.radians(x)] for x in range(0,90,2)])
916     #pseudo_readings = np.float_([[0.3,
917     robot.update_obstacle_density(pseudo_readings)
918
919
920     print "Updating the active window"
921     robot.update_active_window()

```



```

922     print robot.active_window[:, :, MAG], "\n"
923
924     print "Updating polar histogram"
925     robot.update_polar_histogram()
926     print robot.polar_hist, "\n"
927
928     print "Updating binary histogram"
929     robot.update_bin_polar_histogram()
930     print robot.bin_polar_hist, "\n"
931
932     print "Updating masked polar histogram"
933     robot.update_masked_polar_hist(R_ROB*1, R_ROB*1)
934     print robot.masked_polar_hist, "\n"
935
936     print "Looking for valleys"
937     robot.find_valleys()
938     print robot.valleys, "\n"
939
940     print "Select new direction"
941     robot.prev_dir = 90.0
942     print robot.calculate_steering_dir(), "\n"
943
944     print "Setting speed to (MAX = {:.2f})".format(V_MAX)
945     print robot.calculate_speed(), "\n"
946
947
948 #     print "Updating filtered histogram"
949 #     robot.update_filtered_polar_histogram()
950 #     print robot.filt_polar_hist, "\n"
951 #
952 #     print "Looking for valleys"
953 #     robot.find_valleys()
954 #     print robot.valleys, "\n"
955 #
956 #     try:
957 #         print "Setting steer direction"
958 #         cita = robot.calculate_steering_dir()
959 #         print cita, "\n"
960 #     except:
961 #         pass
962
963     ### Figuras y graficos ###
964 #
965 #     plt.figure(2)
966 #     plt.plot(i, robot.filt_polar_hist ) #, 0.1, 0, color='b')
967 #     plt.title("Histograma polar filtrado")
968
969     plt.figure(1)
970     plt.pcolor(robot._active_grid().T, alpha=0.75, edgecolors='k', vmin=0, vmax=20)
971     plt.xlabel("X")
972     plt.ylabel("Y", rotation='horizontal')
973
974     plt.figure(2)
975     x = [ALPHA*x for x in range(len(robot.polar_hist))]
976     i = [a for a in range(len(robot.polar_hist))]
977     plt.bar(x, robot.polar_hist, 3.0, 0, color='r')
978     plt.title("Histograma polar")
979
980     plt.figure(3)

```

```

981     x = [ALPHA*x for x in range(len(robot.polar_hist))]
982     i = [a for a in range(len(robot.polar_hist))]
983     plt.bar(x, robot.bin_polar_hist, 3.0, 0, color='b')
984     plt.title("Histograma polar binario")
985
986     plt.figure(4)
987     x = [ALPHA*x for x in range(len(robot.polar_hist))]
988     i = [a for a in range(len(robot.polar_hist))]
989     plt.bar(x, robot.masked_polar_hist, 3.0, 0, color='g')
990     plt.title("Histograma polar mascarado")
991
992     plt.show()
993
994 if __name__ == "__main__":
995     main()

```

## A.4. Modelo Robot Diferencial

```

1
2 # coding=utf8
3
4 import sys
5 import numpy as np
6 import PID
7 import VFH
8 import VFHP
9 import Braitenberg as bra
10
11 r"""
12 .. ::module DiffRobot
13
14 Este módulo define un modelo para el robot diferencial, que sirve de
15 interfaz entre los controladores de evasión y los motores.
16
17 """
18
19 TARGET_X = 2.5
20 TARGET_Y = 3.5
21
22 M_VFH = 0
23 """int: Modo de operación con VFH.
24 """
25
26 M_BRAIT = 1
27 """int: Modo de operación con vehículo de Braitenberg.
28 """
29
30 M_VFHP = 2
31 """int: Modo de operación con VFH+.
32 """
33
34 # Robot diferencial
35 class DiffModel(object):
36     r"""Clase para el modelo del robot diferencial.
37
38     Define un objeto que representa el robot diferencial, y permite
39     abstraer la cinemática (comandos para los motores) a comandos
40     de alto nivel.

```

```

41
42 Parameters
43 -----
44 r : float, opcional
45     Radio de las ruedas (m).
46 b : float, opcional
47     Distancia entre las ruedas (m).
48 wm_max : float, opcional
49     Máxima velocidad angular de los motores (rad/s).
50 c_type : {:const:'M_VFH', :const:'M_BRAIT', :const:'M_VFHP'}, opcional
51     Tipo de controlador para la evasión de obstáculos.
52
53 Attributes
54 -----
55 r : float
56     Radio de las ruedas (m).
57 b : float
58     Distancia entre las ruedas (m).
59 wm_max : float
60     Máxima velocidad angular del motor (rad/s).
61 omega_max : float
62     Máxima velocidad angular del robot (velocidad de giro, en rad/s).
63 v_max : float
64     Máxima velocidad lineal del robot (m/s).
65 model : Controlador
66     Una instancia de un controlador para evasión, se escoge a partir de 'c_type'.
67
68 v_ref : float
69     Valor de velocidad lineal de referencia para el movimiento del robot, definido
70     por
71     el controlador :attr:'model'.
72 w_ref : float
73     Valor de velocidad angular de referencia para el movimiento del robot (rad/s).
74     Definido por
75     el controlador :attr:'model'.
76 w_prev : float
77     Velocidad angular anterior (rad/s). Usado por el controlador VFH para calcular
78     la velocidad angular actual.
79
80 cita : float
81     Dirección actual del robot (rad).
82 cita_prev : float
83     Dirección anterior del robot (rad), usado por el controlador VFH para calcular la
84     velocidad angular actual.
85 cita_ref : float
86     Dirección de referencia para el movimiento del robot (rad). Se usa en el caso de
87     los
88     controladores VFH y VFH+, luego un PID determina la velocidad angular requerida
89     :attr:'w_ref' para alcanzar esta dirección.
90
91 left_motor : float
92     Velocidad angular del motor izquierdo (rad/s).
93 right_motor : float
94     Velocidad angular del motor derecho (rad/s).
95
96 angle_controller : :class:'PID.PID'
97     Un controlador PID que se usa con los algoritmos VFH y VFH+ para determinar la
98     velocidad angular de referencia :attr:'w_ref' a partir de la dirección de
99     referencia

```

```

96         :attr:'cita_ref'.
97     """
98
99     def __init__(self, r=0.02, b=0.05, wm_max=6.28, c_type = 0):
100         # r = radio de las ruedas [m]
101         self.r = r
102
103         # b = distancia entre las ruedas [m]
104         self.b = b
105
106         # wm_max = maxima velocidad angular de rotacion de las ruedas
107         # omega_max = maxima velocidad angular de rotacion del robot
108         self.wm_max = wm_max
109         self.omega_max = 0.9*r*wm_max/b
110         self.v_max = 0.9*r*wm_max
111
112         self.model = None
113         self.c_type = c_type
114         if c_type == M_VFH:
115             print "Using VFH algorithm"
116             VFH.OMEGA_MAX = self.omega_max
117             VFH.V_MAX = self.v_max
118             VFH.V_MIN = self.v_max*0.2
119             self.model = VFH.VFHModel()
120         elif c_type == M_BRAIT:
121             print "Using Braitenberg algorithm"
122             self.model = bra.BraitModel(bra.SMODE_FULL, 0.05, 0.3, -self.v_max*0.1, self.
                v_max, self.omega_max)
123         elif c_type == M_VFHP:
124             print "Using VFH+ algorithm"
125             self.model = VFHP.VFHPModel()
126             VFHP.OMEGA_MAX = self.omega_max
127             VFHP.V_MAX = self.v_max
128             VFHP.V_MIN = self.v_max*0.2
129             self.model = VFHP.VFHPModel()
130
131
132         # Valores deseados de velocidad, velocidad angular y
133         # orientacion
134         self.v_ref = 0.0
135         self.w_ref = 0.0
136         self.w_prev = 0.0
137
138         self.cita = 0.0
139         self.cita_prev = 0.0
140         self.cita_ref = 0.0
141
142         # Velocidades de los motores
143         self.left_motor = 0.0
144         self.right_motor = 0.0
145
146         # Controlador PI para la orientacion del robot
147         # Kp = 0.808, Ti = 3.5 (sintonizacion kogestad)
148         self.angle_controller = PID.PID(1.2, 10.0, 0.0, self.omega_max, -self.omega_max)
149         self.angle_controller.begin(0.0)
150
151         # Todas las mediciones se dan en el sistema metrico [m, rad]
152         def set_initial_pos(self, x, y, cita):
153             r"""Define la postura inicial del robot.

```

```

154
155     Indica las condiciones iniciales :math:'(x,\; y,\; \; \theta)' del robot.
156
157     Parameters
158     -----
159     x : float
160         Posición absoluta del robot sobre el eje :math:'x'
161         en metros.
162     y : float
163         Posición absoluta del robot sobre el eje :math:'y'
164         en metros.
165     cita : float
166         Orientación del robot respecto el eje :math:'z'
167         en radianes.
168
169     Notes
170     ----
171     Modifica el estado interno del controlador :attr:'model'.
172
173     """
174
175     if self.c_type == M_VFH:
176         self._set_initial_pos_VFH(x,y,cita)
177     elif self.c_type == M_BRAIT:
178         self._set_initial_pos_Brait(x,y,cita)
179     elif self.c_type == M_VFHP:
180         self._set_initial_pos_VFHP(x,y,cita)
181     else:
182         print "ERROR: no control type defined!"
183
184
185     def _set_initial_pos_VFH(self, x, y, cita):
186         self.cita = cita
187         self.cita_prev = cita
188         self.w_prev = 0.0
189         self.model.update_position(x, y, np.degrees(cita))
190         self.angle_controller.setInput(cita)
191         self.angle_controller.setRef(cita)
192
193     def _set_initial_pos_Brait(self, x, y, cita):
194         self.model.UpdatePos(x, y, cita)
195
196     def _set_initial_pos_VFHP(self, x, y, cita):
197         self.cita = cita
198         #self.cita_prev = cita
199         #self.w_prev = 0.0
200         self.model.update_position(x, y, np.degrees(cita))
201         self.angle_controller.setInput(cita)
202         self.angle_controller.setRef(cita)
203
204     def set_target(self, x, y):
205         r"""Indica un punto objetivo.
206
207         Habilita el seguimiento de trayectorias e indica
208         al robot el punto al cual debe dirigirse.
209
210     Parameters
211     -----
212     x : float

```

```

213         Posición absoluta del objetivo sobre el eje :math:'x'.
214     y : float
215         Posición absoluta del objetivo sobre el eje :math:'y'.
216
217     Notes
218     -----
219     Modifica el estado interno del controlador :attr:'model'.
220     """
221
222     if self.c_type == M_VFH:
223         self.model.set_target(x,y)
224     elif self.c_type == M_BRAIT:
225         self.model.SetTarget(x,y)
226     elif self.c_type == M_VFHP:
227         self.model.set_target(x,y)
228     else:
229         print "ERROR: no control type defined!"
230
231 def unset_target(self):
232     r"""Dehabilita el seguimiento de trayectorias.
233
234
235     Notes
236     -----
237     Modifica el estado interno del controlador :attr:'model'.
238     """
239
240     if self.c_type == M_VFH:
241         self.model.set_target()
242     elif self.c_type == M_BRAIT:
243         self.model.SetTarget(0,0,True)
244     elif self.c_type == M_VFHP:
245         self.model.set_target()
246     else:
247         print "ERROR: no control type defined!"
248
249 def update_pos(self, x, y, cita, delta_t):
250     r"""Actualiza la posición del robot.
251
252
253     Parameters
254     -----
255     x : float
256         Posición absoluta del robot sobre el eje :math:'x'.
257     y : float
258         Posición absoluta del robot sobre el eje :math:'y'.
259     cita : float
260         Orientación del robot respecto el eje :math:'z'
261         en radianes.
262     delta_t : float
263         El tiempo transcurrido desde la última actualización.
264
265     Notes
266     -----
267     Modifica el estado interno del controlador :attr:'model',
268     además del atributo :attr:'cita'. En el caso de VFH y VFH+
269     realiza un paso de integración del PID.
270     """
271
272     if self.c_type == M_VFH:
273         self._update_pos_VFH(x,y,cita,delta_t)

```

```

272         elif self.c_type == M_BRAIT:
273             self._update_pos_Brait(x,y,cita,delta_t)
274         elif self.c_type == M_VFHP:
275             self._update_pos_VFHP(x,y,cita,delta_t)
276         else:
277             print "ERROR: no control type defined!"
278
279     def _update_pos_VFH(self, x, y, cita, delta_t):
280
281         self.cita_prev = self.cita
282         self.cita = cita
283         self.w_prev = 0.7*PID.angleDiff(self.cita, self.cita_prev)/delta_t + 0.3*self.
            w_prev
284
285         # El controlador VFH requiere angulos en grados
286         self.model.update_position(x, y, np.degrees(cita))
287         self.angle_controller.setInput(cita)
288         self.w_ref = self.angle_controller.timestep(delta_t)
289         print "PID readings: effort %f, error %f, acumulated_error %f " % (self.w_ref ,
            self.angle_controller.error, self.angle_controller._integral)
290
291     def _update_pos_Brait(self, x, y, cita, delta_t):
292         self.cita = cita
293         self.model.UpdatePos(x, y, cita)
294
295     def _update_pos_VFHP(self, x, y, cita, delta_t):
296
297         self.cita = cita
298         self.model.update_position(x, y, np.degrees(cita))
299
300         self.angle_controller.setInput(cita)
301         self.w_ref = self.angle_controller.timestep(delta_t)
302         print "PID readings: effort %f, error %f, acumulated_error %f " % (self.w_ref ,
            self.angle_controller.error, self.angle_controller._integral)
303
304     def update_readings(self, data):
305         r"""Procesa las lecturas de un sensor.
306
307         Actualiza el estado del controlador :attr:'model'
308         con las lecturas de un sensor de distancia.
309
310         Parameters
311         -----
312         data : ndarray
313             Una estructura de datos tipo 'numpy.ndarray' que
314             contiene las lecturas de un sensor de distancias.
315             Debe ser un arreglo de dimensiones
316             :math:(n \times 2)' para :math:'n' puntos o
317             lecturas, donde cada par representa una coordenada
318             polar :math:'(r,\theta)' respecto al marco de
319             referencia del robot, dada en metros y radianes.
320
321         """
322         if self.c_type == M_VFH:
323             self._update_readings_VFH(data)
324         elif self.c_type == M_BRAIT:
325             self._update_readings_Brait(data)
326         elif self.c_type == M_VFHP:
327             self._update_readings_VFHP(data)

```

```

328         else:
329             print "ERROR: no control type defined!"
330
331     def _update_readings_VFH(self, data):
332         try:
333             self.model.update_obstacle_density(data)
334         except Exception as e:
335             print "Exception caught during sensor update:"
336             print e
337
338     def _update_readings_Brait(self, data):
339         self.model.UpdateSensors(data)
340
341     def _update_readings_VFHP(self, data):
342         try:
343             self.model.update_obstacle_density(data)
344         except Exception as e:
345             print "Exception caught during sensor update:"
346             print e
347         pass
348
349     def update_target(self):
350         r"""Aplica la acción de control para evasión de obstáculos.
351
352         Actualiza el estado interno de :attr:'model' para obtener
353         la acción de control :math: '(v_{ref}, w_{ref})'. Luego,
354         la convierte en acciones individuales sobre cada motor
355         mediante el método :meth:'setMotorSpeed'.
356
357         Notes
358         -----
359         Modifica los siguientes atributos de clase:
360
361         .. hlist::
362
363             * :attr:'v_ref'
364             * :attr:'cita_ref'
365             * :attr:'w_ref'
366             * :attr:'left_motor'
367             * :attr:'right_motor'
368         """
369         if self.c_type == M_VFH:
370             self._update_target_VFH()
371         elif self.c_type == M_BRAIT:
372             self._update_target_Brait()
373         elif self.c_type == M_VFHP:
374             self._update_target_VFHP()
375         else:
376             print "ERROR: no control type defined!"
377
378     def _update_target_VFH(self):
379         self.model.update_active_window()
380         self.model.update_polar_histogram()
381         self.model.update_filtered_polar_histogram()
382
383         if self.model.find_valleys() != -1:
384             try:
385                 self.cita_ref = np.radians(self.model.calculate_steering_dir())
386             except Exception as e:

```



```

387         print "No valleys found, keeping current dir"
388         self.cita_ref = np.radians(self.model.cita)
389
390         self.v_ref = self.model.calculate_speed(self.w_prev)
391         print "Obstacle detected! target dir is %f" % self.cita_ref
392     else:
393         print "No nearby obstacles keeping current dir"
394         self.cita_ref = np.radians(self.model.cita)
395         print "Setting target dir at %f" % self.cita_ref
396         #self.w_ref = 0.0
397         self.v_ref = self.v_max
398
399         # Se actualiza el valor deseado de orientacion
400         # en el controlador
401         self.angle_controller.setRef(self.cita_ref)
402         self.setMotorSpeed()
403
404     def _update_target_Brait(self):
405         if self.model.target == None:
406             v, w = self.model.Evade2b()
407         else:
408             v, w = self.model.Mixed2b3a()
409         self.v_ref = v
410         self.w_ref = w
411         self.setMotorSpeed()
412
413     def _update_target_VFHP(self):
414         self.model.update_active_window()
415         self.model.update_polar_histogram()
416         self.model.update_bin_polar_histogram()
417         self.model.update_masked_polar_hist(self.b, self.b)
418
419         try:
420             result = self.model.find_valleys()
421             cita, v = self.model.calculate_steering_dir(result)
422         except Exception as e:
423             print "Exception caught on VHF+ control loop"
424             print e
425             cita = self.cita_ref
426             v = self.v_ref
427
428         self.v_ref = v
429         self.cita_ref = np.radians(cita)
430         self.angle_controller.setRef(self.cita_ref)
431         self.setMotorSpeed()
432
433     def setMotorSpeed(self):
434         r"""Determina la velocidad de los motores.
435
436         Determina la velocidad individual que debe tener cada
437         motor (en rad/s), según el modelo cinemático inverso, para
438         que el robot alcance la velocidad lineal y angular de
439         referencia :attr:'v_ref' y :attr:'w_ref'.
440
441         Notes
442         -----
443         Modifica los siguientes atributos de clase:
444
445         .. hlist::

```

```

446
447         * :attr:'left_motor'
448         * :attr:'right_motor'
449     """
450     self.left_motor = (self.v_ref - self.b*self.w_ref)/self.r
451     self.right_motor = (self.v_ref + self.b*self.w_ref)/self.r
452
453     def __str__(self):
454         info = "(x=%f, y=%f, g=%f)\n" % (self.model.x_0, self.model.y_0, self.cita)
455         ref = "(g_ref=%f, w_ref=%f, v_ref=%f)" % (self.cita_ref, self.w_ref, self.v_ref)
456         struct = "Radio de las ruedas: %f\nDistancia entre las ruedas: %f\n" % (self.r,
457                                     self.b)
458         actu = "Vel Motores: [%f , %f]\n" % (self.left_motor, self.right_motor)
459         return "%s%s%s%s" % (struct, info, ref, actu)
460
461     def __print__(self):
462         print str(self)
463
464
465     def main():
466         # simulamos 50 ms
467         dt = 0.5
468
469         robot = DiffModel(c_type=M_VFHP)
470         robot.set_initial_pos(2.5, 2.5, 0)
471         robot.update_pos(2.5,2.5,0,dt)
472
473         pseudo_readings = np.float_([[0.25, np.radians(x)] for x in range(0,220,1)])
474         robot.update_readings(pseudo_readings)
475         robot.update_target()
476
477         robot.update_pos(2.5,2.5,0,dt)
478         robot.update_target()
479
480         print robot.model._active_grid()
481
482         print robot
483
484     if __name__ == "__main__":
485         main()

```

## A.5. Controlador PID sencillo

```

1 import numpy as np
2 import time
3
4 class PID:
5
6     def __init__(self, Kp, Ti, Td, MAX, MIN):
7         self.Kp = np.float_(Kp)
8         self.Ti = np.float_(Ti)
9         self.Td = np.float_(Td)
10        self.max = np.float_(MAX)
11        self.min = np.float_(MIN)
12
13        self.ref = np.float_(0)
14

```

```

15         self.error = np.float_(0)
16         self._integral = np.float_(0)
17         self._derivada = np.float_(0)
18         self.effort = np.float(0)
19
20         self.past_error = np.float_(0)
21         self.past_input = np.dtype(np.float_)
22
23     def setRef(self, ref):
24         self.ref = np.float_(ref)
25
26     def setInput(self, inp):
27         self.input = np.float_(inp)
28
29     def begin(self, entrada):
30         self.past_input = np.float_(entrada)
31
32     def timestep(self, delta_t):
33
34         # Luego se determina el error, el termino integral y el derivativo
35         self.error = angleDiff(self.ref, self.input)
36         self._derivada = -angleDiff(self.input, self.past_input)/delta_t
37         self._integral = self._integral + (self.error + self.past_error)*delta_t/2
38
39
40         # Se calcula el esfuerzo del controlador
41         self.effort = self.Kp*(self.error + self._integral/self.Ti + self._derivada*self.
            Td)
42         if self.effort > self.max:
43             self.effort = self.max
44         elif self.effort < self.min:
45             self.effort = self.min
46
47         # Se actualizan los valores pasados
48         self.past_error = self.error
49         self.past_input = self.input
50         return self.effort
51
52     # Calcula a1 - a2 [radianes]
53     def angleDiff(a1, a2):
54         return np.arctan2(np.sin(a1-a2), np.cos(a1-a2))

```

## A.6. Programa de enlace con V-REP

```

1  #!/usr/bin/env python
2  # -*- coding: utf-8 -*-
3
4  import sys
5  import platform
6  import os
7  import time
8  import math
9  import numpy as np
10 import matplotlib.pyplot as plt
11
12 logfile_name = 'HokuyoRob.log'
13 print "Redirecting stdout and stderr to logfile %s" % logfile_name
14 sys.stdout.flush()

```

```

15 logfile = open(logfile_name, 'w')
16 sys.stdout = logfile
17 print "LOG START"
18
19 windows_path = 'C:\\Program Files (x86)\\V-REP3\\V-REP_PRO_EDU\\Obstacle-Avoidance\\Py'
20 linux_path = '/home/daniel/Documents/UCR/XI Semestre/Proyecto/Codigo/Obstacle-Avoidance/Py'
21
22 pwd = os.path.dirname(os.path.realpath(__file__))
23 agnostic_path = os.path.abspath(os.path.join(pwd, '..', 'Py'))
24
25 if "Linux" in platform.system():
26     sys.path.insert(0, linux_path)
27 elif "Windows" in platform.system():
28     sys.path.insert(0, windows_path)
29 else:
30     print "Unrecognizable OS"
31     sys.path.insert(0, agnostic_path)
32
33 import Braitenberg as brait
34 import DiffRobot as DR
35 import VFH as vfh
36 import VFHP as vfhp
37
38
39
40 try:
41     import vrep
42 except:
43     print ('-----')
44     print ('"vrep.py" could not be imported. This means very probably that')
45     print ('either "vrep.py" or the remoteApi library could not be found.')
46     print ('Make sure both are in the same folder as this file,')
47     print ('or appropriately adjust the file "vrep.py"')
48
49     print ('-----')
50     print ('')
51
52
53 try:
54     import msvcrt as m
55     def wait():
56         sys.stdout.flush()
57         m.getch()
58
59 except Exception as e:
60     print e
61     print "Defaulting wait function"
62     def wait():
63         sys.stdout.flush()
64         raw_input("")
65
66
67 def runSim(argc, argv):
68
69     #####
70     ### First start up the conection ###
71     ### and parse arguments          ###
72

```

```

73     portNb = 0
74     leftMotorHandle = None
75     rightMotorHandle = None
76     leftSensorHandle = None
77     rightSensorHandle = None
78
79     print "Initializing values"
80     if argc == 9:
81         portNb = int(argv[1])
82         leftMotorHandle = int(argv[2])
83         rightMotorHandle = int(argv[3])
84         leftSensorHandle = int(argv[4])
85         rightSensorHandle = int(argv[5])
86         laserSignalName = str(argv[6])
87         posSignalName = str(argv[7])
88         oriSignalName = str(argv[8])
89     else:
90         print "Arguments error"
91         time.sleep(5)
92         return 0
93
94     clientID = vrep.simxStart("127.0.0.1",portNb,True,True,2000,5)
95
96     ###
97     #####
98
99     if clientID != -1:
100
101         ### Succesfull Conection!
102         print "%s Conected to V-Rep" % argv[0]
103
104         #####
105         ### Global var definition ###
106         ### and initialization ###
107
108         #robot = vfh.VFHModel()
109         print "Iniciando el robot!"
110
111         modo = DR.M_VFH
112         #modo = DR.M_BRAIT
113         #modo = DR.M_VFHP
114
115         data_filename = "sim_data_{:d}.csv".format(modo)
116         data_dump = open(data_filename, 'w')
117
118
119         robot = DR.DiffModel(c_type=modo)
120
121         # Pista 1
122         robot.set_target(2.5,3.0)
123
124         # Pista 2
125         #robot.set_target(2.6,3.1)
126
127         # Pista 3
128         #robot.set_target(2.75,3.5)
129
130
131         X_TRAS = 2.5

```

```

132 Y_TRAS = 2.5
133 G_TRAS = 0.0
134 robot.set_initial_pos(X_TRAS, Y_TRAS, np.pi/2)
135
136 # Sin objetivo
137 #target = None
138
139 # Pista 1
140 target = np.array([2.5-X_TRAS, 3.0-Y_TRAS])
141
142 # Pista 2
143 #target = np.array([2.6-X_TRAS, 3.1-Y_TRAS])
144
145 # Pista 3
146 #target = np.array([2.75-X_TRAS, 3.5-Y_TRAS])
147
148 simTime = 0.0
149
150 motorSpeeds = [0., 0.]
151 sensorReadings = [0., 0.]
152
153 # Laser Signal
154 laserReturnCode, laserSignal = vrep.simxGetStringSignal(clientID, laserSignalName
155 , vrep.simx_opmode_streaming)
156 if laserReturnCode == vrep.simx_return_ok:
157     print "Laser Signal returned ok on first call, this is unexpeted"
158 elif laserReturnCode == vrep.simx_return_novalue_flag:
159     print "Laser Signal stream opened succesfully!"
160 else:
161     print "ERROR: failed to open the Laser Signal stream"
162     raise Exception("Error while opening %s StringSignal, call returned %d" % (
163         laserSignal, laserReturnCode))
164
165 # Position Signal
166 posReturnCode, posSignal = vrep.simxGetStringSignal(clientID, posSignalName, vrep
167 .simx_opmode_streaming)
168 if posReturnCode == vrep.simx_return_ok:
169     print "Pos Signal returned ok on first call, this is unexpeted"
170 elif posReturnCode == vrep.simx_return_novalue_flag:
171     print "Pos Signal stream opened succesfully!"
172 else:
173     print "ERROR: failed to open the Pos Signal stream"
174     raise Exception("Error while opening %s StringSignal, call returned %d" % (
175         posSignal, posReturnCode))
176
177 # Orientation Signal
178 oriReturnCode, oriSignal = vrep.simxGetStringSignal(clientID, oriSignalName, vrep
179 .simx_opmode_streaming)
180 if oriReturnCode == vrep.simx_return_ok:
181     print "Ori Signal returned ok on first call, this is unexpeted"
182 elif oriReturnCode == vrep.simx_return_novalue_flag:
183     print "Ori Signal stream opened succesfully!"
184 else:
185     print "ERROR: failed to open the Ori Signal stream"
186     raise Exception("Error while opening %s StringSignal, call returned %d" % (
187         oriSignal, oriReturnCode))
188
189 prevLaserSignal = ""
190 ### End of initialization ###

```

```

185 #####
186
187
188 #####
189 ### Main Simulation Loop ###
190 while (vrep.simxGetConnectionId(clientID) != -1):
191
192
193     ### Read Sensors ###
194
195     laserReturnCode, laserSignal = vrep.simxGetStringSignal(clientID,
196         laserSignalName, vrep.simx_opmode_buffer)
197     posReturnCode, posSignal = vrep.simxGetStringSignal(clientID, posSignalName,
198         vrep.simx_opmode_buffer)
199     oriReturnCode, oriSignal = vrep.simxGetStringSignal(clientID, oriSignalName,
200         vrep.simx_opmode_buffer)
201
202     now = vrep.simxGetLastCmdTime(clientID)
203     if (now == simTime):
204         #print "Simulation has not advanced, skipping..."
205         continue
206     print "\nSIMTIME ", now
207     delta_t = (now - simTime)/100.0
208     simTime = now
209
210 #####
211 ## Process position ##
212 if posReturnCode == vrep.simx_return_ok and oriReturnCode == vrep.
213     simx_return_ok:
214         print "Pos Signal read"
215         print "Ori Signal read"
216         x, y, z = vrep.simxUnpackFloats(posSignal)
217         alpha, beta, gamma = vrep.simxUnpackFloats(oriSignal)
218         robot.update_pos(x + X_TRAS, y + Y_TRAS, gamma, delta_t)
219         #print posData
220         #print oriData
221         print "current pos: %f, %f, %f" % (x, y, gamma)
222
223         #print "Acording to robot: %f, %f, %f" % (robot.model.x_0, robot.model.
224             y_0, robot.model.cita)
225         #print "Acording to robot: %f, %f, %f" % (robot.model.x, robot.model.y,
226             robot.model.gamma)
227 elif posReturnCode == vrep.simx_return_novalue_flag or oriReturnCode == vrep.
228     simx_return_novalue_flag:
229         print "Pos Signal didn't have a value ready"
230 else:
231     print "ERROR: failed to read Pos Signal"
232
233     ##
234     ##
235     #####
236
237 #####
238 ## Process Laser Sensor ##
239 if laserReturnCode == vrep.simx_return_ok:
240     print "Laser Signal read"
241
242     if laserSignal == prevLaserSignal:
243         print "No new data in Laser Signal, skipping"
244     else:

```

```

237         prevLaserSignal = laserSignal
238         laserData = vrep.simxUnpackFloats(laserSignal)
239         if len(laserData)%3 != 0:
240             print "ERROR: unexpected number of laser data floats"
241
242         total_points = len(laserData)/3
243         laserPoints = np.float_(laserData).reshape((total_points,3))
244
245         radians = np.arctan2(laserPoints[:,1],laserPoints[:,0])
246         dist = np.sqrt(np.square(laserPoints[:,0]) + np.square(laserPoints
247            [:,1]))
248         new_data = np.vstack((dist,radians)).T
249         robot.update_readings(new_data)
250
251     elif laserReturnCode == vrep.simx_return_novalue_flag:
252         print "Laser Signal didn't have a value ready"
253     else:
254         print "ERROR: failed to read Laser Signal"
255         ##
256         #####
257
258         #####
259         ## Main control logic for VFH ##
260         if posReturnCode == vrep.simx_return_ok and \
261             oriReturnCode == vrep.simx_return_ok and \
262             laserReturnCode == vrep.simx_return_ok:
263             robot.update_target()
264
265         ## Set motor speeds
266         vrep.simxSetJointTargetVelocity(clientID, leftMotorHandle, robot.left_motor,
267             vrep.simx_opmode_oneshot)
268         vrep.simxSetJointTargetVelocity(clientID, rightMotorHandle, robot.right_motor
269             , vrep.simx_opmode_oneshot)
270         ##
271         #####
272         ## Dump data to file ##
273         if posReturnCode == vrep.simx_return_ok and oriReturnCode == vrep.
274             simx_return_ok:
275
276             if target is None:
277                 pass
278             csv_line = "{:.5f},{:.5f},{:.5f},{:.5f}\n".format(now,x,y,gamma)
279             data_dump.write(csv_line)
280             if now >= 5000:
281                 print "Robot has run for 10 seconds!"
282                 vrep.simxSetJointTargetVelocity(clientID, leftMotorHandle, 0,
283                     vrep.simx_opmode_oneshot)
284                 vrep.simxSetJointTargetVelocity(clientID, rightMotorHandle, 0,
285                     vrep.simx_opmode_oneshot)
286                 break
287             else:
288                 d = np.sqrt(np.square(target[0] - x) + np.square(target[1] - y))
289                 csv_line = "{:.5f},{:.5f},{:.5f},{:.5f},{:.5f}\n".format(now,x,y,
290                     gamma,d)
291                 data_dump.write(csv_line)
292                 if d < 0.030:

```



```

289         print "Robot has reached its target!"
290         vrep.simxSetJointTargetVelocity(clientID, leftMotorHandle, 0,
291                                         vrep.simx_opmode_oneshot)
292         vrep.simxSetJointTargetVelocity(clientID, rightMotorHandle, 0,
293                                         vrep.simx_opmode_oneshot)
294         break
295     ##
296     #####
297
298     time.sleep(0.05)
299
300     ### End of Simulation loop ###
301     #####
302     vrep.simxSetJointTargetVelocity(clientID, leftMotorHandle, 0.0, vrep.
303                                     simx_opmode_oneshot)
304     vrep.simxSetJointTargetVelocity(clientID, rightMotorHandle, 0.0, vrep.
305                                     simx_opmode_oneshot)
306     time.sleep(0.5)
307
308     vrep.simxFinish(clientID)
309
310     print "\nEnd of Simulation"
311     data_dump.close()
312
313     if robot.c_type == DR.M_VFH:
314         print "\nRobot position and orientation"
315         print robot.model.x_0, robot.model.y_0, robot.model.cita
316
317         print "\nRobot i, j, k"
318         print robot.model.i_0, robot.model.j_0, robot.model.k_0
319
320         print "\nRobot active grid"
321         print robot.model._active_grid()
322
323         print "\nRobot polar histogram"
324         print robot.model.polar_hist
325
326         print "\nRobot filtered histogram"
327         print robot.model.filt_polar_hist
328
329         print "\nValleys"
330         print robot.model.valleys
331         sys.stdout.flush()
332
333         # Figuras y graficos
334         plt.figure(1)
335         x = [vfh.ALPHA*x for x in range(len(robot.model.filt_polar_hist))]
336         i = [a for a in range(len(robot.model.filt_polar_hist))]
337         plt.bar(x, robot.model.polar_hist, 4.0, 0, color='r')
338         plt.xlabel(u"Ángulo [grados]")
339         plt.title("Histograma polar")
340
341         plt.figure(2)
342         plt.bar(x, robot.model.filt_polar_hist, 4.0, 0, color='b')
343         plt.xlabel(u"Ángulo [grados]")
344         plt.title("Histograma polar filtrado")
345
346         plt.figure(3)

```

```

344         plt.pcolor(robot.model._active_grid().T, alpha=0.75, edgecolors='k',vmin=0,
345                     vmax=20)
346         plt.xlabel("X")
347         plt.ylabel("Y", rotation='horizontal')
348         plt.title("Ventana activa")
349         plt.show()
350     if robot.c_type == DR.M_BRAIT:
351         print "BraitRob end!"
352
353     if robot.c_type == DR.M_VFHP:
354         print "\nRobot position and orientation"
355         print robot.model.x_0, robot.model.y_0, robot.model.cita
356
357         print "\nRobot i, j, k"
358         print robot.model.i_0, robot.model.j_0, robot.model.k_0
359
360         print "\nRobot active grid"
361         print robot.model._active_grid()
362
363         print "\nRobot polar histogram"
364         print robot.model.polar_hist
365
366         print "Ventana activa"
367         plt.figure(1)
368         plt.pcolor(robot.model._active_grid().T, alpha=0.75, edgecolors='k',vmin=0,
369                     vmax=20)
370         plt.xlabel("X")
371         plt.ylabel("Y", rotation='horizontal')
372         plt.title("Ventana activa")
373
374         x = [vfhp.ALPHA*x for x in range(vfhp.HIST_SIZE)]
375         print "histograma polar"
376         plt.figure(2)
377         plt.bar(x, robot.model.polar_hist, 4.0, 0, color='b')
378         plt.xlabel(u"Ángulo [grados]")
379         plt.title("Histograma polar")
380
381         print "histograma polar binario"
382         plt.figure(3)
383         plt.bar(x, robot.model.bin_polar_hist, 4.0, 0, color='b')
384         plt.xlabel(u"Ángulo [grados]")
385         plt.title("Histograma polar binario")
386
387         print "histograma polar mascarado"
388         plt.figure(4)
389         plt.bar(x, robot.model.masked_polar_hist, 4.0, 0, color='b')
390         plt.xlabel(u"Ángulo [grados]")
391         plt.title("Histograma polar mascarado")
392
393         plt.show()
394
395     return 0
396
397 if __name__ == "__main__":
398     np.set_printoptions(threshold=np.inf)
399     try:
400         runSim(len(sys.argv), sys.argv)
401     except Exception as inst:

```

```
401         print type(inst)
402         print inst.args
403         print inst
404         #print "press a key"
405         #wait()
406
407     print "End of exectution"
408     #wait()
409
410 logfile.close()
```



## Parámetros usados

Tabla B.1: Parámetros usados para el algoritmo de Braitenberg.

Nombre	Valor
radius	0.035 m
D_MIN	0.05 m
D_MAX	0.3 m
V_MIN	-0.011304 m/s
V_MAX	0.11304 m/s
W_MAX	2.2608 rad/s
alpha	0.5236 rad
smode	SMODE_FULLL
MIN_READ	40

Tabla B.2: Parámetros usados para el algoritmo VFH.

Nombre	Valor
GRID_SIZE	125
RESOLUTION	0.04 m
WINDOW_SIZE	15
WINDOW_CENTER	7
ALPHA	5°
HIST_SIZE	72
THRESH	20000.0
WIDE_V	18
V_MAX	0.11304 m/s
V_MIN	0.022608 m/s
OMEGA_MAX	2.2608 rad/s
D_max2	98
B	1
A	99

Tabla B.3: Parámetros usados para el algoritmo VFH+.

Nombre	Valor
GRID_SIZE	125
C_MAX	20
RESOLUTION	0.04 m
WINDOW_SIZE	25
WINDOW_CENTER	12
ALPHA	5°
HIST_SIZE	72
D_max2	0.4608 m <sup>2</sup>
B	10
A	5.608
R_ROB	0.02 m
D_S	0.04 m
T_LO	3000
T_HI	3500
WIDE_V	9
V_MAX	0.11304 m/s
V_MIN	0.022608 m/s
mu1	6
mu2	2
mu3	2
MAX_COST	1800





Apéndice C

## **Documentación**

---

# **Obstacle Avoidance Documentation**

***Versión 1.0***

**Daniel Diaz Molina**

**17 de noviembre de 2017**



---

## Contenidos:

---

<b>1. Módulos</b>	<b>3</b>
1.1. Py . . . . .	3
1.1.1. Braitenberg module . . . . .	3
1.1.2. DiffRobot module . . . . .	8
1.1.3. PID module . . . . .	12
1.1.4. VFH module . . . . .	12
1.1.5. VFHP module . . . . .	17
1.2. Vrep . . . . .	23
1.2.1. HokuyoRob script . . . . .	23
<b>2. Índices</b>	<b>25</b>
<b>Índice de Módulos Python</b>	<b>27</b>
<b>Índice</b>	<b>29</b>



Esta es la documentación oficial del proyecto eléctrico *Implementación y simulación de algoritmos de evasión de obstáculos y seguimiento de trayectorias para un robot autónomo terrestre*.

Se recomienda consultar las páginas de los módulos que implementan los 3 algoritmos desarrollados, ahí se incluye la información necesaria para hacer uso del código desarrollado.



El proyecto está organizado en dos partes: el código relevante a la implementación de los algoritmos de evasión y el código relevante a la simulación con V-REP.

## 1.1 Py

### 1.1.1 Braitenberg module

Este modulo define el controlador para evasión de obstáculos por medio de vehículos de Braitenberg.

---

**Nota:** Como parte del módulo se definen las siguientes constantes relevantes al modo de funcionamiento del controlador:

- *SMODE\_MIN*
  - *SMODE\_AVG*
  - *SMODE\_FULL*
- 

### Funciones de módulo

Braitenberg.**MapStimulus** (*s*, *s\_min*, *s\_max*, *r\_min*, *r\_max*)

Mapeo lineal de estímulos y respuesta. Aplica una transformación lineal del rango de entrada al rango de salida.

#### Parámetros

- **s** (*float*) – Valor del estímulo de entrada.
- **s\_min** (*float*) – Cota inferior del valor de *s*.
- **s\_max** (*float*) – Cota superior del valor de *s*.
- **r\_min** (*float*) – Cota de la respuesta para un valor de entrada mínimo.



- **r\_max** (*float*) – Cota de la respuesta para un valor de entrada máximo.

**Devuelve** Una respuesta en el rango dado por *r\_min* y *r\_max*.

**Tipo del valor devuelto** *float*

---

**Nota:** La función de mapeo no es mas que la ecuación de una recta que pasa por los puntos (*s\_min*, *r\_min*) y (*s\_max*, *r\_max*), por lo que es perfectamente aceptable que *r\_min* > *r\_max*. Esto corresponde a una respuesta con acción inversa, es decir una recta con pendiente negativa.

---

## Clase BraitModel

```
class Braitenberg.BraitModel (s_mode=0,      min_read=40,      r=0.035,      d_min=0.01,
                              d_max=0.25,  v_min=-0.3,  v_max=0.3,  w_max=0.628, alp-
                              ha=0.5235987755982988)
```

Clase para el modelo de vehículo de Braitenberg

### Parámetros

- **s\_mode** (*{SMODE\_MIN, SMODE\_AVG, SMODE\_FULL}*, *opcional*) – Modo de sensado, define la forma de obtener los estímulos a partir de las lecturas de los sensores.
- **min\_read** (*int*, *opcional*) – Mínimo número de mediciones para el modo SMODE\_FULL.
- **r** (*float*) – Radio del robot (en m).
- **d\_min** (*float*, *opcional*) – Distancia mínima de detección de obstáculos (en m).
- **d\_max** (*float*, *opcional*) – Distancia máxima de detección de obstáculos (en m).
- **v\_min** (*float*, *opcional*) – Velocidad lineal mínima del robot (en m/s).
- **v\_max** (*float*, *opcional*) – Velocidad lineal máxima del robot (en m/s).
- **w\_max** (*float*, *opcional*) – Velocidad angular máxima del robot (se asume que es la misma en ambas direcciones, dada en rad/s).
- **alpha** (*float*, *opcional*) – Rango angular de visión del robot, dado en radianes.

**x**

*float* – Posición del robot sobre el eje *x*.

**y**

*float* – Posición del robot sobre el eje *y*.

**gamma**

*float* – Orientación del robot respecto el eje *z*.

**radius**

*float* – Radio del robot.

**sensor\_l**

*float* – Estímulo de evasión del lado izquierdo.

**sensor\_r**

*float* – Estímulo de evasión del lado derecho.

**target**

*tuple* – Punto (*x*, *y*) objetivo o *None* si no se está siguiendo una trayectoria.

**s\_mode**

*{SMODE\_MIN, SMODE\_AVG, SMODE\_FULL}*, – Modo de sensado, define la forma de obtener los estímulos a partir de las lecturas de los sensores

**MIN\_READ**

*int* – Mínimo número de mediciones para el modo SMODE\_FULL.

**D\_MIN**

*float*, – Distancia mínima de detección de obstáculos.

**D\_MAX**

*float*, – Distancia máxima de detección de obstáculos.

**V\_MIN**

*float*, – Velocidad lineal mínima del robot.

**V\_MAX**

*float*, – Velocidad lineal máxima del robot.

**W\_MAX**

*float*, – Velocidad angular máxima del robot (se asume que es la misma en ambas direcciones).

**ALPHA**

*float*, – Rango angular de visión del robot, dado en radianes.

**Examples**

```
>>> import Braitenberg as Brait
>>> robot = Brait.BraitModel(s_mode=SMODE_FULL)
>>> pseudo_readings = np.float_([[0.41, np.radians(x)] for x in range(-5,90,1)])
>>> robot.UpdateSensors(pseudo_readings)
>>> robot.UpdatePos(0.0, 0.0, np.pi/2)
>>> robot.SetTarget(0.0, 0.20)
>>> v, w = robot.Mixed2b3a()
```

**Métodos**

<i>BraitModel.UpdateSensors(sensor_readings)</i>	Procesa las lecturas de los sensores para la detección de obstáculos.
<i>BraitModel.Evade2b([d_left, d_right])</i>	Obtiene la respuesta de evasión usando el algoritmo del vehículo 2b.
<i>BraitModel.Evade3a([d_left, d_right])</i>	Obtiene la respuesta de evasión usando el algoritmo del vehículo 3a.
<i>BraitModel.UpdatePos(x, y, gamma)</i>	Actualiza la postura actual del robot.
<i>BraitModel.Mixed2b3a([d_left, d_right])</i>	Obtiene la respuesta conjunta de evasión y seguimiento, usando el algoritmo 2b para evasión y el 3a para seguimiento.
<i>BraitModel.Mixed3a2b([d_left, d_right])</i>	Obtiene la respuesta conjunta de evasión y seguimiento, usando el algoritmo 3a para evasión y el 2b para seguimiento.

## Braitenberg.BraitModel.UpdateSensors

`BraitModel.UpdateSensors` (*sensor\_readings*)

Procesa las lecturas de los sensores para la detección de obstáculos.

Actualiza los valores de *sensor\_r* y *sensor\_l* a partir de las lecturas de los sensores. El comportamiento dependerá del atributo de clase *s\_mode* y el rango de visión *ALPHA*.

**Parámetros** *sensor\_readings* (*ndarray of float*) – Lecturas del sensor, un arreglo tipo `numpy.ndarray` que representa una nube de puntos  $(r, \theta)$  donde  $r$  está dado en metros y  $\theta$  en radianes. Solo se toman en cuenta puntos tal que  $\theta \in [-\alpha, \alpha]$ .

### Raises

- `TypeError` – Si *sensor\_readings* no es de tipo `numpy.ndarray`.
- `ValueError` – Si *sensor\_readings* es de dimensión (2,N).

---

**Nota:** La forma en que se procesan los datos para definir el estímulo de cada lado del robot cambia dependiendo del valor de *s\_mode*, de la siguiente manera:

***SMODE\_MIN*** El estímulo se define como el mínimo valor de distancia en el rango.

***SMODE\_AVG*** El estímulo se define como el promedio de los valores de distancia dentro del rango.

***SMODE\_FULL*** El estímulo se define como el promedio de los valores de distancia dentro del rango. Además se define un número mínimo de puntos por rango, dado por *MIN\_READ*. Si hay menos de esta cantidad, se agregan puntos con el máximo valor de distancia *D\_MAX* antes de calcular el promedio.

---

## Braitenberg.BraitModel.Evade2b

`BraitModel.Evade2b` (*d\_left=None, d\_right=None*)

Obtiene la respuesta de evasión usando el algoritmo del vehículo 2b.

La respuesta se da en forma de velocidad lineal y angular en los rangos definidos por *V\_MIN*, *V\_MAX* y *W\_MAX*.

### Parámetros

- ***d\_left*** (*float, opcional*) – Estímulo de evasión del lado izquierdo, por defecto toma el valor de *sensor\_l*.
- ***d\_right*** (*float, opcional*) – Estímulo de evasión del lado derecho, por defecto toma el valor de *sensor\_r*.

### Devuelve

- ***v\_rob*** (*float*) – Velocidad lineal de respuesta.
- ***w\_rob*** (*float*) – Velocidad angular de respuesta (rad/s).

## Braitenberg.BraitModel.Evade3a

`BraitModel.Evade3a` (*d\_left=None, d\_right=None*)

Obtiene la respuesta de evasión usando el algoritmo del vehículo 3a.

La respuesta se da en forma de velocidad lineal y angular en los rangos definidos por *V\_MIN*, *V\_MAX* y *W\_MAX*.

### Parámetros

- **d\_left** (*float*, *opcional*) – Estímulo de evasión del lado izquierdo, por defecto toma el valor de *sensor\_l*.
- **d\_right** (*float*, *opcional*) – Estímulo de evasión del lado derecho, por defecto toma el valor de *sensor\_r*.

**Devuelve**

- **v\_rob** (*float*) – Velocidad lineal de respuesta.
- **w\_rob** (*float*) – Velocidad angular de respuesta (rad/s).

**Braitenberg.BraitModel.UpdatePos**

`BraitModel.UpdatePos(x, y, gamma)`

Actualiza la postura actual del robot.

**Parámetros**

- **x** (*float*) – Posición del robot sobre el eje *x*.
- **y** (*float*) – Posición del robot sobre el eje *y*.
- **gamma** (*float*) – Orientación del robot respecto el eje *z* en radianes.

---

**Nota:** Solo es necesario usar esta función si se desea hacer seguimiento de trayectorias.

---

**Braitenberg.BraitModel.Mixed2b3a**

`BraitModel.Mixed2b3a(d_left=None, d_right=None)`

Obtiene la respuesta conjunta de evasión y seguimiento, usando el algoritmo 2b para evasión y el 3a para seguimiento.

La respuesta se da en forma de velocidad lineal y angular en los rangos definidos por *vmin*, *V\_MAX* y *W\_MAX*.

**Parámetros**

- **d\_left** (*float*, *opcional*) – Estímulo de evasión del lado izquierdo, por defecto toma el valor de *sensor\_l*.
- **d\_right** (*float*, *opcional*) – Estímulo de evasión del lado derecho, por defecto toma el valor de *sensor\_r*.

**Devuelve**

- **v\_rob** (*float*) – Velocidad lineal de respuesta.
- **w\_rob** (*float*) – Velocidad angular de respuesta (rad/s).

<p><b>Advertencia:</b> Debe haberse definido un punto objetivo antes de llamar a esta función.</p>
--

**Braitenberg.BraitModel.Mixed3a2b**

`BraitModel.Mixed3a2b(d_left=None, d_right=None)`

Obtiene la respuesta conjunta de evasión y seguimiento, usando el algoritmo 3a para evasión y el 2b para seguimiento.

La respuesta se da en forma de velocidad lineal y angular en los rangos definidos por *V\_MIN*, *V\_MAX* y *W\_MAX*.

**Parámetros**

- **d\_left** (*float*, *opcional*) – Estímulo de evasión del lado izquierdo, por defecto toma el valor de *sensor\_l*.
- **d\_right** (*float*, *opcional*) – Estímulo de evasión del lado derecho, por defecto toma el valor de *sensor\_r*.

**Devuelve**

- **v\_rob** (*float*) – Velocidad lineal de respuesta.
- **w\_rob** (*float*) – Velocidad angular de respuesta (rad/s).

**Advertencia:** Debe haberse definido un punto objetivo antes de llamar a esta función.

### 1.1.2 DiffRobot module

`DiffRobot.M_VFH = 0`  
*int* – Modo de operación con VFH.

`DiffRobot.M_BRAIT = 1`  
*int* – Modo de operación con vehículo de Braitenberg.

`DiffRobot.M_VFHP = 2`  
*int* – Modo de operación con VFH+.

**Clase DiffModel**

**class** `DiffRobot.DiffModel` (*r=0.02, b=0.05, wm\_max=6.28, c\_type=0*)  
Clase para el modelo del robot diferencial.

Define un objeto que representa el robot diferencial, y permite abstraer la cinemática (comandos para los motores) a comandos de alto nivel.

**Parámetros**

- **r** (*float*, *opcional*) – Radio de las ruedas (m).
- **b** (*float*, *opcional*) – Distancia entre las ruedas (m).
- **wm\_max** (*float*, *opcional*) – Máxima velocidad angular de los motores (rad/s).
- **c\_type** (*{M\_VFH, M\_BRAIT, M\_VFHP}*, *opcional*) – Tipo de controlador para la evasión de obstáculos.

**r**  
*float* – Radio de las ruedas (m).

**b**  
*float* – Distancia entre las ruedas (m).

**wm\_max**  
*float* – Máxima velocidad angular del motor (rad/s).

**omega\_max**  
*float* – Máxima velocidad angular del robot (velocidad de giro, en rad/s).

**v\_max**

*float* – Máxima velocidad lineal del robot (m/s).

**model**

*Controlador* – Una instancia de un controlador para evasión, se escoge a partir de `c_type`.

**v\_ref**

*float* – Valor de velocidad lineal de referencia para el movimiento del robot, definido por el controlador `model`.

**w\_ref**

*float* – Valor de velocidad angular de referencia para el movimiento del robot (rad/s). Definido por el controlador `model`.

**w\_prev**

*float* – Velocidad angular anterior (rad/s). Usado por el controlador VFH para calcular la velocidad angular actual.

**cita**

*float* – Dirección actual del robot (rad).

**cita\_prev**

*float* – Dirección anterior del robot (rad), usado por el controlador VFH para calcular la velocidad angular actual.

**cita\_ref**

*float* – Dirección de referencia para el movimiento del robot (rad). Se usa en el caso de los controladores VFH y VFH+, luego un PID determina la velocidad angular requerida `w_ref` para alcanzar esta dirección.

**left\_motor**

*float* – Velocidad angular del motor izquierdo (rad/s).

**right\_motor**

*float* – Velocidad angular del motor derecho (rad/s).

**angle\_controller**

*PID.PID* – Un controlador PID que se usa con los algoritmos VFH y VFH+ para determinar la velocidad angular de referencia `w_ref` a partir de la dirección de referencia `cita_ref`.

## Métodos

<code>DiffModel.set_initial_pos(x, y, cita)</code>	Define la postura inicial del robot.
<code>DiffModel.set_target(x, y)</code>	Indica un punto objetivo.
<code>DiffModel.unset_target()</code>	Dehabilita el seguimiento de trayectorias.
<code>DiffModel.update_pos(x, y, cita, delta_t)</code>	Actualiza la posición del robot.
<code>DiffModel.update_readings(data)</code>	Procesa las lecturas de un sensor.
<code>DiffModel.update_target()</code>	Aplica la acción de control para evasión de obstáculos.
<code>DiffModel.setMotorSpeed()</code>	Determina la velocidad de los motores.

### DiffRobot.DiffModel.set\_initial\_pos

`DiffModel.set_initial_pos(x, y, cita)`

Define la postura inicial del robot.

Indica las condiciones iniciales ( $x$ ,  $y$ ,  $\theta$ ) del robot.

#### Parámetros

- **x** (*float*) – Posición absoluta del robot sobre el eje *x* en metros.
- **y** (*float*) – Posición absoluta del robot sobre el eje *y* en metros.
- **cita** (*float*) – Orientación del robot respecto el eje *z* en radianes.

### Notes

Modifica el estado interno del controlador *model*.

### DiffRobot.DiffModel.set\_target

`DiffModel.set_target(x, y)`

Indica un punto objetivo.

Habilita el seguimiento de trayectorias e indica al robot el punto al cual debe dirigirse.

#### Parámetros

- **x** (*float*) – Posición absoluta del objetivo sobre el eje *x*.
- **y** (*float*) – Posición absoluta del objetivo sobre el eje *y*.

### Notes

Modifica el estado interno del controlador *model*.

### DiffRobot.DiffModel.unset\_target

`DiffModel.unset_target()`

Dehabilita el seguimiento de trayectorias.

### Notes

Modifica el estado interno del controlador *model*.

### DiffRobot.DiffModel.update\_pos

`DiffModel.update_pos(x, y, cita, delta_t)`

Actualiza la posición del robot.

#### Parámetros

- **x** (*float*) – Posición absoluta del robot sobre el eje *x*.
- **y** (*float*) – Posición absoluta del robot sobre el eje *y*.
- **cita** (*float*) – Orientación del robot respecto el eje *z* en radianes.
- **delta\_t** (*float*) – El tiempo transcurrido desde la última actualización.

## Notes

Modifica el estado interno del controlador `model`, además del atributo `cita`. En el caso de VFH y VFH+ realiza un paso de integración del PID.

### DiffRobot.DiffModel.update\_readings

`DiffModel.update_readings(data)`

Procesa las lecturas de un sensor.

Actualiza el estado del controlador `model` con las lecturas de un sensor de distancia.

**Parámetros** `data` (`ndarray`) – Una estructura de datos tipo `numpy.ndarray` que contiene las lecturas de un sensor de distancias. Debe ser un arreglo de dimensiones  $(n \times 2)$  para  $n$  puntos o lecturas, donde cada par representa una coordenada polar  $(r, \theta)$  respecto al marco de referencia del robot, dada en metros y radianes.

### DiffRobot.DiffModel.update\_target

`DiffModel.update_target()`

Aplica la acción de control para evasión de obstáculos.

Actualiza el estado interno de `model` para obtener la acción de control  $(v_{ref}, w_{ref})$ . Luego, la convierte en acciones individuales sobre cada motor mediante el método `setMotorSpeed()`.

## Notes

Modifica los siguientes atributos de clase:

- `v_ref`
- `cita_ref`
- `w_ref`
- `left_motor`
- `right_motor`

### DiffRobot.DiffModel.setMotorSpeed

`DiffModel.setMotorSpeed()`

Determina la velocidad de los motores.

Determina la velocidad individual que debe tener cada motor (en rad/s), según el modelo cinemático inverso, para que el robot alcance la velocidad lineal y angular de referencia `v_ref` y `w_ref`.

## Notes

Modifica los siguientes atributos de clase:

- `left_motor`
- `right_motor`



### 1.1.3 PID module

```
class PID.PID(Kp, Ti, Td, MAX, MIN)
```

```
    begin (entrada)
```

```
    setInput (inp)
```

```
    setRef (ref)
```

```
    timestep (delta_t)
```

```
PID.angleDiff (a1, a2)
```

### 1.1.4 VFH module

Este módulo define el controlador para evasión mediante el algoritmo VFH, y constantes asociadas.

```
VFH.GRID_SIZE = 125
```

*int* – Tamaño de la cuadrícula de certeza.

```
VFH.RESOLUTION = 0.040000000000000001
```

*float* – Resolución de cada celda (en m).

```
VFH.WINDOW_SIZE = 15
```

*int* – Tamaño de la ventana activa.

**Advertencia:** La ventana activa debe tener un número impar de celdas.

```
VFH.WINDOW_CENTER = 7
```

*int* – Índice de la celda central en la ventana activa.

Se define automáticamente a partir de WINDOW\_SIZE.

```
VFH.ALPHA = 5
```

*int* – Tamaño de cada sector del histograma polar (en grados).

**Advertencia:** ALPHA debe ser un divisor de 360.

```
VFH.HIST_SIZE = 72
```

*int* – Cantidad de sectores en el histograma polar. Se define automáticamente a partir de ALPHA.

```
VFH.THRESH = 20000.0
```

*float* – Valor de umbral para valles y picos.

```
VFH.WIDE_V = 18
```

*int* – Tamaño límite de un valle ancho y angosto.

```
VFH.V_MAX = 0.0628
```

*float* – Velocidad máxima del robot (m/s).

```
VFH.V_MIN = 0.00628
```

*float* – Velocidad mínima del robot (m/s).

```
VFH.OMEGA_MAX = 1.256
```

*float* – Velocidad angular máxima del robot (rad/s)

**VFH.B = 1.0**

*float* – Constante  $b$  de la ecuación de la magnitud del vector de obstáculos.

**VFH.A = 99.0**

*float* – Constante  $a$  de la ecuación de la magnitud del vector de obstáculos. Se define a partir de  $B$  de modo que se cumpla  $a - b \cdot d_{max}^2 = 1$ .

## Clase VFHModel

**class VFH.VFHModel**

Clase que define el controlador para evasión mediante el algoritmo VFH.

**obstacle\_grid**

*ndarray of short* – La cuadrícula de certeza. Cada celda tiene un valor entre 0 y 20 que indica que tan probable es que haya un obstáculo ocupando la celda.

**active\_window**

*ndarray of float* – La ventana activa que se mueve con el robot. Cada celda contiene tres valores: la magnitud del vector de obstáculos  $m_{i,j}$ , la dirección del vector  $\beta_{i,j}$ , y la distancia al robot  $d_{i,j}$ .

**polar\_hist**

*ndarray of float* – El histograma polar. Indica la densidad de obstáculos en cada sector alrededor de la vecindad del robot.

**filt\_polar\_hist**

*ndarray of float* – El histograma polar filtrado. Se construye a aplicando un filtro al histograma polar.

**valleys**

*list of tuples* – Contiene una lista de los valles en el histograma polar. Cada valle es un par  $(s_1, s_2)$ , donde  $s_1$  es el sector donde inicia y  $s_2$  donde termina, en sentido antihorario.

**x\_0**

*float* – Posición del robot sobre el eje  $x$ .

**y\_0**

*float* – Posición del robot sobre el eje  $y$ .

**cita**

*float* – Orientación del robot respecto el eje  $z$ .

**i\_0**

*float* – Índice de la celda que ocupa el robot sobre la cuadrícula de certeza en el eje  $x$ .

**j\_0**

*float* – Índice de la celda que ocupa el robot sobre la cuadrícula de certeza en el eje  $y$ .

**k\_0**

*float* – Sector en el histograma polar de la dirección del robot respecto el eje  $z$ .

**target**

*tuple* – Punto  $(x, y)$  objetivo o `None` si no se está siguiendo una trayectoria.

## Examples

```
>>> import VFH
>>> robot = VFH.VFHModel()
>>> robot.update_position(1.5, 1.5, 270.0)
>>> pseudo_readings = np.float_([[0.3, np.radians(x)] for x in range(0, 90, 1)])
>>> robot.update_obstacle_density(pseudo_readings)
```

```
>>> robot.update_active_window()
>>> robot.update_polar_histogram()
>>> robot.update_filtered_polar_histogram()
>>> robot.find_valleys()
>>> try:
>>>     cita = robot.calculate_steering_dir()
>>> except:
>>>     pass
>>> v = robot.calculate_speed(3.14/180)
```

## Métodos

<code>VFHModel.update_position(x, y, cita)</code>	Actualiza la posición del robot.
<code>VFHModel.set_target([x, y])</code>	Define el punto objetivo o deshabilita el seguimiento de trayectorias.
<code>VFHModel.update_obstacle_density(sensor_reading)</code>	Actualiza la cuadrícula de certeza a partir de las lecturas de un sensor.
<code>VFHModel.update_active_window()</code>	Calcula la magnitud de los vectores de obstáculo para las celdas de la ventana activa.
<code>VFHModel.update_polar_histogram()</code>	Actualiza el histograma polar de obstáculos.
<code>VFHModel.update_filtered_polar_histogram()</code>	Calcula el histograma polar filtrado a partir de el histograma polar.
<code>VFHModel.find_valleys()</code>	Analiza el histograma polar filtrado y determina los valles candidatos.
<code>VFHModel.calculate_steering_dir()</code>	Calcula la dirección de movimiento para la evasión.
<code>VFHModel.calculate_speed([omega])</code>	Calcula la velocidad del robot.

## VFH.VFHModel.update\_position

`VFHModel.update_position(x, y, cita)`

Actualiza la posición del robot.

### Parámetros

- **x** (*float*) – Posición absoluta del robot sobre el eje *x*.
- **y** (*float*) – Posición absoluta del robot sobre el eje *y*.
- **cita** (*float*) – Orientación del robot respecto el eje *z* en grados.

## Notes

Modifica los siguientes atributos de clase:

- `x_0`
- `y_0`
- `cita`
- `i_0`
- `j_0`
- `k_0`

**VFH.VFHModel.set\_target**

`VFHModel.set_target` ( $x=None$ ,  $y=None$ )

Define el punto objetivo o deshabilita el seguimiento de trayectorias.

Define un punto objetivo ( $x, y$ ) para la evasión con seguimiento de trayectorias, o deshabilita el seguimiento si el método es invocado sin parámetros.

**Parámetros**

- **x** (*float*, *opcional*) – Posición absoluta del robot sobre el eje  $x$ .
- **y** (*float*, *opcional*) – Posición absoluta del robot sobre el eje  $y$ .

**Devuelve** Retorna 1 si se estableció un punto objetivo o 0 si inhabilitó el seguimiento.

**Tipo del valor devuelto** `int`

**Raises** `ValueError` – Si el objetivo dado se sale de la cuadrícula de certeza.

**Notes**

Modifica los siguientes atributos de clase:

- `target`

**VFH.VFHModel.update\_obstacle\_density**

`VFHModel.update_obstacle_density` (*sensor\_readings*)

Actualiza la cuadrícula de certeza a partir de las lecturas de un sensor.

Para cada lectura aumenta el valor de una única celda en 1, hasta un máximo de 20.

**Parámetros** **sensor\_readings** (*ndarray*) – Una estructura de datos tipo `numpy.ndarray` que contiene las lecturas de un sensor de distancias. Debe ser un arreglo de dimensiones  $(n \times 2)$  para  $n$  puntos o lecturas, donde cada par representa una coordenada polar  $(r, \theta)$  respecto al marco de referencia del robot.

**Raises**

- `TypeError` – Si `sensor_readings` no es de tipo `numpy.ndarray`.
- `ValueError` – Si `sensor_readings` no tiene las dimensiones correctas.

**Notes**

Las coordenadas deben ser dadas en metros y radianes.

Modifica los siguientes atributos de clase:

- `obstacle_grid`

**VFH.VFHModel.update\_active\_window**

`VFHModel.update_active_window` ()

Calcula la magnitud de los vectores de obstáculo para las celdas de la ventana activa.

El cálculo se hace a partir de los datos guardados en la *cuadrícula de certeza*.

### Notes

Modifica los siguientes atributos de clase:

- *active\_window*

### VFH.VFHModel.update\_polar\_histogram

`VFHModel.update_polar_histogram()`

Actualiza el histograma polar de obstáculos.

El cálculo se hace a partir de los vectores de obstáculo guardados en la *ventana activa*.

### Notes

Modifica los siguientes atributos de clase:

- *polar\_hist*

### VFH.VFHModel.update\_filtered\_polar\_histogram

`VFHModel.update_filtered_polar_histogram()`

Calcula el histograma polar filtrado a partir de el *histograma polar*.

### Notes

Modifica los siguientes atributos de clase:

- *filt\_polar\_hist*

### VFH.VFHModel.find\_valleys

`VFHModel.find_valleys()`

Analiza el histograma polar filtrado y determina los valles candidatos.

Los valles se obtienen a partir del *histograma polar filtrado* y el *valor de umbral*.

#### Devuelve

- -1 si no se encuentra ningún sector con un valor mayor a *THRESH* en el histograma filtrado.
- 0 de lo contrario.

**Tipo del valor devuelto** int

### VFH.VFHModel.calculate\_steering\_dir

`VFHModel.calculate_steering_dir()`

Calcula la dirección de movimiento para la evasión.

El cálculo de la dirección para el robot se hace a partir de los valles candidato, la orientación actual y el objetivo. Si no hay objetivo, se toma la dirección actual de movimiento como objetivo.

**Devuelve** `new_dir` – La dirección del movimiento, dada en grados en el rango  $[0, 360[$ .

**Tipo del valor devuelto** `float`

**Raises** `Exception` – Si `valleys` está vacío.

### VFH.VFHModel.calculate\_speed

`VFHModel.calculate_speed(omega=0)`

Calcula la velocidad del robot.

Calcula la velocidad a partir de la densidad de obstáculos en la dirección actual del movimiento. El robot se mueve más despacio entre mayor sea la densidad.

Opcionalmente recibe la velocidad angular del robot como parámetro. En este caso, se hace una reducción adicional de la velocidad dependiendo del valor de `omega` en comparación a `OMEGA_MAX`.

**Parámetros** `omega(float, opcional)` – Velocidad angular del robot (rad/s).

**Devuelve** `V` – Velocidad lineal deseada del robot (m/s).

**Tipo del valor devuelto** `float`

## 1.1.5 VFHP module

Este módulo define el controlador para evasión mediante el algoritmo VFH+, y constantes asociadas.

`VFHP.GRID_SIZE = 125`

`int` – Tamaño de la cuadrícula de certeza.

`VFHP.C_MAX = 20`

`int` – Valor máximo de certeza.

`VFHP.RESOLUTION = 0.040000000000000001`

`float` – Resolución de cada celda (en m).

`VFHP.WINDOW_SIZE = 25`

`int` – Tamaño de la ventana activa.

**Advertencia:** La ventana activa debe tener un número impar de celdas.

`VFHP.WINDOW_CENTER = 12`

`int` – Índice de la celda central en la ventana activa.

Se define automáticamente a partir de `WINDOW_SIZE`.

`VFHP.ALPHA = 5`

`int` – Tamaño de cada sector del histograma polar (en grados).

**Advertencia:** `ALPHA` debe ser un divisor de 360.

`VFHP.HIST_SIZE = 72`

`int` – Cantidad de sectores en el histograma polar. Se define automáticamente a partir de `ALPHA`.

`VFHP.B = 10.0`

`float` – Constante  $b$  de la ecuación de la magnitud del vector de obstáculos.

VFHP.**A** = 5.6079999999999997

*float* – Constante  $a$  de la ecuación de la magnitud del vector de obstáculos. Se define a partir de  $B$  de modo que se cumpla  $a - b \cdot d_{max}^2 = 1$ .

VFHP.**R\_ROB** = 0.02

*float* – Radio del robot (en m).

VFHP.**T\_LO** = 3000.0

*float* – Valor de umbral inferior para valles en el histograma polar.

VFHP.**T\_HI** = 3500.0

*float* – Valor de umbral superior para valles en el histograma polar.

VFHP.**WIDE\_V** = 9

*int* – Tamaño mínimo de valle ancho.

VFHP.**V\_MAX** = 0.0628

*float* – Velocidad máxima del robot.

VFHP.**V\_MIN** = 0.0

*float* – Velocidad mínima del robot.

VFHP.**mu1** = 6.0

*float* – Peso del costo de seguimiento.

VFHP.**mu2** = 2.0

*float* – Peso del costo de cambios abruptos de dirección.

VFHP.**mu3** = 2.0

*float* – Peso del costo de compromiso a una dirección.

VFHP.**MAX\_COST** = 1800.0

*float* – Máximo valor de la función de costo.

## Clase VFHPModel

**class** VFHP.VFHPModel

Clase que define el controlador para evasión mediante el algoritmo VFH+.

**obstacle\_grid**

*ndarray of short* – La cuadrícula de certeza. Cada celda tiene un valor entre 0 y `C_MAX` que indica que tan probable es que haya un obstáculo ocupando la celda.

**active\_window**

*ndarray of float* – La ventana activa que se mueve con el robot. Cada celda contiene cuatro valores: la magnitud del vector de obstaculos  $m_{i,j}$ , la dirección del vector  $\beta_{i,j}$ , la distancia al robot  $d_{i,j}$  y el ángulo de ensanchamiento  $\gamma_{i,j}$ .

**polar\_hist**

*ndarray of float* – El histograma polar. Indica la densidad de obstáculos en cada sector alrededor de la vecindad del robot.

**bin\_polar\_hist**

*ndarray of bool* – El histograma polar binario. Se construye a partir del histograma polar. Un valor `True` indica un sector bloqueado.

**masked\_polar\_hist**

*ndarray of bool* – El histograma polar mascarado. Se contruye a partir del histograma polar binario y los radios de giro instantáneos. Un valor `True` indica un sector bloqueado.

**valleys**

*list of 2-tuples* – Contiene una lista de los valles en el histograma polar. Cada es un par  $(s_1, s_2)$ , donde  $s_1$  es el sector donde inicia y  $s_2$  donde termina, en sentido antihorario.

**x\_0**

*float* – Posición del robot sobre el eje  $x$ .

**y\_0**

*float* – Posición del robot sobre el eje  $y$ .

**cita**

*float* – Orientación del robot respecto el eje  $z$ .

**i\_0**

*float* – Índice de la celda que ocupa el robot sobre la cuadrícula de certeza en el eje  $x$ .

**j\_0**

*float* – Índice de la celda que ocupa el robot sobre la cuadrícula de certeza en el eje  $y$ .

**k\_0**

*float* – Sector en el histograma polar de la dirección del robot respecto el eje  $z$ .

**target**

*tuple* – Punto  $(x, y)$  objetivo o `None` si no se está siguiendo una trayectoria.

**prev\_dir**

*float* – Última dirección de control.

**prev\_cost**

*cost* – Costo de la última dirección de control.

**Examples**

```
>>> import VFHP
>>> pseudo_readings = np.float_([[0.3, np.radians(x)] for x in range(0, 90, 1)])
>>> R_ROB = 0.01
>>> robot = VFHP.VFHPModel()
>>> robot.update_position(1.5, 1.5, 270.0)
>>> robot.update_obstacle_density(pseudo_readings)
>>> robot.update_active_window()
>>> robot.update_polar_histogram()
>>> robot.update_bin_polar_histogram()
>>> robot.update_masked_polar_hist(R_ROB, R_ROB)
>>> valles = robot.find_valleys()
>>> cita, v = robot.calculate_steering_dir(valles)
```

**Métodos**

<code>VFHPModel.update_position(x, y, cita)</code>	Actualiza la posición del robot.
<code>VFHPModel.set_target([x, y])</code>	Define el punto objetivo o deshabilita el seguimiento de trayectorias.
<code>VFHPModel.update_obstacle_density(...)</code>	Actualiza la cuadrícula de certeza a partir de las lecturas de un sensor.
<code>VFHPModel.update_active_window()</code>	Calcula la magnitud de los vectores de obstáculo para las celdas de la ventana activa.

Continúa en la página siguiente



Tabla 1.4 – proviene de la página anterior

<code>VFHPModel.update_polar_histogram()</code>	Actualiza el histograma polar de obstáculos.
<code>VFHPModel.update_bin_polar_histogram()</code>	Calcula el histograma polar binario.
<code>VFHPModel.update_masked_polar_hist(steer_l, ...)</code>	Calcula el histograma polar mascarado.
<code>VFHPModel.find_valleys()</code>	Analiza el histograma polar mascarado y determina los valles candidatos.
<code>VFHPModel.calculate_steering_dir(valley_count)</code>	Calcula la dirección de movimiento para la evasión y la rapidez del robot.

## VFHP.VFHPModel.update\_position

`VFHPModel.update_position(x, y, cita)`

Actualiza la posición del robot.

### Parámetros

- **x** (*float*) – Posición absoluta del robot sobre el eje *x*.
- **y** (*float*) – Posición absoluta del robot sobre el eje *y*.
- **cita** (*float*) – Orientación del robot respecto el eje *z* en grados.

### Notes

Modifica los siguientes atributos de clase:

- `x_0`
- `y_0`
- `cita`
- `i_0`
- `j_0`
- `k_0`

## VFHP.VFHPModel.set\_target

`VFHPModel.set_target(x=None, y=None)`

Define el punto objetivo o deshabilita el seguimiento de trayectorias.

Define un punto objetivo (*x, y*) para la evasión con seguimiento de trayectorias, o deshabilita el seguimiento si el método es invocado sin parámetros.

### Parámetros

- **x** (*float, opcional*) – Posición absoluta del objetivo sobre el eje *x*.
- **y** (*float, opcional*) – Posición absoluta del objetivo sobre el eje *y*.

**Devuelve** Retorna 1 si se estableció un punto objetivo o 0 si inhabilitó el seguimiento.

**Tipo del valor devuelto** `int`

**Raises** `ValueError` – Si el objetivo dado se sale de la cuadrícula de certeza.

## Notes

Modifica los siguientes atributos de clase:

- `target`

### VFHP.VFHPModel.update\_obstacle\_density

`VFHPModel.update_obstacle_density(sensor_readings)`

Actualiza la cuadrícula de certeza a partir de las lecturas de un sensor.

Para cada lectura aumenta el valor de una única celda en 1, hasta un máximo de `C_MAX`.

**Parámetros** `sensor_readings` (`ndarray`) – Una estructura de datos tipo `numpy.ndarray` que contiene las lecturas de un sensor de distancias. Debe ser un arreglo de dimensiones  $(n \times 2)$  para  $n$  puntos o lecturas, donde cada par representa una coordenada polar  $(r, \theta)$  respecto al marco de referencia del robot.

#### Raises

- `TypeError` – Si `sensor_readings` no es de tipo `numpy.ndarray`.
- `ValueError` – Si `sensor_readings` no tiene las dimensiones correctas.

## Notes

Las coordenadas deben ser dadas en metros y radianes.

Modifica los siguientes atributos de clase:

- `obstacle_grid`

### VFHP.VFHPModel.update\_active\_window

`VFHPModel.update_active_window()`

Calcula la magnitud de los vectores de obstáculo para las celdas de la ventana activa.

El cálculo se hace a partir de los datos guardados en la *cuadrícula de certeza*.

## Notes

Modifica los siguientes atributos de clase:

- `active_window`

### VFHP.VFHPModel.update\_polar\_histogram

`VFHPModel.update_polar_histogram()`

Actualiza el histograma polar de obstáculos.

El cálculo se hace a partir de los vectores de obstáculo guardados en la *ventana activa*. Cada celda puede afectar más de un sector angular, esto se determina mediante el radio de compensación `R_RS`.

## Notes

Modifica los siguientes atributos de clase:

- `polar_hist`

### VFHP.VFHPModel.update\_bin\_polar\_histogram

`VFHPModel.update_bin_polar_histogram()`

Calcula el histograma polar binario.

El cálculo se hace a partir del *histograma polar* y los valores de umbral *T\_HI* y *T\_LO*. Cada sector se indica como bloqueado (True) o libre (False).

Modifica los siguientes atributos de clase:

- `bin_polar_hist`

### VFHP.VFHPModel.update\_masked\_polar\_hist

`VFHPModel.update_masked_polar_hist(steer_l, steer_r)`

Calcula el histograma polar mascarado.

El cálculo se hace a partir del *histograma polar binario* y el radio de giro mínimo en el momento del cálculo. Las celdas ocupadas de la ventana activa bloquean sectores adicionales dependiendo de la dirección actual del robot y su capacidad de giro.

#### Parámetros

- `steer_l(float)` – Radio de giro mínimo del robot hacia la izquierda.
- `steer_r(float)` – Radio de giro mínimo del robot hacia la derecha.

## Notes

Modifica los siguientes atributos de clase:

- `masked_polar_hist`

### VFHP.VFHPModel.find\_valleys

`VFHPModel.find_valleys()`

Analiza el histograma polar mascarado y determina los valles candidatos.

Los valles se obtienen a partir del *histograma polar mascarado*.

#### Devuelve

- -1 si no se encuentra ningún sector bloqueado en el histograma polar mascarado.
- De lo contrario, el número de valles encontrados.

Tipo del valor devuelto `int`

## VFHP.VFHPModel.calculate\_steering\_dir

VFHPModel.**calculate\_steering\_dir** (*valley\_count*)

Calcula la dirección de movimiento para la evasión y la rapidez del robot.

El cálculo de la dirección para el robot se hace a partir de los valles candidato, la orientación actual y el objetivo. Si no hay objetivo, se toma la dirección actual de movimiento como objetivo. Se usa una función de costo para seleccionar la dirección de entre todas las candidatas. La rapidez se calcula del costo de la dirección seleccionada, a mayor costo más lento se moverá el robot.

**Parámetros** **valley\_count** (*int*) – El resultado del llamado a *find\_valleys()*.

**Devuelve**

- **new\_dir** (*float*) – La dirección del movimiento, dada en grados en el rango  $[0, 360[$ .
- **V** (*float*) – La velocidad del robot.

**Raises** *Exception* – Si *valley\_count* es cero (todas las direcciones están bloqueadas).

### Notes

Los valles angostos definen una única dirección candidata, el medio del valle. Los anchos pueden definir hasta tres: los bordes del valle y la dirección del objetivo si esta se encuentra dentro del valle.

## 1.2 Vrep

### 1.2.1 HokuyoRob script

Este script permite el enlace entre V-REP y los modelos desarrollados en el proyecto. Hace uso de la API de V-REP para Python, y crea un instancia de *DiffRobot.DiffModel* para controlar el robot diferencial, a partir de los datos suministrados por el simulador.